

الله
لله
لله



دانشکده: معدن، نفت و ژئوفیزیک

گروه: مهندسی نفت - حفاری و بهره‌برداری از منابع نفتی

عنوان پایان نامه ارشد

تخمین پارامتر TOC از داده‌های نمودار بهوسیله شبکه عصبی ویولت، مطالعه

موردی لایه شیل گازی کوکاتیا حوزه رسوبی پرت استرالیای غربی

جلال نصیری

اساتید راهنمای:

دکتر بهزاد تخم‌چی

دکتر محمدرضا رضایی

پایان نامه ارشد جهت اخذ درجه کارشناسی ارشد

ماه و سال انتشار:

۱۳۹۲ شهریور

دانشگاه صنعتی شهرود

دانشکده: معدن، نفت و ژئوفیزیک

گروه: مهندسی نفت - حفاری و بهره‌برداری از منابع نفتی

پایان نامه کارشناسی ارشد آقای جلال نصیری

تحت عنوان:

تخمین پارامتر TOC از نمودار با استفاده از شبکه عصبی ویولت، مطالعه موردی لایه شیل گازی کوکاتیا حوزه

رسوبی پرت استرالیای غربی

..... در تاریخ ۹۲/۰۶/۱۷ توسط کمیته تخصصی زیر جهت اخذ مدرک کارشناسی ارشد مورد ارزیابی و با درجه
مورد پذیرش قرار گرفت.

| امضاء | اساتید مشاور | امضاء | اساتید راهنما |
|-------|--------------|-------|---------------------|
| | | | دکتر بهزاد تخمچی |
| | | | دکتر محمد رضا رضایی |

| امضاء | نماینده تحصیلات تکمیلی | امضاء | اساتید داور |
|-------|------------------------|-------|---------------------|
| | دکتر سوسن ابراهیمی | | دکتر رضا قوامی |
| | | | دکتر علیرضا احمدیفر |

تشکر و قدردانی

سپاس خدای را که سخنوران، در ستودن او بمانند و شمارندگان، شمردن نعمتهاي او ندانند و
کوشندگان، حق او را گزاردن نتوانند.

بدون شک جايگاه و منزلت معلم، اجي ار آن است که در مقام قدردانی از زحمات بيشائبهي او، با
زبان فاصل و دست ناتوان، چيزى بنگاريم.

اما از آنجايي که تجليل از معلم، سپاس از انساني است که هدف و غایت آفرينش را تامين ميکند و
سلامت امانتهاي را که به دستش سپردهاند، تضمين؛ بر حسب وظيفه و از باب " من لم يشك
المنع من المخلوقين لم يشك الله عز و جل " :

از استاد با کمالات و شايسته؛ جناب آقای دکتر بهزاد تخمچی که در کمال سعه صدر، با حسن خلق
و فروتنی، از هيج کمکی در اين عرصه بر من دريغ ننمودند و زحمت راهنمایي اين رساله را بر عهده
گرفتند؛

از استاد فرزانه و دلسوز، جناب آقای دکتر رضائي، که در بخش دادههای اين رساله را در حالی متقبل
شدند که بدون مساعدت ايشان، اين پروژه به نتيجه مطلوب نمی رسيد؛
از پدر و مادر عزيزم ، اين دو معلم بزرگوارم ، که همواره بر کوتاهي و درشتی من، قلم عفو کشide و
كريمانه از کنار غفلت هایم گذشتهاند و در تمام عرصههای زندگی يار و ياوري بيچشم داشت برای
من بودهاند؛ کمال تشکر و قدردانی را دارم.

تقدیم به

همسر مهربانم



دانشکده: معدن، نفت و ژئوفیزیک

پایان نامه کارشناسی ارشد

عنوان پایان نامه ارشد

تخمین پارامتر TOC از داده‌های نمودار بهوسیله شبکه عصبی ویولت، مطالعه

موردی لایه شیل گازی کوکاتیا حوزه رسوبی پرت استرالیای غربی

جلال نصیری

اساتید راهنما:

دکتر بهزاد تخم چی

دکتر محمدرضا رضایی

ماه و سال انتشار:

شهریور ۱۳۹۲

تعهد نامه

اینجانب جلال نصیری دانشجوی دوره کارشناسی ارشد رشته مهندسی نفت گرایش حفاری و بهره‌برداری از منابع نفتی دانشکده

مهندسی معدن، نفت و ژئوفیزیک دانشگاه صنعتی شاهرود نویسنده پایان نامه تخمین پارامتر TOC از داده‌های نمودار به-

وسیله شبکه عصبی ویولت، مطالعه موردی لایه شیل گازی کوکاتیا حوزه رسوبی پرت استرالیای غربی تحت راهنمائی

دکتر بهزاد تخمچی و دکتر محمدرضا رضایی متعدد می‌شوم.

تحقیقات در این پایان نامه توسط اینجانب انجام شده است و از صحبت و اصالت برخوردار است. •

در استفاده از نتایج پژوهش‌های محققان دیگر به مرجع مورد استفاده استناد شده است. •

مطلوب مندرج در پایان نامه تاکنون توسط خود یا فرد دیگری برای دریافت هیچ نوع مدرک یا امتیازی در هیچ جا ارائه نشده است. •

کلیه حقوق معنوی این اثر متعلق به دانشگاه صنعتی شاهرود می‌باشد و مقالات مستخرج با نام «دانشگاه صنعتی شاهرود» و یا «Shahrood University of Technology» به چاپ خواهد رسید. •

حقوق معنوی تمام افرادی که در به دست آمدن نتایج اصلی پایان نامه تأثیرگذار بوده اند در مقالات مستخرج از پایان نامه رعایت می‌گردد. •

در کلیه مراحل انجام این پایان نامه، در مواردی که از موجود زنده (یا بافت‌های آنها) استفاده شده است ضوابط و اصول اخلاقی رعایت شده است. •

در کلیه مراحل انجام این پایان نامه، در مواردی که به حوزه اطلاعات شخصی افراد دسترسی یافته یا استفاده شده است اصل رازداری، ضوابط و اصول اخلاق انسانی رعایت شده است. •

تاریخ

امضای دانشجو

مالکیت نتایج و حق نشر

کلیه حقوق معنوی این اثر و محصولات آن (مقالات مستخرج، کتاب، برنامه‌های رایانه‌ای، نرم افزارها و تجهیزات ساخته شده است) متعلق به دانشگاه صنعتی شاهرود می‌باشد. این مطلب باید به نحو مقتضی در تولیدات علمی مربوطه ذکر شود. •

استفاده از اطلاعات و نتایج موجود در پایان نامه بدون ذکر مرجع مجاز نمی‌باشد. •

چکیده:

شیلهای گازی جزء مخازن غیر متعارف میباشد که دارای پراکندگی وسیعی در سطح جهان هستند. تمایل به بهره‌برداری از این مخازن به علت افزایش قیمت هیدروکربورها و همچنین کاهش روند اکتشافات مخازن متعارف در بسیاری از کشورها افزایش یافته است. با توجه به گستردگی این مخازن، ارزیابی پتانسیل تولید جهت یافتن مکانهای مستعدتر از لحاظ اقتصادی ضروری میباشد. در این پایاننامه تلاش گردیده است، مدلی جهت تخمین میزان کل محتویات کربن آلی با توجه به اهمیتی که این پارامتر در ارزیابی پتانسیل تولید مخازن شیلگاز دارد، ارائه گردد. بدین منظور از دو روش برای تخمین TOC در شش چاه لایه شیلی کوکاتیا واقع در حوزه رسوبی پرت استرالیای غربی استفاده گردیده است.

الف. شبکه‌عصبی مفهومی چند لایه

ب. شبکه عصبی ویولت (ترکیب شبکه عصبی چندلایه و تئوری ویولت) در انتهای با استفاده از خروجی مدل تخمینگر شبکه عصبی ویولت گوسین در شش چاه مورد مطالعه، ضمن بررسی روش‌های حد-آستانهای^۱ در شیلگازها جهت تعیین نواحی با پتانسیل تولید بیشتر، نواحی مستعدتر از لحاظ تولید تعیین گردیده است.

کلمات کلیدی: شیلگازها ، میزان کل محتویات کربن آلی، شبکه عصبی، ویولت، پتانسیل تولید

¹ Cut-off Method

لیست مقالات مستخرج از پایان نامه

۱- طراحی ماشین مدلسازی در زیر فضاهای هموزن بهمنظور تخمین TOC

(کنفرانس معدن- دانشگاه تهران مهرماه ۱۳۹۱)

۲- تعیین بهترین ناحیه بهره‌ده شیلهای گازی و محدوده‌های مستعد شکست هیدرولیکی با

استفاده از مدل تخمینگر TOC (کنفرانس بینالمللی معدن- دانشگاه زنجان- شهریور

(۹۲

فهرست مطالب

| | |
|----|---|
| ۱ | فصل اول: کلیات |
| ۲ | ۱-۱ میزان کل محتویت کربن آلی |
| ۵ | ۲-۱ تلاش‌های انجام شده برای تخمین TOC |
| ۸ | ۳-۱ شکل‌های گازی |
| ۱۰ | ۴-۱ موضوع پاکن نامه |
| ۱۱ | ۵-۱ ساختار پاکن نامه |
| ۱۲ | فصل دوم: محدوده مورد مطالعه و داده‌های در دسترس |
| ۱۳ | ۱-۲ موقعیت جغرافیایی |
| ۱۳ | ۲-۲ تاریخ اکتشافات |
| ۱۶ | ۳-۲ سازندهای دارای ذخایه کربوری در حوزه رسوبی پرت |
| ۱۷ | ۱-۳-۲ سازند اروق ریور کول میثراز |
| ۱۸ | ۲-۳-۲ سازند کارچینی |
| ۲۰ | ۳-۳-۲ سازندهای واجنه، دانگارا و بیکعبیر |
| ۲۰ | ۴-۳-۲ کوکانی شکل |
| ۲۱ | ۵-۳-۲ کاتامارا کول مژرز |
| ۲۳ | ۴-۲ موقعیت چاه‌های مورد بررسی |
| ۲۳ | ۵-۲ معرفی داده‌ها |
| ۲۶ | فصل سوم: روش شناسی تحقیق |

| | |
|---------|---|
| ۲۷..... | ۱-۳ تبدیل ویلت |
| ۲۸..... | ۱-۱-۳ مفاهیم اساسی |
| ۲۹..... | ۲-۱-۳ تبدیل فوری |
| ۳۱..... | ۳-۱-۳ تبدیل فوری زمان کوتاه |
| ۳۳..... | ۴-۱-۳ اصل عدم قطعیت هائینبرگ |
| ۳۳..... | ۵-۱-۳ شرایط تبدیل ویلت |
| ۳۴..... | ۶-۱-۳ آنالوگ ویلت |
| ۳۵..... | ۷-۱-۳ تبدیل ویلت پیوسته |
| ۳۶..... | ۸-۱-۳ تبدیل ویلت گسسته |
| ۳۷..... | ۲-۳ شبکه های عصبی مصنوعی |
| ۳۸..... | ۱-۲-۳ تاریخچه شبکه عصبی مصنوعی |
| ۳۹..... | ۲-۲-۳ ساختار شبکه های عصبی مصنوعی |
| ۴۰..... | ۳-۲-۳ توابع انتقال |
| ۴۱..... | ۴-۲-۳ دسته بندی لایه ای شبکه های عصبی مصنوعی |
| ۴۳..... | ۳-۳ شبکه عصبی ویلت |
| ۴۵..... | ۱-۳-۳ ساختار شبکه عصبی ویلت |
| ۴۶..... | ۲-۳-۳ شبکه عصبی ویلت چندبعدی |
| ۴۷..... | ۳-۳-۳ آموزش شبکه های ویلت |
| ۴۸..... | ۱-۳-۳-۳ رویکرد پیوسته |
| ۴۸..... | ۲-۳-۳-۳ رویکرد گسسته |
| ۴۹..... | ۳-۳-۳-۳ آموزش شبکه ویلت با روش مبتری بر گرادیان |

| | |
|----|---|
| ۵۱ | ۴-۳-۳ مقداردهی اولیه شبکه‌های ویولت |
| ۵۱ | ۵-۳-۳ وضع محدودیت برای پارامترهای شبکه عصبی ویولت |
| ۵۳ | ۶-۳-۳ توابع انتقال شبکه عصبی ویولت |
| ۵۳ | ۱-۶-۳-۳ تابع ویولت مورلت |
| ۵۳ | ۲-۶-۳-۳ تابع ویولت کلاه مکزیکی |
| ۵۳ | ۳-۶-۳-۳ تابع ویولت مشتق گوسین |
| ۵۴ | ۴-۶-۳-۳ تابع ویولت شانون |
| ۵۴ | ۷-۳-۳ شبکه عصبی ویولت مورد استفاده در پایاننامه |
| ۵۷ | فصل چهارم: نتایج و بحث |
| ۵۸ | ۱-۴ مقدمه |
| ۵۸ | ۲-۴ داده‌های در دسترس |
| ۶۰ | ۳-۴ انتخاب داده‌های آموزشی |
| ۶۰ | ۴-۴ آماده سازی داده‌های ورودی |
| ۶۰ | ۱-۴-۴ داده‌های پیوسته |
| ۶۰ | ۲-۴-۴ تعریف خطای |
| ۶۱ | ۳-۴-۴ اطلاعات آماری داده‌ها |
| ۶۱ | ۵-۴ رابطه TOC و نگارهای چاه پیما یی |
| ۶۱ | ۴-۵-۴ نگار چاه پیما یی گاما |
| ۶۳ | ۴-۵-۴ نگار چاه پیما یی صوبتی |
| ۶۴ | ۴-۵-۴ نگار چاه پیما یی چگالی |
| ۶۵ | ۴-۵-۴ نگار چاه پیما یی نوترون |

| | |
|----------|--|
| ۶۶..... | ۴-۵-۵ نگار مقاومت ویژه |
| ۶۷..... | ۴-۶ همبستگی پارامتر TOC با نگارهای پتروفیزیکی در چاه های مورد مطالعه |
| ۶۸..... | ۴-۷ تخمین TOC به کمک شبکه عصبی |
| ۶۸..... | ۴-۷-۱ مراحل ساخت مدل شبکه عصبی |
| ۶۸..... | ۴-۷-۲ انتخاب نگارهای ورودی شبکه عصبی |
| ۷۱..... | ۴-۷-۳ تخمین نگارهای چگالی و نوترون با استفاده از شبکه عصبی |
| ۷۶..... | ۴-۷-۴ تخمین مقادی TOC در لایه کوکاتل شکل در شش چاه مورد مطالعه |
| ۸۰..... | ۴-۸ تخمین میزان TOC با استفاده از شبکه عصبی ویولت |
| ۸۱..... | ۴-۸-۱ تخمین میزان TOC به وسیله مدل تخمینگر شبکه عصبی ویولت در چاههای مورد مطالعه |
| ۸۲..... | ۴-۸-۱-۱ نتایج تخمین میزان TOC با شبکه عصبی ویولت گوسین |
| ۸۴..... | ۴-۸-۱-۲ نتایج تخمین میزان TOC با شبکه عصبی ویولت کلاه مکزیکی |
| ۸۶..... | ۴-۸-۱-۳ نتایج تخمین میزان TOC با شبکه عصبی ویولت مورلت |
| ۸۸..... | ۴-۸-۱-۴ نتایج تخمین میزان TOC با شبکه عصبی ویولت شانون |
| ۹۰..... | ۴-۹ مقایسه نتایج شبکه عصبی چندلایه و شبکه عصبی ویولت |
| ۹۴..... | ۴-۱۰-۱ تعیین ناحیه بهره ده در شرایطی گازی |
| ۹۴..... | ۴-۱۰-۱-۱ مرور ادبیاتی |
| ۹۷..... | ۴-۱۰-۲-۱ ناحیه بهره ده در شرایطی گازی |
| ۹۹..... | ۴-۱۰-۲-۱-۱ بررسی پتانسیل توازن لایه شکل گاز کوکاتل در شش چاه مورد مطالعه |
| ۱۰۶..... | ۴-۱۰-۳ فصل پنجم نتیجه‌گیری و پیشنهادات |
| ۱۰۷..... | ۴-۱۰-۴ نتیجه‌گیری |

| | |
|-----------|---------------|
| ۱۰۸..... | پیشنهادات ۲-۵ |
| ۱۱۰ | منابع و مأخذ |

فهرست شکلها

| |
|--|
| شکل (۱-۱) رابطه میان کروزن و میزان محتویات کربن آلی در سنگها ۴ |
| شکل (۲-۱) نمودار ون-کرولن ۵ |
| شکل (۳-۱) گسترده‌گی شیلهای گازی در جهان ۹ |
| شکل (۴-۱) نمودار بیشترین سهم توازن از مخازن نامتعارف ۱۰ |
| شکل (۱-۲) موقعیت جغرافیایی حوزه رسوبی پرت ۱۳ |
| شکل (۲-۲) موقعیت مکانی مکانی مهمند روکبروی در حوزه رسوبی پرت ۱۵ |
| شکل (۳-۲) نقشه چشم‌شناسی حوزه رسوبی پرت ۱۶ |
| شکل (۴-۲) نقشه ایزوفاژ لایه ارومی ریور در حوزه رسوبی پرت ۱۸ |
| شکل (۵-۲) نقشه ایزوفاژ لایه کاریجینی در حوزه رسوبی پرت ۱۹ |
| شکل (۶-۲) نقشه ایزوفاژ لایه وجئنا در حوزه رسوبی پرت ۲۰ |
| شکل (۷-۲) لایه مخزرنی بزرگ در میدان گازی وودادا ۲۱ |
| شکل (۸-۲) نقشه ایزوفاژ لایه کوکارتی شیل در حوزه رسوبی پرت ۲۲ |
| شکل (۹-۲) نقشه ایزوفاژ لایه کاتامارا در حوزه رسوبی پرت ۲۳ |
| شکل (۱۰-۲) موقعیت مکانی چاههای موجود در حوزه رسوبی پرت ۲۴ |
| شکل (۱-۳) دو نمونه سریگنان شامل مخلوطی از فرکانسیهای ۵، ۱۰، ۲۰ و ۵۰ هرتز و تبدیل فوری آنها. ۳۰ |
| شکل (۲-۳) نحوه عملکرد و جایگایی تابع پنجره در طول سریگنان ۳۲ |
| شکل (۳-۳) عدم رزولوشن فرکانسی در تبدیل فوری زمان کوتاه ۳۲ |
| شکل (۴-۳) موج ترکیبی و نمودار تبدیل ویولت آن ۳۵ |

| | |
|---|----|
| شکل(۵-۳) تبدیل ویولت گسسته یک سریگنال را با استفاده از ویولت هار | ۳۷ |
| شکل(۶-۳) ساختار یک نرون در شبکه عصبی | ۳۹ |
| شکل(۷-۳) توابع انتقال | ۴۱ |
| شکل(۸-۳) ساختار شبکه عصبی چندلایه | ۴۲ |
| شکل(۹-۳) شماتیک شبکه عصبی ویولت با یک متغیر ورودی | ۴۶ |
| شکل(۱۰-۳) نمای کلی یک ویولن با چند متغیر ورودی | ۴۷ |
| شکل(۱۱-۳) ویولت مورلت | ۵۲ |
| شکل(۱۲-۳) ویولت کلاه مکزیکی | ۵۳ |
| شکل(۱۳-۳) ویولت مشتق گوسین | ۵۴ |
| شکل(۱۴-۳) ویولت شانون | ۵۴ |
| شکل(۱۵-۳) ساختار شبکه عصبی ویولت | ۵۵ |
| شکل ۱-۴ رابطه مکلف نگار چاهپها بی گاما و میزان محتویت کربن آلی | ۶۳ |
| شکل ۲-۴ رابطه مکلف نگار چاهپها بی صوتی و میزان کل محتویت کربن آلی | ۶۴ |
| شکل (۳-۴) رابطه مکلف نگار چاهپها بی چگالی و میزان کل محتویت کربن آلی | ۶۵ |
| شکل (۴-۴) رابطه مکلف نگار چاهپها بی نوترون و میزان کل محتویت کربن آلی | ۶۶ |
| شکل (۵-۴) رابطه مکلف نگار چاهپها بی مقاومت و میزان کل محتویت کربن آلی | ۶۷ |
| شکل(۶-۴) نمودار متقطع ضرب رگرسیون مکلف TOC واقعی و تخمین زده برای حالته که تمام نگارها بعنوان ورودی شبکه عصبی در نظر گرفته شود | ۷۰ |
| شکل (۷-۴) نمودار متقطع ضرب رگرسیون مکلف TOC واقعی و تخمین زده برای حالته که نگارها صوتی، نوترون و چگالی بعنوان ورودی شبکه عصبی در نظر گرفته شود | ۷۰ |

| | |
|--|----|
| شکل (۴-۸) نمودار متقاطع ضریب رگرسیون مکن TOC واقعی و تخمین زده برای حالتی که نگارهای صوتی، چگالی، نوترон و گاما بعنوان ورودی شبکه عصبی در نظر گرفته شود..... | ۷۱ |
| شکل (۹-۴) نمودار تغییرات خطا دادهای آموزش، آزمون و اعتبارسنجی تخمین نگارهای چگالی با کمک شبکه عصبی | ۷۲ |
| شکل (۱۰-۴) مقایسه مکن مقدار تخمین زده با شبکه عصبی و مقدار واقعی در چاه ونراپ | ۷۳ |
| شکل (۱۱-۴) تخمین مقادی نگار در طول لایه کوکاتلی شکل چاه ونراپ با کمک شبکه عصبی..... | ۷۴ |
| شکل (۱۲-۴) مقایسه مکن مقدار تخمین زده با شبکه عصبی و مقدار واقعی در چاه راب | ۷۵ |
| شکل (۱۳-۴) تخمین مقادی نگار در طول لایه کوکاتلی شکل چاه راب با کمک شبکه عصبی الف. نگار نوترон ب. نگار چگالی | ۷۶ |
| شکل (۱۴-۴) مقایسه مقادی تخمین زده و مقادی واقعی TOC برای تمام دادهای شش چاه با استفاده از مدل تخمین‌گر شبکه عصبی | ۷۶ |
| شکل (۱۵-۴) مقادی تخمینی TOC نسبت به عمق در لایه کوکاتلی شکل چاه ونکارا | ۷۷ |
| شکل (۱۶-۴) مقادی تخمینی TOC نسبت به عمق در لایه کوکاتلی شکل چاه باتاوی..... | ۷۷ |
| شکل (۱۷-۴) مقادی تخمینی TOC نسبت به عمق در لایه کوکاتلی شکل چاه لوندر ریف | ۷۸ |
| شکل (۱۸-۴) مقادی تخمینی TOC نسبت به عمق در لایه کوکاتلی شکل چاه داموند سوک | ۷۸ |
| شکل (۱۹-۴) مقادی تخمینی TOC نسبت به عمق در لایه کوکاتلی شکل چاه ونراپ | ۷۹ |
| شکل (۲۰-۴) مقادی تخمینی TOC نسبت به عمق در لایه کوکاتلی شکل چاه راب | ۷۹ |
| شکل (۲۱-۴) نمودار تغییرات خطای دادهای آموزش و آزمون در شبکه عصبی ویلت گوسین | ۸۳ |
| شکل (۲۲-۴) مقایسه یعنی مقادی تخمینی و واقعی TOC برای کل دادهای شش چاه در شبکه عصبی ویلت گوسین | ۸۳ |

| | |
|---|----|
| شکل(۲۳-۴) نمودار متقاطع ضریب رگرسیون میان مقادی واقعی و تخمینی TOC در شبکه عصبی | ۸۴ |
| ویولت گوسین | |
| شکل(۲۴-۴) نمودار تغییرات خطای داده‌های آموزش و آزمون در شبکه عصبی ویولت کلاه | ۸۵ |
| مکزیکی | |
| شکل(۲۵-۴) مقایسه بین مقادی تخمینی و واقعی TOC برای کل داده‌های شش چاه در شبکه | ۸۵ |
| عصبی ویولت کلاه مکزیکی | |
| شکل(۲۶-۴) نمودار متقاطع ضریب رگرسیون میان مقادی واقعی و تخمینی TOC در شبکه عصبی | ۸۶ |
| ویولت کلاه مکزیکی | |
| شکل(۲۷-۴) نمودار تغییرات خطای داده‌های آموزش و آزمون در شبکه عصبی ویولت مورلت | ۸۶ |
| شکل(۲۸-۴) مقایسه بین مقادی تخمینی و واقعی TOC برای کل داده‌های شش چاه در شبکه | ۸۷ |
| عصبی ویولت مورلت | |
| شکل(۲۹-۴) نمودار متقاطع ضریب رگرسیون میان مقادی واقعی و تخمینی TOC در شبکه عصبی | ۸۷ |
| ویولت مورلت | |
| شکل(۳۰-۴) نمودار تغییرات خطای داده‌های آموزش و آزمون در شبکه عصبی ویولت شانون | ۸۸ |
| شکل(۳۱-۴) مقایسه بین مقادی تخمینی و واقعی TOC برای کل داده‌های شش چاه در شبکه | ۸۹ |
| عصبی ویولت شانون | |
| شکل(۳۲-۴) نمودار متقاطع ضریب رگرسیون میان مقادی واقعی و تخمینی TOC در شبکه عصبی | ۸۹ |
| ویولت شانون | |
| شکل(۳۳-۴) مقایسه نتایج خروجی شبکه ویولت گوسین و شبکه چندلایه | ۹۱ |
| شکل(۳۴-۴) مقادی تخمینی TOC نسبت به عمق در لایه کوکانقل شرکل چاه و تکارا | ۹۱ |
| شکل(۳۵-۴) مقادی تخمینی TOC نسبت به عمق در لایه کوکانقل شرکل چاه باتاوی | ۹۲ |

| | |
|--|-----|
| شکل(۳۶-۴) مقادی تخمینی TOC نسبت به عمق در لایه کوکاتلی شرکل چاه لیندر ریف..... | ۹۲ |
| شکل(۳۷-۴) مقادی تخمینی TOC نسبت به عمق در لایه کوکاتلی شرکل چاه دامیوند سوک..... | ۹۳ |
| شکل(۳۸-۴) مقادی تخمینی TOC نسبت به عمق در لایه کوکاتلی شرکل چاه راب..... | ۹۴ |
| شکل(۳۹-۴) مقادی تخمینی TOC نسبت به عمق در لایه کوکاتلی شرکل چاه ونراپ..... | ۹۵ |
| شکل(۴۰-۴) شماتیک مراحل تعیین ناحیه بهره‌هده..... | ۹۶ |
| شکل(۴۱-۴) شماتیک مراحل تعیین مقادی حد-آستانهای بصورت دئامیک با توجه به نحوه تخلیه مخزن هیدروکربوری | ۹۷ |
| شکل(۴۲-۴) رابطه بین تخلخل و میزان کل مواد هیدروکربوری | ۹۸ |
| شکل(۴۳-۴) نمونه یک شرکل گازی زی میکروسکوپ | ۹۹ |
| شکل(۴۴-۴) میزان تخلخل متوسط در لایه کوکاتلی شرکل | ۱۰۰ |
| شکل(۴۵-۴) نمودار متقطع تخلخل و تراوایی متوسط در لایه کوکاتلی شرکل | ۱۰۱ |
| شکل(۴۶-۴) نواحی مستعد از نظر پتانسیل تولید جهت عملیات شکاف هیدرولیکی در چاه ویکارا | ۱۰۲ |
| شکل(۴۷-۴) نواحی مستعد از نظر پتانسیل تولید جهت عملیات شکاف هیدرولیکی در چاه باتاوی | ۱۰۳ |
| شکل(۴۸-۴) نواحی مستعد از نظر پتانسیل تولید جهت عملیات شکاف هیدرولیکی در چاه لیندر ریف | ۱۰۴ |
| شکل(۴۹-۴) نواحی مستعد از نظر پتانسیل تولید جهت عملیات شکاف هیدرولیکی در چاه دامیوند سک | ۱۰۴ |
| شکل(۵۰-۴) نواحی مستعد از نظر پتانسیل تولید جهت عملیات شکاف هیدرولیکی در چاه راب.. | ۱۰۴ |

| | |
|--|--------------|
| شکل(۵-۱) نواحی مستعد از نظر پتانسیل تولید جهت عملیات شکاف هیدرولیکی در چاه | ۱۰۵ |
| و نرآپ | و نرآپ |

فهرست جداول

| | |
|--|-----|
| جدول(۱-۱) تقسیم بندی مواد آلی بر اساس منبع تشکیل دهنده | ۴ |
| جدول(۱-۲) میادین مهم اکتشافی در حوزه رسوبی پرت | ۱۴ |
| جدول(۲-۱) نگارهای پتروفیزیکی موجود شش چاه مورد مطالعه | ۲۴ |
| جدول(۲-۲) اطلاعات مربوط به لایه شکل گازی کوکاتی و تعداد و نوع و تعداد نمونه ها | ۵۹ |
| جدول(۲-۳) اطلاعات آماری داده ها | ۶۱ |
| جدول(۲-۴) چگالی تعدادی از سنگها و سیالات | ۶۴ |
| جدول (۴-۱) ماتریس ضریب همبستگی میان نگارهای پetrofیزیکی و میزان محتویت کل کربن آلی | ۶۷ |
| جدول(۴-۲) ضریب همبستگی TOC با نگارهای پetrofیزیکی تمام چاه ها | ۶۸ |
| جدول (۴-۳) ضریب همبستگی TOC و نگارهای پetrofیزیکی برای هر چاه | ۶۸ |
| جدول(۷-۱) مقایسه نتایج تخمین میزان TOC در شبکه عصی چندلایی با درنظر گرفتن ورودی های متفاوت | ۶۹ |
| جدول(۸-۱) مقایسه بین مدل شبکه عصی چندلایی و شبکه عصی ویولت | ۹۰ |
| جدول(۹-۱) مقادی حد-آستانه ای کلی در مخازن غییر متداول | ۱۰۱ |
| جدول(۱۰-۱) ارزیابی کیفیت مقادی محتویت کل کربن آلی | ۱۰۲ |

فصل اول

کلیات

۱-۱ میزان کل محتویات کربن آلی^۱

میزان کل محتویات کربن آلی، که از آن به اختصار TOC نام میبرند، بقایای موجودات زنده میباشد که در سنگهای رسوبی از تجزیه توسط باکتریها و اکنشهای شیمیایی، محفوظ ماندهاند و با گذشت زمان و همچنین افزایش فشار و دما طی مراحل دیاژنز^۲، کاتاژنز^۳ و متازنز^۴ تبدیل به مواد آلی کربنی گردیدهاند. TOC شاخص کلیدی ارزیابی پتانسیل هیدروکربورزایی مخازن شیلی (و البته تا حدی مخازن ماسهای و کربناته) است و عمدتاً از آن برای اندازه‌گیری کیفیت سنگهای منشا^۵ استفاده میشود [۱].

میزان TOC در آزمایشگاه با حرارت دادن سنگ در کوره و سوختن مواد ارگانیک و تبدیل آن - ها به دیاکسیدکربن بهدست میآید. میزان دیاکسید کربن آزاد شده متناسب با کربن آزاد شده در کوره و در نتیجه میزان کربن سنگ است [۲]. آنالیز محاسبه میزان TOC در آزمایشگاه، زیر مجموعه آزمایشات گسترده‌تر معروف به آنالیز راک-اول است که به منظور بررسی میزان کروزن، بلوغ حرارتی، ضریب انعکاس ویترنایت^۶، میزان گاز جذبی و TOC انجام میگیرد. نتایج اندازه گیری یک آنالیز راک-اول رایج عبارت است از [۲]:

- میزان کل محتویات کربن آلی (TOC)، مقدار هیدروکربن آزاد در نمونه (S_1)، مقدار هیدروکربن تولید شده بوسیله شکست حرارتی (S_2) (بیانگر پتانسیل موجود در سنگ برای تولید هیدروکربن در مرحله دیاژن)، میزان دیاکسید کربن (S_3) (بیانگر میزان

¹ Total organic carbon (TOC)

² Diagenes

³ Catagenes

⁴ Metagenes

⁵ Source rocks

⁶ Termal Maturity

⁷ Vitranite Reflection

اکسید شدن مواد آلی)، دمایی که در آن S_2 به بیشترین تولید میزان هیدروکربن می-

رسد(T_{max})

نتایج محاسباتی حاصل از پارامترهای اندازهگیری شده راک-اول شامل شاخص هیدروژنی، شاخص

اکسیژنی و شاخص تولید است که توسط رابطه‌های (۱-۱) تا (۱-۳) تعریف می‌گردد.

- شاخص هیدروژنی^۱

$$HI = 100 \frac{S_2}{TOC\%} \quad (1-1)$$

- شاخص اکسیژنی^۲

$$OI = 100 \frac{S_3}{TOC\%} \quad (2-1)$$

- شاخص تولید^۳

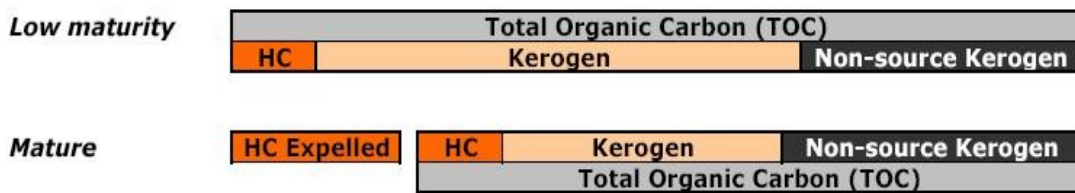
$$PI = \frac{S_1}{(S_1 + S_2)} \quad (3-1)$$

میزان کروزن و TOC رابطه مستقیم با یکدیگر دارند و برخی محققین واژه کروزن و TOC را بجای یکدیگر استفاده کردند [۱]. کروزن مخلوطی از ترکیبات آلی است که از مواد آلی موجود در سنگ - های رسوبی بوجود می‌آید و در حللهای رایج مواد آلی غیرقابل حل می‌باشد. شکل ۱-۱ رابطه میان کروزن و میزان محتویات کربن آلی را در دو حالت رخ دادن بلوغ حرارتی-مهاجرت مواد هیدروکربوری و عدم رخ دادن بلوغ حرارتی کامل- عدم مهاجرت مواد هیدروکربوری نشان میدهد.

¹ Hydrogen index

² Oxygen index

³ Production index



شکل ۱-۱ رابطه میان کروزن و میزان محتویات کربن آلی در سنگها [۱]

در شکل ۱-۱ منظور از non-source kerogen منابع غیر ارگانیک کربن در سنگها مانند سنگهای

- کربناته، دولومیتها، کلسیتها میباشد که در اثر حرارت بالا شکسته و تولید دیاکسیدکربن می نمایند [۲].

جدول ۱-۱ تقسیم‌بندی مواد آلی موجود در سنگهای رسوبی را بر اساس مکان تشکیل آنها را نشان میدهد.

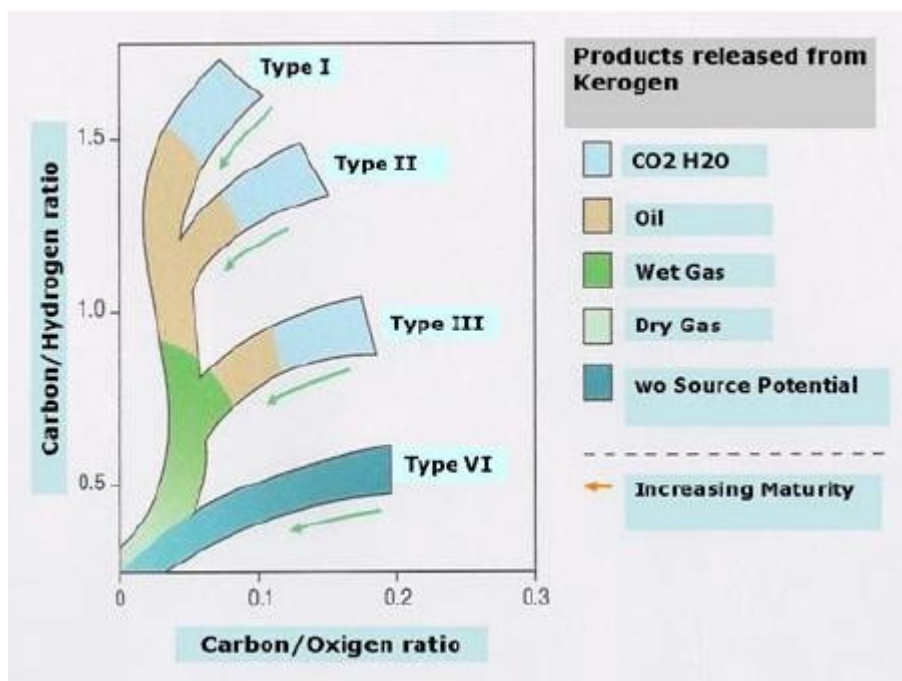
جدول ۱-۱ تقسیم‌بندی مواد آلی بر اساس منبع تشکیل دهنده [۲]

| نوع هیدروکربور تولیدی | منشا اصلی | نوع کروزن | محیط ایجاد شده |
|-----------------------|-------------------------------|-----------|----------------|
| نفت | جلبکها، پلانکتونها | نوع یک | دریایی |
| | فیتوپلانکتونها، زئوپلانکتونها | نوع دو | |
| گاز میانی گاز خشگ | مواد سلولزی گیاهان بزرگ | نوع سه | خشکی |
| | مواد آلی بشدت اکسید شده | نوع چهار | |

نمودار ون-کرولن^۱ رایجترین نموداری که برای طبقه‌بندی مواد آلی در رسوبات مورد استفاده قرار می‌گیرد، میباشد (شکل ۱-۲). در نمودار ون-کرولن محور عمودی شاخص هیدروژنی و محور افقی

¹ van-krevelen

شاخص اکسیژنی میباشد که از آنالیز راک-اول به دست میآید. بر اساس این نمودار مواد آلی به چهار نوع مختلف کروزن یک تا چهار تقسیم‌بندی گردیده‌اند که در جدول ۱-۱ بدان اشاره گردید. کروزن نوع یک غنی از هیدروژن است و عمدتاً از پلانکتونها و میکرو ارگانیسمها به وجود می‌آید. کروزن نوع دو از بقایای گیاهان بزرگ و فیتوپلانکتونها که تا حدی اکسیده شده‌اند، حاصل می‌شوند و از لحاظ ترکیب عناصر متوسط می‌باشد. کروزن نوع سه غنی از اکسیژن می‌باشد و عمدتاً از مواد سلولزی گیاهان بزرگ بوجود می‌آید. کروزن نوع چهار همانند کروزن نوع سه غنی از اکسیژن می‌باشد و از موادی که اکسید گردیده‌اند و یا سایر انواع کروزن به وجود می‌آید [۲].



شکل ۲-۱ نمودار ون-کرون [۱].

۲-۱ تلاش‌های انجام شده برای تخمین TOC

میزان کل محتويات آلی از خواص مهم سنگ مخزن است. روش مستقيم ولی هزینه بر به دست آوردن TOC، آنالیز داده‌های مغزه است. با توجه به هزینه بر بودن اندازه‌گیری مستقيم اين پارامتر تلاش‌های متعددی برای تخمین اين پارامتر از داده‌های نمودارهای پetroفیزیکی صورت گرفته است.

اشموکر (۱۹۸۱) دو معادله ساده برای تخمین TOC ارائه داده که با استفاده از نمودار گاما و دانسیته به صورت جداگانه میزان TOC را تخمین میزنند [۳]. وجود مواد آلی در سنگ باعث افزایش میزان گاما و همچنین کاهش دانسیته میگردد. اساس کار اشموکر نیز بر همین اساس بود ولی این روش قادر به تمایز ساختن اثر مواد آلی و خواص فیزیکی سنگ بر روی نمودار گاما و دانسیته نبوده است. برای رفع این ایراد روش های مبتنی بر چند نمودار گسترش یافت. مایر و ندلر^۱ (۱۹۸۴) از نمودارهای مقاومت، صوتی و گاما برای تشخیص سنگ مادر^۲ از سایر سنگ ها استفاده کردند [۴]. ایراد و ضعف این روش عبارت است از فرضیاتی که برای بیان مدل ریاضی و واقعیت وجود دارد و همچنین تعیین برخی پارامترهای اصلی، می باشد [۵].

در سال ۱۹۹۰ پاسی و همکارانش^۳ یک روش جدید که ΔLogR نامیده می شود را برای این منظور معرفی کردند [۶]. در این روش نمودارهای تخلخل (صوتی، دانسیته، نوترون) و نمودار مقاومت روی هم قرار می گیرند. مقاطعی که نمودارهای تخلخل و مقاومت به صورت موازی و یا منطبق بر هم باشند، نواحی اشباع از آب و غیر سنگ مادر هستند. در مخازن هیدروکربن و یا سنگ مادر، جداشی (ΔLogR) بین نمودار ها صورت می گیرد. با اندازه گیری میزان این جداش، TOC را می توان با استفاده از یک رابطه غیر خطی بین TOC و ΔLogR ^۴ محاسبه نمود. ایرادات این روش به شرح زیر هستند:

- برای به دست آوردن میزان جداش (ΔLogR) نیاز به تعیین مقادیر پایه^۵ در نمودارها و همچنین تعیین دقیق سطح بلوغ است.

¹ Meyer and Nederl

² Source rock

³ Passey et al

⁴ Maturity

⁵ Base line

- خطا در تعیین مقادیر پایه و همچنین تخمین سطح بلوغ میتواند باعث افزایش و یا

کاهش قابل توجه تخمین میزان TOC گردد.

در سال ۱۹۹۶ هوانگ و ویلیامسون^۱ به کمک شبکه عصبی پس انتشار خطا^۲ با استفاده از پاسخهای نمودار در بازه سنگ منشا، میزان TOC را تخمین زند [۵]. ساختار شبکه بهینه ایشان شامل شش نرون ورودی (گاما، مقاومت، صوتی، موقعیت مکانی و عمق)، یک لایه میانی و لایه خروجی شامل یک نرون (TOC) بوده است. در این روش میزان TOC اندازه گیری شده از خردمندانهای حفاری به عنوان داده های اعتبار سنجی در آموزش و آزمون شبکه مورد استفاده قرار گرفته است. برای کاهش میزان خطا و بهبود میزان تخمین TOC محققان از روش ها و ساختارهای مختلف شبکه عصبی استفاده نموده اند. بر همین اساس، کمالی و میرشادی (۲۰۰۴) تلاش کردند با استفاده از تکنیک های $\Delta LogR$ و نرو فازی^۳ رابطهای میان نمودارهای استاندارد (صوتی، نوترون، دانسیته و مقاومت) و TOC بیان کنند [۷].

در یک روش دیگر کدخدایی و همکاران (۲۰۰۸) تکنیک ماشین ترکیب^۴ را برای تخمین TOC معرفی کردند [۸]. آن ها از این تکنیک برای بهبود و افزایش دقت مدل تخمین گر TOC در لایه مخزنی برای سازند کنگان و دالان در مخزن گازی پارس جنوبی استفاده نموده اند. در این روش میزان TOC با استفاده از سه روش هوشمند شبکه های عصبی، نروفازی و منطق فازی^۵ تخمین زده می شود و با استفاده از تکنیک ماشین ترکیب به هر TOC تخمین زده شده توسط روش های هوشمند، یک فاکتور وزن^۶ نسبت داده می شود. بنابراین TOC نهایی نتیجه هر سه روش هوشمند می باشد.

¹ Huang and Williamson

² Back Propagation Neural Network

³ Neuro Fuzzy

⁴ Combine Machine Technique

⁵Fuzzy Logic

⁶ Weight Factor

۳-۱ شیل های گازی

در مخازن گاز متعارف^۱ که معمولاً از ماسه سنگ، سنگ آهک و دولومیت تشکیل شده‌اند، سنگ مخزن دارای فضاهای بزرگ و پیوستهای است که حرکت سیال در درون سنگ مخزن و همچنین به درون چاه را ممکن می‌سازند. بالعکس در مخازن نامتعارف^۲ تراوایی سنگ مخزن به حدی پایین است که دسترسی به گاز را دشوار می‌کند. مخازن گاز غیرمتعارف به چند گروه شیل گازی، مخازن فشرده گاز، متان لایه‌های ذغال و هیدراتهای گازی تقسیم می‌شوند [۹].

شیل گازی گروهی از سنگهای رسی فشرده تیره رنگ حاوی مواد غنی هیدروکربوری از نوع گاز است که به دلیل داشتن تراوایی کم، مانع از جریان یافتن مناسب گاز به داخل چاههای تولیدی می‌شود. این منابع که به دلیل داشتن مواد آلی بالا به عنوان سنگ مادر در یک سیستم نفتی محسوب می‌شوند، اگر به درجه اشباع هیدروکربوری رسیده باشند و زایش گاز درجا در آنها صورت گرفته باشد، گزینه بسیار مناسبی برای تولید گاز طبیعی به شمار می‌روند [۹].

پارامترهای کلیدی مخازن شیلهای گازی عبارتند از: بلوغ حرارتی، ضخامت لایه‌های مخزنی، میزان کل محتویات کربن آلی^۳، میزان گاز جذب شده بر روی سطح سنگ^۴، میزان گاز آزاد در فضای متخلخل و در شکاف‌ها، خواص ژئومکانیکی سنگ (قابلیت ایجاد شکاف هیدرولیکی). مخازن شیلگاز باید دارای حجم سنگ مناسب، مواد ارگانیک کافی و بلوغ حرارتی مناسب برای تولید هیدروکربور خصوصاً گاز باشند. اولین قدم در ارزیابی این نوع مخازن، تشخیص پتانسیل مخزن شیل گازی بودن آنها است. مخازن شیلگاز از نظر میزان تخلخل، کانی شناسی، تراوایی، میزان محتوای گاز و فشار

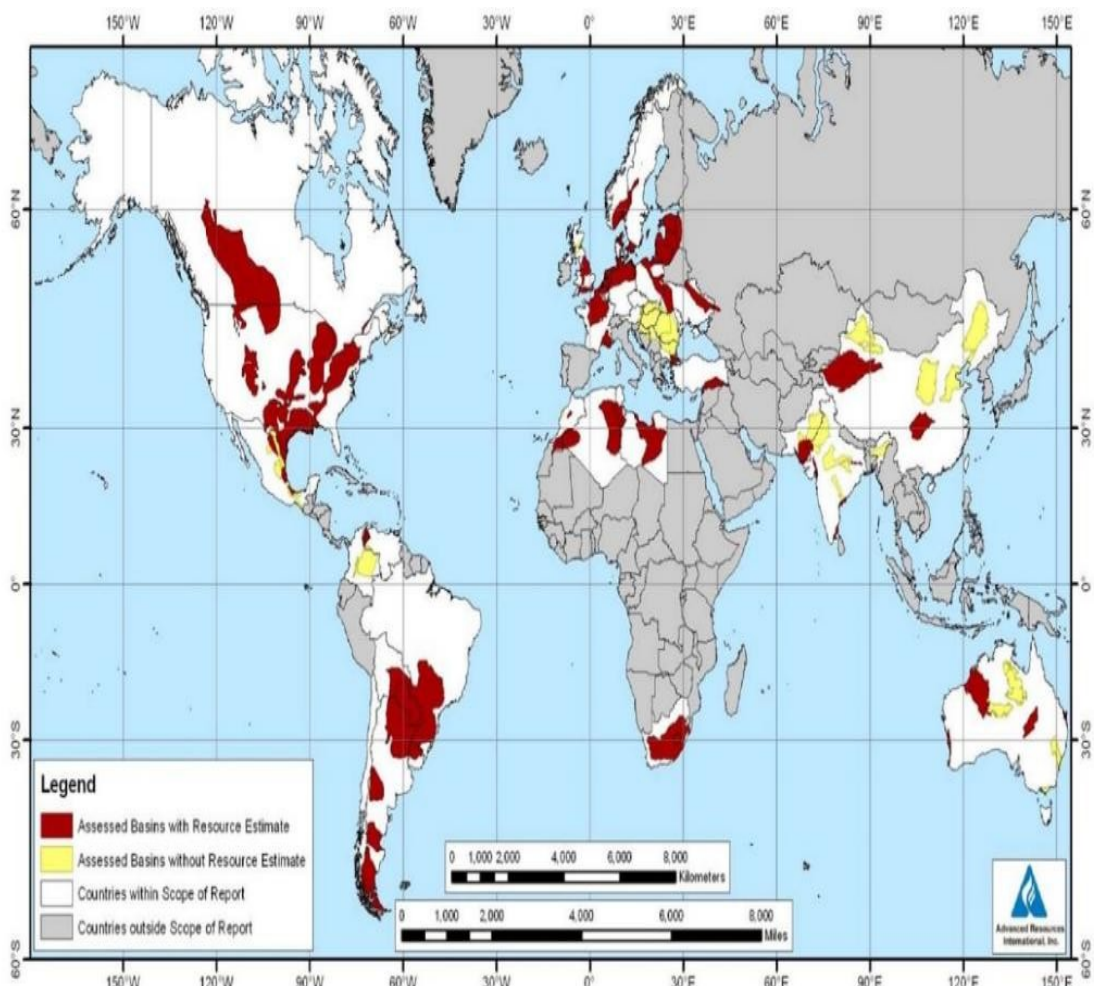
¹ Conventional Gas Reservoirs

² Unconventional Gas Reservoirs

³ TOC

⁴ Adsorption Fraction

بسیار متفاوت هستند. گاز در این نوع مخازن به دو صورت گاز آزاد در فضای متخلخل و شکافها و همچنین گاز جذب شده بر روی مواد ارگانیک وجود دارد [۱۱]. رشد مصرف و افزایش تقاضا برای گاز طبیعی اهمیت شیلهای گازی را به عنوان منابع عظیم گاز طبیعی دو چندان نموده است. شکل ۳-۱ گستردگی شیلهای گازی در جهان را نشان میدهد. بسیاری، آغاز استحصال گاز از شیلهای گازی را سال ۱۸۲۱ در نیویورک میدانند، ولی بهره‌برداری از این منابع در ابعاد صنعتی در سال ۱۹۷۰ صورت گرفت [۱۰]. یکی از روشهایی که باعث ایجاد انقلابی تمام عیار در صنعت حفاری شیلهای گازی شد، روش شکست هیدرولیکی است. این روش برای شکستن لایه‌های سنگین زیرزمینی و با هدف استحصال گاز به کار می‌رود.

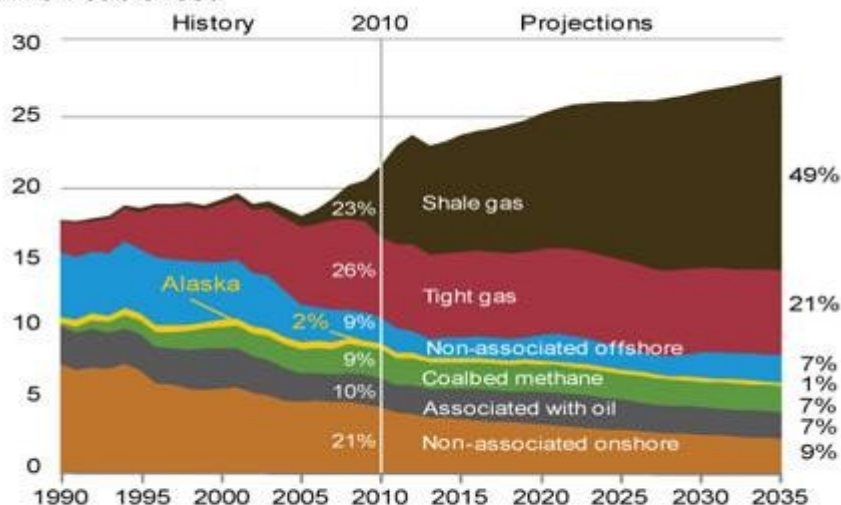


شکل ۳-۱ گستردگی شیلهای گازی در جهان [۱۲]

در حال حاضر ایالات متحده آمریکا تنها کشوری است که بطور اقتصادی از منابع شیل گازی بهره -
برداری مینماید. در سال ۱۹۹۶ از چاههای شیلگازی در آمریکا $\frac{1}{3}$ تریلیون فوت مکعب معادل
درصد گاز تولیدی، و تا سال ۲۰۰۶ این میزان به سه برابر، معادل $\frac{1}{1}$ تریلیون فوت مکعب یعنی
حدود $\frac{5}{6}$ درصد کل گاز ایالات متحده بود، رسید [۱۳]. پیش‌بینی می‌شود تا سال ۲۰۳۵ سهم
گازهای تولیدی از مخازن نامتعارف ^۱ در آمریکا، $\frac{7}{1}$ درصد کل گاز تولیدی خواهد رسید [۱۴]
(شکل ۱)

U.S. Natural Gas Production, 1990-2035

trillion cubic feet



Source: U.S. Energy Information Administration, AEO2012 Early Release Overview, January 23, 2012.

شکل ۱-۴ نمودار پیش‌بینی سهم تولید از مخازن نامتعارف در ایالات متحده آمریکا

۴-۱ موضوع پایاننامه

با توجه به نقش شیلهای گازی در تولید آینده گاز طبیعی در جهان و همچنین اهمیت بسیار میزان
کل محتویات کربن آلی در ارزیابی پتانسیل شیلهای گازی، در این پایاننامه نسبت به تخمین میزان

^۱ Unconventional Reservoirs

TOC در لایه شیل گازی کوکاتیا واقع در استرالیای غربی اقدام گردیده است. بدین منظور از دو روش استفاده گردیده است.

- روش شبکه عصبی مفهومی چند لایه
- شبکه عصبی مبتنی بر ویولت (ترکیب شبکه عصبی چندلایه و تئوری ویولت)

۱-۵ ساختار پایاننامه

در فصل اول کلیاتی در مورد اهمیت شیلهای گازی و معرفی میزان کل محتویات کربن آلی و همچنین روند پیشرفت روشهای بهکار گرفته شده در تخمین میزان TOC پرداخته شده است. فصل دوم به معرفی محدوده مورد مطالعه در این پایاننامه و همچنین دادهها و اطلاعات در دسترس مربوط به چاهها اختصاص یافته است. در فصل سوم روشناسی تحقیق شامل معرفی توابع ویولت و تبدیل ویولت، شبکههای عصبی مفهومی و شبکه عصبی ویولت شرح داده میشود. در فصل چهارم، روشهای مورد استفاده در این پایاننامه و همچنین دادهها و اطلاعات در دسترس که در فصول قبل معرفی گردیدهاند، استفاده میگردد و نتایج بهطور مفصل ارائه گردیده است.

فصل دوم

محدوده مورد مطالعه و

دادههای در دسترس

۱-۲ موقعیت جغرافیایی

حوزه رسوی پرت^۱ در جهت شمال-جنوب و در حدود ۱۰۰۰۰ کیلومتر مربع از حاشیه استرلیا غربی کشیده شده است. تقریباً نیمی بیشتر از این حوزه رسوی در دریا تا عمق ۱۰۰۰ متری قرار دارد. قسمت اصلی این حوزه رسوی را، رسوبات و سنگهای آواری قاره‌ای در بازه زمانی پرمیان^۲ تا دوره حاضر را شامل می‌شود [۱۵].



شکل ۱-۲ موقعیت جغرافیایی حوزه رسوی پرت

۲-۲ تاریخ اکتشافات

اولین کاوش و جستجو در حوزه پرت به منظور ارزیابی حوزه رسوی پرت از لحاظ مواد هیدروکربوری در سال ۱۹۳۵ با یک بررسی گراویته اولیه شروع گردید. بررسی لرزه‌های^۳ که در ناحیه جینجین^۴ در سال ۱۹۵۶ صورت پذیرفت به کشف ساختار عظیم طاقدیسی منجر گردید. بهمنظور ارزیابی این ساختار طاقدیسی، حفاری چاه اانا-۱^۵ در سال ۱۹۶۱ صورت گرفت. سرانجام این تلاشها با اولین چاه

¹ Perth Basin

² Permian

³ Seismic survey

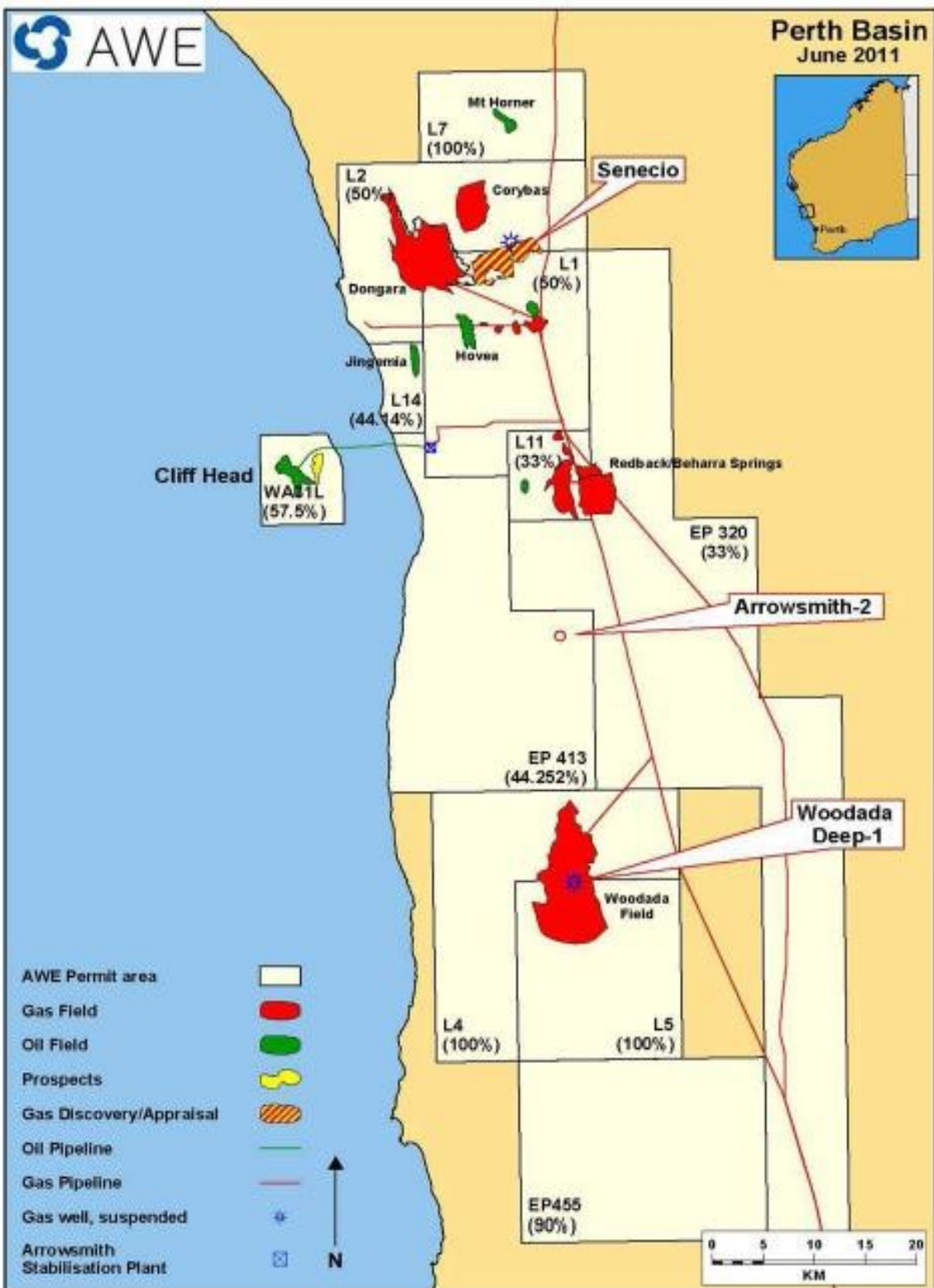
⁴ Gingin

⁵ Eneabba-1

اکتشافی در سال ۱۹۶۴ که منجر به تولید مواد هیدروکربوری گردید، به نتیجه رسید. در جدول ۱-۲ اکتشافات هیدروکربوری که از لحاظ اقتصادی ترجیح دارد، آورده شده است. شکل ۲-۲ موقعیت مکانی این میادین را نشان میدهد [۱۵].

جدول ۱-۲ میادین مهم اکتشافی در حوزه رسوی پرت [۱۵]

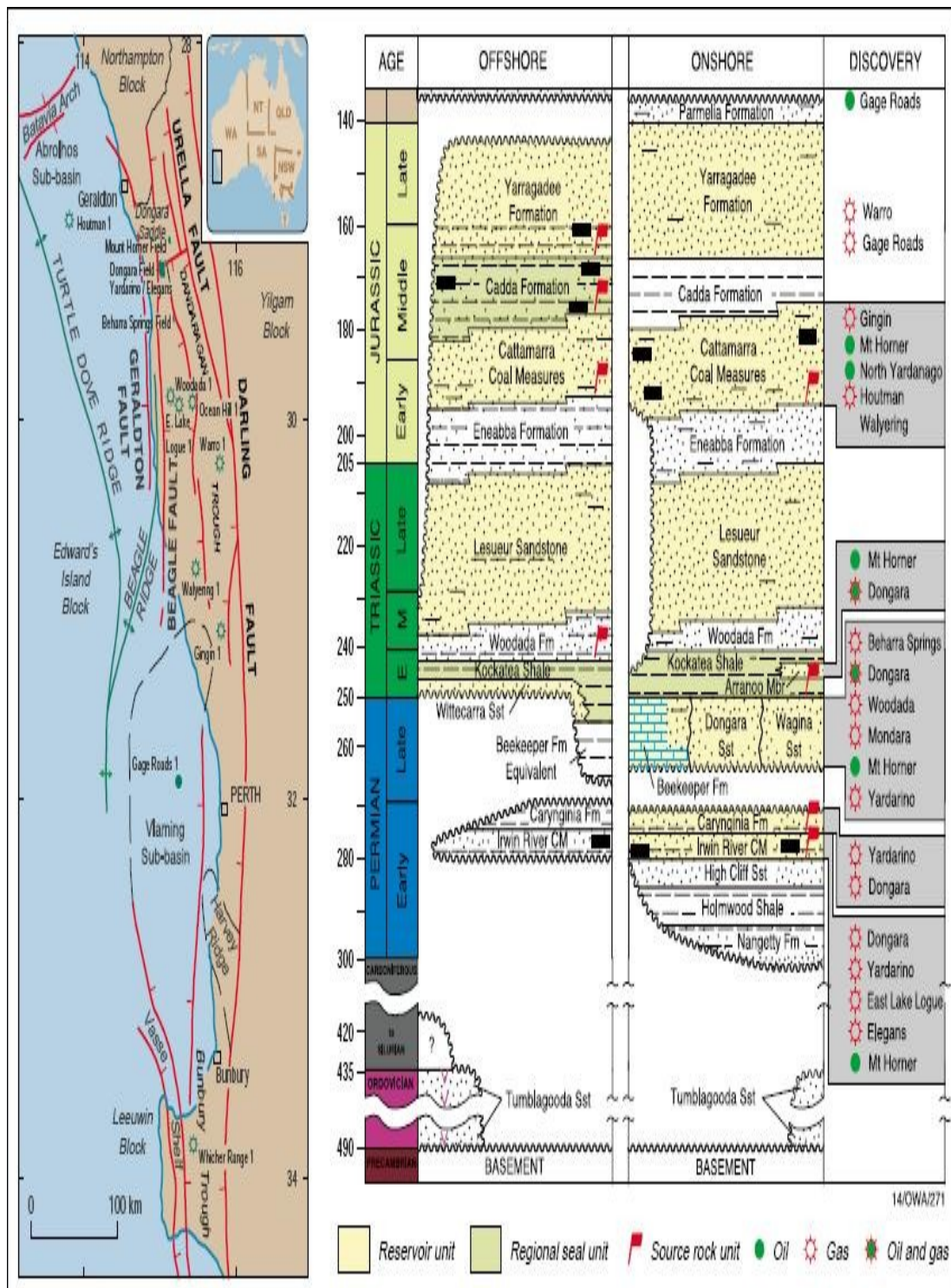
| سال اکتشاف | میدان |
|------------|------------------------|
| ۱۹۶۴ | Yardarino |
| ۱۹۶۶ | Dongara |
| ۱۹۶۸ | Mondarra |
| ۱۹۸۰ | Woodada |
| ۱۹۸۲ | East Lake Logue |
| ۱۹۸۷ | Mount Horner |
| ۱۹۹۰ | Behara Springs |



شکل ۲-۲ موقعیت مکانی میدین مهم هیدروکربوری در حوزه رسوبی پرت [۱۵]

این مخازن هیدروکربوری در حوزه‌ی پرت در لایه‌های چینه شناسی، پراکنده گردیده‌اند. شکل ۲

نقشه چینه‌شناسی حوزه‌ی پرت را نشان میدهد.



شکل ۲-۲ نقشه چینه‌شناسی حوزه‌ی پرت در ناحیه خشکی [۱۶]

در این حوزه رسوی از ماسه سنگهای دوران پرمین لایه اروین ریور کول میژر^۱ مقدار قابل توجهای گاز در میدان دانگارا^۲ تولید میشود. از ماسه سنگهای ناپیوستهای که در لایه کریجیانا^۳ وجود دارد، در میدان دانگارا و از زیر لایه ضخیم کربناته این لایه (کریجیانا) در میدان وودادا^۴ گاز تولید میگردد. ماسه سنگهای لایه وجینا^۵ در میدانهای دانگارا و ماندارا دارای گاز میباشند. بهترین پتانسیل مخزنی در ماسه سنگهای لایه دانگارا و لایه بیکیپر^۶ قرار دارد. این دو مخزن همراه مخازنی که در زیر لایه ماسه سنگی لایه کوکاتیا شیل^۷ قرار دارند، بخش اعظم هیدروکربورهای اکتشافی در حوزه- حوزه‌ی رسوی پرت را شامل میشوند و در نهایت در افق‌های ماسه سنگی لایه کاتامارا کول مژرز^۸ نفت در میدان مونت هورنر^۹ تولید میگردد [۱۶].

۳-۲ سازندهای دارای ذخایر هیدروکربوری در حوزه رسوی پرت

۱-۳-۲ سازند اروین ریور کول میژرز^{۱۰}

این سازند از لحاظ سنگ شناسی شامل ماسه‌سنگ، سیلت استون^{۱۱}، شیلهای کربناته و مقادیر کمی کونگلومرا^{۱۲} میباشد. ضخامت این لایه از ۵۰ متر در شمال تا حدود ۳۰۰ متر رو به جنوب متغیر

¹ Irwin River Coal measure

² Dongara

³ Caryginia

⁴ Woodada

⁵ Wagina

⁶ Beekeeper

⁷ Kockatea shale

⁸ Cattamarra coal measures

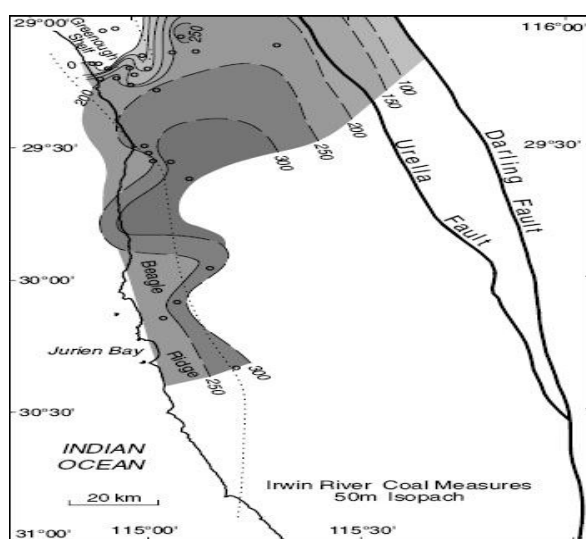
⁹ Mount Horner

¹⁰ Irvin river coal measures

¹¹ Silt stone

¹² Conglomerate

است. شکل ۴-۲ نقشه ایزوفج^۱ این لایه را نشان میدهد [۱۷]. این لایه از لحاظ زمین‌شناسی مربوط به رسوبات اواسط دوران پرمین میباشد.



شکل ۴-۲ نقشه ایزوفج لایه اروین ریور در حوزه رسوبی پرت [۱۷]

در زیر این سازند، لایهی ماسه سنگیهای کلیف سند استون^۲ و در بالای آن سازند کاریجینیا^۳ قرار دارد. در میدان دانگارا این سازند دارای مقادیر قابل توجهای گاز میباشد. کلی استون^۴ و سیلت استونهای^۵ لایه کوکاتیا که به وسیله‌ی گسلها در ارتباط با این لایه میباشند، نقش پوش سنگ را دارند. همچنین این سازند (کوکاتیا) نقش سنگ منشأً اصلی را در ایجاد مواد هیدروکربوری در سازند اروین دارد [۱۷].

¹ isopach

² High cliff sand stone

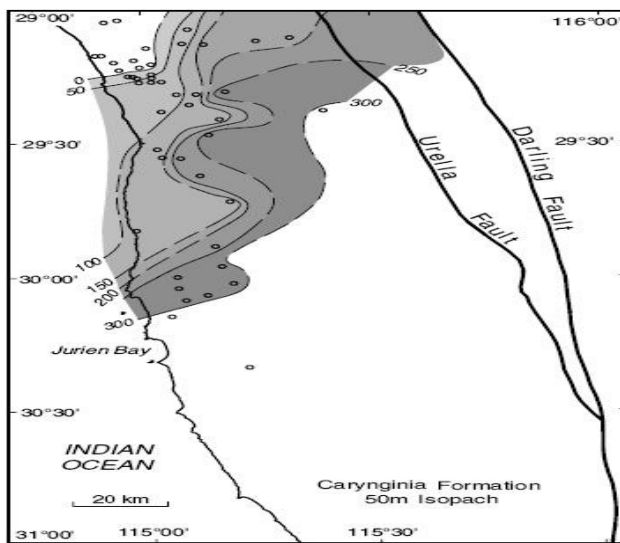
³ Caryginia

⁴ Clay stone

⁵ Silt stone

۲-۳-۲ سازند کاریجینیا

این سازند عمدتاً از توالی زیر لایه‌های سیلت استون و ماسه سنگ و همچنین مقادیر کمی شیل در قسمتهای انتهایی آن تشکیل یافته است . ضخامت این سازند در جهت جنوب افزایش میابد و تا حدود ۳۲۰ متر متغیر است. شکل ۵-۲ نقشه ایزوپاچ این لایه را در حوزه رسوی پرت نمایش میدهد.



شکل ۵-۲ نقشه ایزوپاچ لایه کاریجینیا در حوزه رسوی پرت [۱۷]

از لحاظ سنگ شناسی^۱ این سازند شامل سیلت استونهای کربناته و میکادر و ماسه سنگهای دانه ریز و درشت همراه لایه‌ی نازکی از کونگلومرا میباشد . لایه زیرین سازند کاریجینیا، اروین و ماسه سنگهای دانگارا^۲ و واجینا^۳ و سازند بیکیپر^۴ روی آن قرار دارند [۱۷]. همان طور که قبلاً اشاره گردید ماسه سنگهای ناپیوسته‌ایی سازند در میدان دانگارا دارای گاز میباشند . همانند سازند اروین کلی استون و سیلت استونهای لایه کوکاتیا که به علت گسلها در ارتباط با این سازند قرار دارند نقش پوش سنگ و سنگ منشأ را در میدان دانگارا برای این سازند دارا میباشند [۱۶].

¹ Lithology

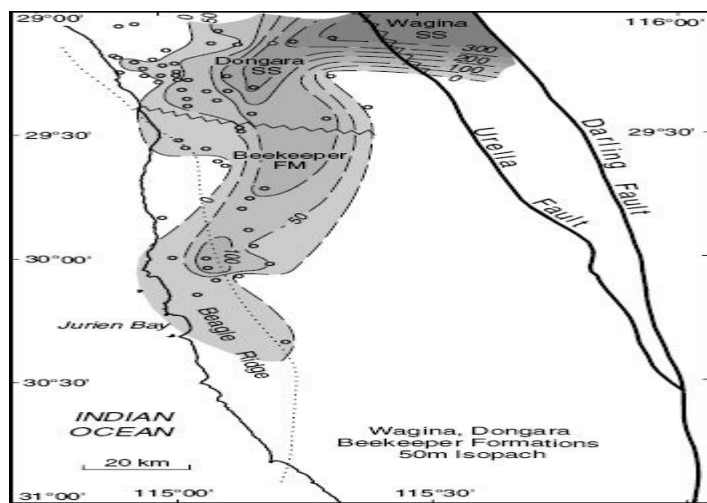
² Dongara

³ Wagina

⁴ Beekeeper

۳-۳-۲ سازندهای واجینا، دانگارا و بیکیپر

ماسه سنگهای واجینا مربوط به قسمت بالای دوران پرمین در حوزه‌ی پرت میباشد . ضخامت این ماسه سنگها تا ۲۵۰ متر و در جهت شمال افزایش میباید . شکل ۶-۲ مربوط به نقشه‌ی نقاط هم ارتفاع این لایه ماسه سنگی است . از لحاظ سنگ شناسی، شامل ماسه سنگهای دانه ریز تا متوسط همراه با میان لایه‌هایی از رس و مقادیر کمی کنگلومرا، سیلت استونهای کربناته میباشد .



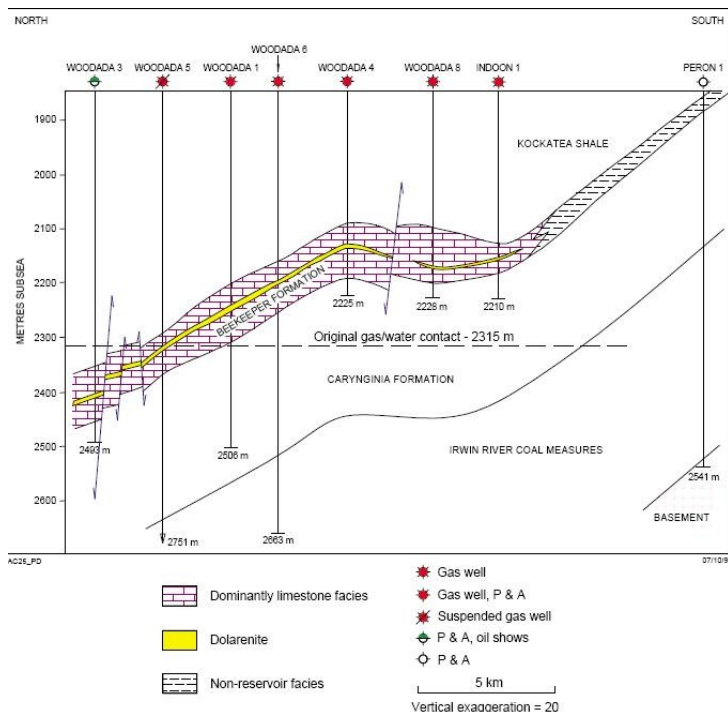
شکل ۶-۲ نقشه ایزوباج لایه واجینا در حوزه رسوی پرت [۱۷]

ماسه سنگهای دانگارا، ماسه سنگهای تمیز در زیر لایه‌ی شیلی کوکاتیا است . ضخامت این ماسه سنگ به سمت شرق از ۶۰ متر تا حدود ۳۴۰ افزایش میباید . مقادیر قابل توجهی گاز و نفت در این ماسه سنگها در میدانهای دانگارا و ماندارا^۱ کشف گردیده است [۱۷] . لایه کلی استون سازند کوکاتیا پوش سنگ مخازن در این ماسه سنگها است . سنگ منشأ مخازن نفتی، لایه شیلی کوکاتیا و سنگ منشأ مخازن گازی موجود در این لایه ماسه‌های کلی استونهای کربناته لایه اروین و سارند کاریجینیا میباشد [۱۵] .

سازند بیکیپر در قسمت جنوبی لایه ماسه سنگی دانگارا قرار دارد و از مخلوط سنگهای آواری و کربناته تشکیل گردیده است [۱۷] . در میدان گازی وودادا مقدار قابل توجه گاز در این سازند کشف

^۱ Mandara

گردیده است. لایه شیلی کوکاتیا به عنوان پوش سنگ در قسمت بالای سازند عمل مینماید. شکل ۲-۷ لایه مخزن بیکپر را در میدان گازی وودادا نشان میدهد [۱۵]. سنگ منشأ مخازن گازی در این لایه، سازند کاریجینیا و اروین و سنگ منشأ نفت ذخیره شده در این سازند، رسوبات دریایی و خشکی لایه شیلی کوکاتیا میتواند باشد [۱۵].



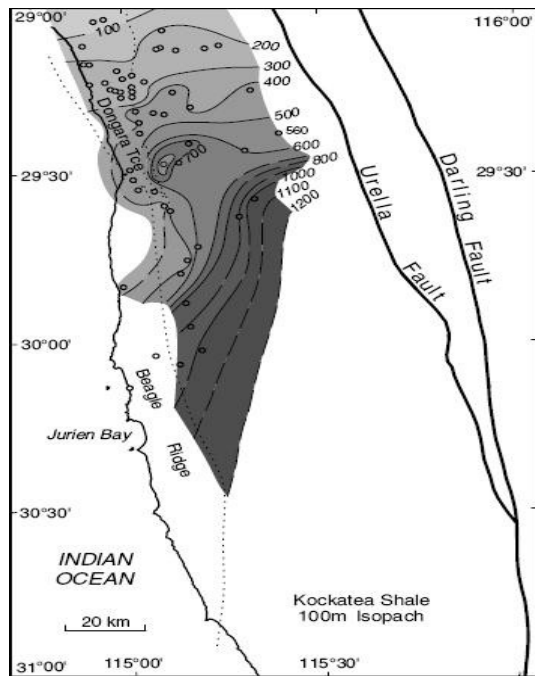
شکل ۲-۷ لایه مخزنی بیکپر در میدان گازی وودادا [۱۵]

۴-۳-۲ کوکاتیا شیل^۱

ضخامت این سازند رو به جنوب تا حدود ۱۰۶۰ متر افزایش میابد. شکل ۲-۸ نقشه ایزوفاچ این لایه را نشان میدهد. لایه شیلی کوکاتیا به عنوان سنگ منشأ اصلی نفت در حوزه‌ی رسوبی پرت در نظر گرفته می‌شود. این لایه متشکل از شیل‌های آبی و سیاه، سیلت استون همراه با لایه‌های باریکی از ماسه میباشد. مقادیر قابل توجه نفت از نظر تجاری از میان لایه‌های ماسه‌ای سیلت استون در این سازند در میدانهای مونت هورنر و دانگارا تولید میشود. معمولاً این سازند شامل یک زیرلایه‌ی پایه باریک (۱۵-۳۸ m) غنی از مواد آلی (TOC بیشتر از ۳٪) میباشد. لایه‌ی شیلی بالای این قسمت

^۱ Kockatea shale

پایه، کمتر غنی از مواد آلی (TOC کمتر از ۰/۵٪) میباشد [۱۷]. در این پایان نامه، این سازند شیلی به عنوان اصلیترين سازند شیلی در حوزه رسوبي پرت، مورد بررسی قرار گرفته است.



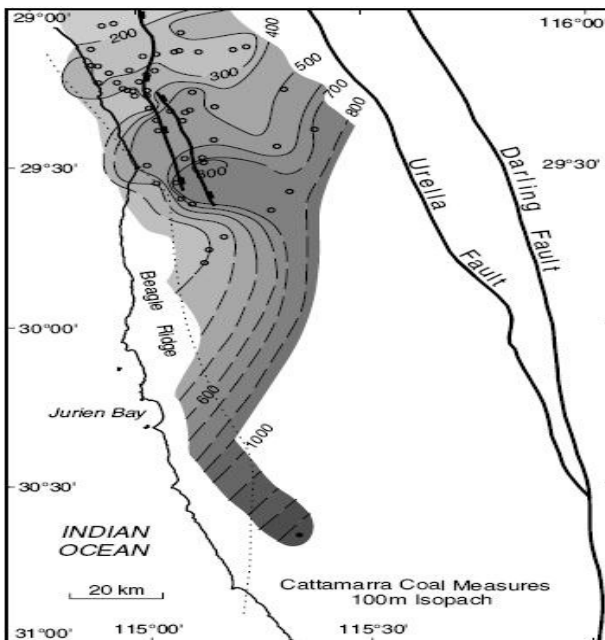
شکل ۲-۸ نقشه ایزوفاچ لایه کوکاتیا شیل در حوزه رسوی پرت[۱۷]

۳-۵-۵ کاتامارا کول مژرزا^۱

این سازند از ماسه سنگهای دانه ریز و دانه درشت همراه با میان لایههایی از سیلت استون و کلی استونهای کربناته میباشد . ضخامت این سازند در جهت جنوب تا ۱۵۰۰ متر افزایش مییابد [۱۷]. از میدان نفتی مونت هورنر^۲ در این سازند مقادیر قابل توجهی نفت در بخشهای 'B' و 'F' کشف گردیده است. قسمتهای E و A به ترتیب پوش سنگ برای بخش مخزنی این سازند میباشند . لایه شیلی کوکاتیا سنگ منشأ نفت در زیر لایههای B و F سازند کاتامارا میباشد. شکل ۲-۹ نقشه ایزوفاچ این لایه نشان میدهد.

¹ Cattamarra Coal measures

² Mount horner



شکل ۲-۹ نقشه ایزوفاچ لایه کاتامارا در حوزه رسوبی پرت [۱۷]

۴-۲ موقعیت چاههای مورد بررسی

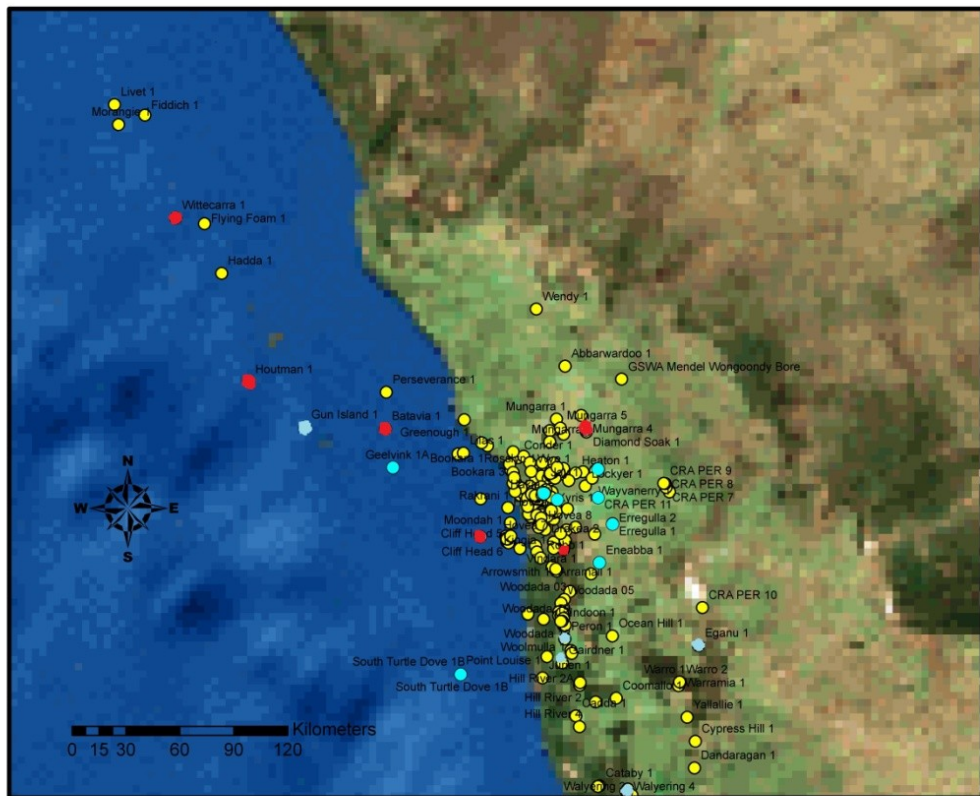
لایه شیل گازی کوکاتیا دارای گستردگی وسیعی در حوزه پرت میباشد . با توجه به اینکه در این پایاننامه هدف تخمین نگار ژئوشیمیایی TOC برای این سازند است، و همچنین نیاز به دادههای مغزه به منظور اعتبارسنجی، در انتخاب چاهها دارای محدودیت میباشیم . شکل ۲-۱۰ موقعیت چاههای موجود در حوزه رسوبی پرت را نشان میدهد.

۵-۲ معرفی دادهها

داشتن نگارهای پتروفیزیکی مناسب در چاه، از جمله عواملی است که در انتخاب چاهها به منظور استفاده از اطلاعات نگارهای پتروفیزیکی آن بعنوان ورودی شبکه عصبی تاثیر گذار میباشد. نگارهای مشترک بین چاههایی که دارای اطلاعات مغزه مربوط به کوکاتیا شیل میباشد، عبارتند از نگارهای مقاومت، صوتی، گاما و پتانسیل خودزا^۱ با توجه به اهمیت نگارهای چگالی و نوترنون در تخمین میزان

^۱ Spontenous potential

کل محتویات هیدروکربوری در نهایت از اطلاعات شش چاه که دارای نگارهای مقاومت، چگالی، نوترون، صوتی، گاما میباشند در این پروژه استفاده گردیده است. جدول ۲-۲ نام چاهها و نگارهای موجود و نقاط قرمز شکل ۱۰-۲ موقعیت مکانی چاههای انتخابی را نشان میدهد



شکل ۱۰-۲ موقعیت مکانی چاههای موجود در حوزه رسوبی پرت

جدول ۲-۲ نگارهای پتروفیزیکی موجود شش چاه مورد مطالعه

| Sp | Gama | Induction | DT | ROHB | NPHI | SN | LLD | Lat | LL7 | LN | Well Name |
|----|------|-----------|----|------|------|----|-----|-----|-----|----|----------------|
| ✓ | ✓ | ✓ | ✓ | ✓ | ✓ | -- | -- | -- | -- | -- | Batavia -1 |
| ✓ | ✓ | -- | ✓ | ✓ | ✓ | -- | ✓ | -- | -- | -- | Diamond soak-1 |
| ✓ | ✓ | ✓ | ✓ | ✓ | ✓ | -- | -- | -- | -- | -- | Houtman-1 |
| ✓ | ✓ | ✓ | ✓ | ✓ | ✓ | ✓ | ✓ | -- | -- | -- | Leander |

| | | | | | | | | | | | | |
|---|---|----|---|---|---|----|----|----|----|----|----|--------------|
| | | | | | | | | | | | | Reef-1 |
| ✓ | ✓ | -- | ✓ | ✓ | ✓ | -- | ✓ | -- | -- | -- | -- | Robb-1 |
| ✓ | ✓ | ✓ | ✓ | ✓ | ✓ | ✓ | ✓ | -- | -- | ✓ | | Wittecarra-1 |
| ✓ | ✓ | ✓ | ✓ | ✓ | ✓ | ✓ | -- | -- | -- | -- | -- | Wonner up-1 |

در دو چاه راب و ونرآپ نگارهای چگالی و نوترون برای قسمتی از لایه کوکاتیا شیل موجود است. این دو نگار با استفاده از شبکه عصبی برای کل لایه کوکاتیا شیل تخمین گردیده است که توضیحات مربوط به آن در فصل چهار آورده شده است.

فصل سوم

روش شناسی تحقیق

۱-۳ تبدیل ویولت

ایده نمایش یک تابع بر حسب مجموعه کاملی از توابع اولین بار توسط ژوزف فوریه^۱ ریاضی دان و فیزیکدان طی رساله‌ای در آکادمی علوم راجع به انتشار حرارت برای نمایش توابع بکار برده شد. در واقع برای آن که یک تابع به شیوه ای ساده و فشرده نمایش داده شود، فوریه اساساً ثابت کرد که می‌توان از محورهایی استفاده کرد که به کمک مجموعه ای نامتناهی از توابع سینوس وار ساخته می‌شوند. به عبارت دیگر فوریه نشان داد که یک تابع را می‌توان به وسیله حاصل جمع بی‌نهایت تابع سینوسی و کسینوسی نمایش داد.

پایه‌های فوریه به صورت ابزارهای اساسی با کاربردهای فوقالعاده متواتر و وسیع در علوم درآمده‌اند. زیرا برای نمایش انواع متعددی توابع و در نتیجه کمیتهای فیزیکی فراوان به کار می‌روند. با گذشت زمان ضعف پایه‌های فوریه نمایان شد. مثلاً دانشمندان پی‌بردن پایه‌های فوریه و نمایش توابع سینوس وار در مورد سیگنال‌های پیچیده نظیر تصاویر نه تنها ایده‌آل نیستند بلکه از شرایط مطلوب دورند. به عنوان مثال به شکل کارآمدی قادر به نمایش ساختارهای گذرا نظیر مرزهای موجود در تصاویر نیستند. البته در دهه ۸۰ با استفاده از توابع پنجره‌ای که منجر به تبدیل فوریه پنجره ای شد این مشکل حل شد.

هار^۲ اولین کسی بود که به ویولت‌ها اشاره کرد. در سال‌های بعد ریاضیدانان به قصد تحلیل ساختارهای تکین به فکر اصلاح پایه‌های فوریه افتادند و بعد از آن در سال ۱۹۷۰ یک فرانسوی به نام ژان‌مورل^۳ متوجه شد که پایه‌های تبدیل فوریه بهترین ابزار ممکن در اکتشافات زیر زمین نیستند. در سال ۱۹۸۰ نخستین پایه‌های ویولتی متعامد کشف شد. تعامد نوعی از ویژگی‌ها را بیان می‌کند که موجب تسهیلات فراوانی در استدلال و محاسبه می‌شود. در همین سال‌ها مورل مفهوم ویولت و تبدیل

¹Joseph Fourier

²Haar

³John Morley

ویولت را به عنوان ابزاری برای آنالیز سیگنال زمین لرزه بهکار برد. در سال ۱۹۷۶ مالت از پایه های ویولت متعامد توانست آنالیز چند تفکیکی را بسازد و مالت^۱ تجزیه ویولت‌ها و الگوریتمهای بازسازی را با به کار بردن آنالیز چند تفکیکی معرفی کرد. در سال ۱۹۹۰ همراه با آن ویولت‌ها را به دو بعد و سپس به فضاهایی با ابعاد دیگر گسترش دادند و بدین ترتیب بود که آنالیز ویولتی پایه‌گذاری شد.

آشنایی آنالیز ویولت یکی از دستاوردهای نسبتاً جدید ریاضیات محض است که مبتنی بر چندین دهه پژوهش در آنالیز است، امروزه کاربردهای مهمی در بسیاری از رشته‌های علوم و مهندسی یافته و امکانات جدیدی برای درک جنبه‌های ریاضی آن و نیز افزایش کاربردهایش فراهم شده است. در آنالیز ویولت هم مانند آنالیز فوریه با بسط تابع h سر و کار داریم، ولی این بسط بر اساس ویولت‌ها انجام می‌شود. ویولت تابع مشخص با میانگین صفر است و بسط سیگنال بر حسب انتقال‌ها و اتساع‌های این تابع انجام می‌گیرد بر خلاف چند جمله‌ای مثلثاتی ویولت‌ها در فضا به صورت موضعی بررسی می‌شوند. به این ترتیب ارتباط نزدیکتری بین بعضی از توابع و ضرایب آن‌ها امکان پذیر شده و پایداری عددی بیشتری در بازسازی و محاسبات فراهم می‌شود [۲۰، ۱۹، ۱۸].

۱-۱-۳ مفاهیم اساسی

هدف از اعمال تبدیلات ریاضی بر روی سیگنال‌های خام، بدست آوردن اطلاعاتی است که این اطلاعات بهراحتی از سیگنال اصلی قابل بازیابی نمی‌باشد. تبدیلات مختلفی برای خروج این اطلاعات از سیگنال وجود دارد که هر کدام معایب و مزایایی دارد، از جمله تبدیلات مهم می‌توان به تبدیل فوریه، تبدیل فوریه سریع، تبدیل ویولت، تبدیل هیلبرت و توزیع ویگنر اشاره نمود [۲۱].

همه تبدیلات دارای یک اصل محاسباتی مشترک می‌باشند، در همه آنها سیگنال $f(t)$ در یک تابع بررسی^۲ ضرب می‌گردد و در بازه زمانی انتگرالگیری می‌شود. تابع بررسی $(u)g$ ، نوع تبدیل را تعیین می‌کند [۱۸].

^۱Mallat

^۲ Analysis Function

$$f(t) \xrightarrow{\text{transform}} \int_{-\infty}^{+\infty} f(u)g(iu)du \quad (1-3)$$

۲-۱-۳ تبدیل فوریه^۱

تبدیل فوریه یک سیگنال را به توابع نمایی مختلط در فرکانس های متفاوت تجزیه میکند، روشی که تبدیل فوریه در آن این کار را انجام میدهد بصورت زیر بیان میگردد.

$$X(f) = \int_{-\infty}^{+\infty} x(t)e^{-2j\pi ft} dt \quad (2-3)$$

در این رابطه t نشان دهنده زمان و f نشان دهنده فرکانس، $x(t)$ نشان دهنده سیگنال ورودی است. اگر به این معادله بصورت دقیق توجه کنیم متوجه میشویم که $(t)x$ در یک عبارت نمایی در یک فرکانس مشخص f ضرب و سپس در تمام زمان ها از این عبارت انتگرال گرفته میشود. عبارت نمایی معادله (۲-۳) را بصورت زیر میتوان نوشت.

$$e^{-2j\pi ft} = \cos(2\pi ft) + j \sin(2\pi ft) \quad (3-3)$$

این عبارت دارای یک بخش حقیقی کسینوسی با فرکانس f و یک بخش موهومی سینوسی با فرکانس f میباشد، بنابراین میتوان گفت که در معادله ۲-۳ مقدار این انتگرال (مقدارش دقیقاً مهم نیست) مقدار بزرگی باشد. آنگاه میگوییم سیگنال $x(t)$ در فرکانس f مولفه فرکانسی غالی دارد، عبارت دیگر مفهوم آن اینست که یک بخش عمده ای از سیگنال از فرکانس f درست شده است. اگر

^۱Fourier Transform

مقدار انتگرال کوچک باشد به معنی آن است که سیگنال مولفه فرکانسی عمدی f را ندارد و اگر مقدار

این انتگرال صفر باشد به معنی این است که سیگنال اصلاً دارای فرکانس f نمی‌باشد [۲۱].

شکل ۱-۳ ایراد تبدیل فوریه را نشان میدهد. سیگنالهای الف و ب هر دو ترکیبی از چهار

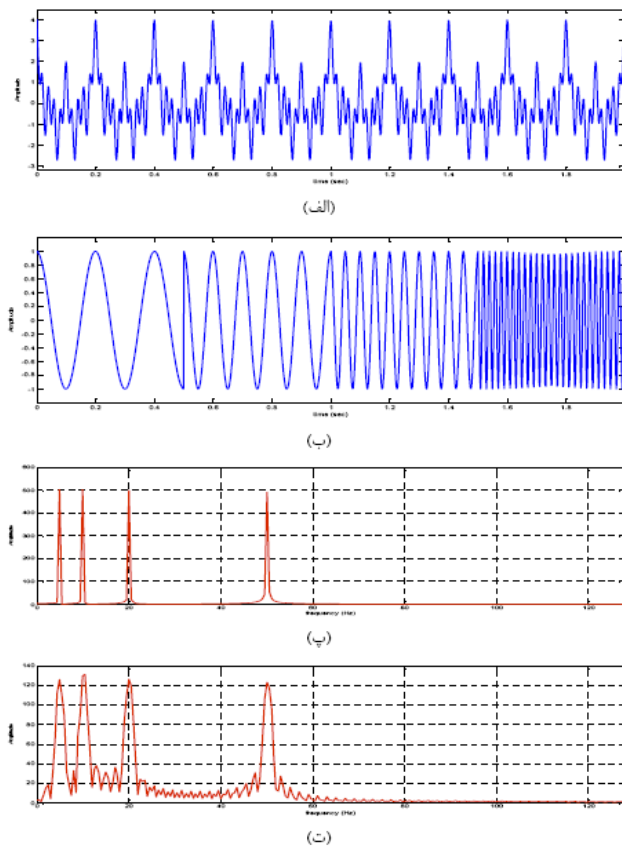
مولفه فرکانس یکسان میباشند بطوریکه سیگنال الف مخلوطی از فرکانسها و در سیگنال ب هر

فرکانس در یک محدوده نوسان میکند. قسمت پ و ت شکل ۱-۳ تبدیل فوریه این سیگنالها را نشان

میدهد. همانطوری که مشاهده میگردد، تبدیل فوریه هر دو سیگنال یکسان است و تبدیل فوریه

زمان رخ دادن مولفه ای فرکانسها را نمیتواند نشان دهد. بهعبارت دیگر تبدیل فوریه رزولوشن زمانی

ندارد.



شکل ۱-۳ دو نمونه سیگنال شامل مخلوطی از فرکانس‌های ۵، ۱۰، ۲۰ و ۵۰ هرتز و تبدیل فوریه آنها. (الف) مخلوط کسینوسی شامل تمام زمانها، (ب) مخلوط کسینوسی به نحوی که هر فرکانس فقط در یک بازه زمانی بهخصوص حضور دارد، (پ) تبدیل فوریه سیگنال الف، (ت) تبدیل فوریه سیگنال ب [۲۱]

۳-۱-۳ تبدیل فوریه زمان کوتاه^۱

نام دیگر این تبدیل، تبدیل فوریه پنجرهای^۲ میباشد. در این تبدیل بعد زمان وارد میگردد بدین معنی که زمان رخداد فرکانس‌های مختلف تعیین میگردد. برای این منظور تبدیل فوریه بصورت محلی صورت می‌گیرد. در این تبدیل ابتدا سیگنال در یک تابع پنجره^۳ ضرب میگردد سپس در همه زمان‌ها تبدیل فوریه گرفته میشود [۲۰].

$$STFT_X^{(\omega)}(t,f) = \int_{-\infty}^{+\infty} [x(t)\omega^*(t-t')]e^{-2j\pi ft}dt \quad (4-3)$$

در این رابطه t نشان دهنده زمان و f نشان دهنده فرکانس، ω^* شیفت زمانی، $x(t)$ نشان دهنده سیگنال اصلی و تابع پنجره میباشد که شکلی مانند تابع گوسین دارد و بهصورت زیر تعریف می‌گردد.

$$\omega(t) = e^{\left(\frac{-at^2}{2}\right)} \quad (5-3)$$

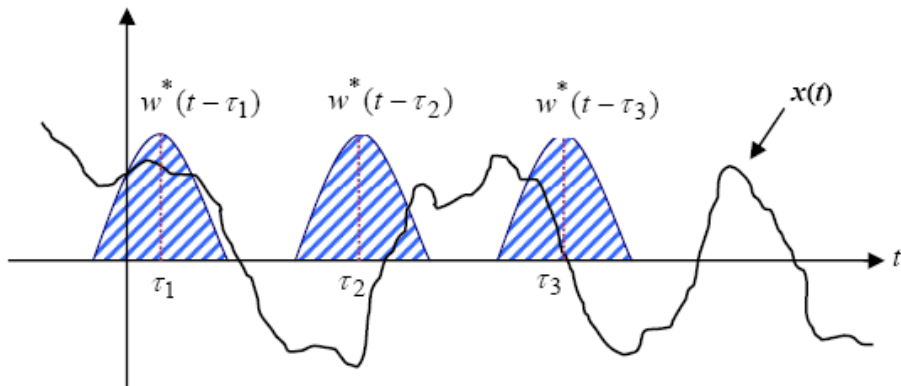
در این رابطه a : طول پنجره، t : زمان، t' را مشخص میکند.
تابع پنجره ابتدا در شروع هر سیگنال قرار میگیرد ($t = 0$) با فرض پهنهای پنجره T در لحظه 0 تابع پنجره با T اولیه سیگنال همپوشانی میکند. سپس تابع پنجره و سیگنال در هم ضرب میشوند، با انجام این عمل فقط T ثانیه از سیگنال با اختصاص دادن مقدار مناسبی به تابع پنجره انتخاب می‌شود. این حاصل ضرب بعنوان یک سیگنال دیگر در نظر گرفته میشود که باید از آن تبدیل فوریه

¹Short time Fourier transform

²Windowed Fourier transform

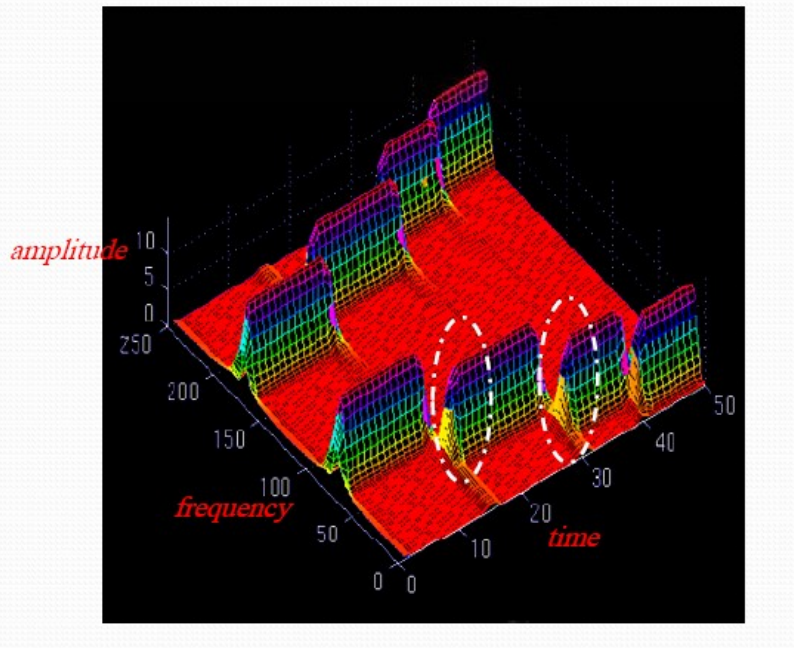
³Window Function

گرفته شود. در مرحله بعد پنجره به محل جدید t_1 شیفت پیدا میکند و این عملیات تا انتهای سیگнал ادامه پیدا میکند. در شکل ۲-۳ نحوه عملکرد این سیگنال نشان داده شده است [۲۲].



شکل ۲-۳ نحوه عملکرد و جابجایی تابع پنجره در طول سیگنال [۲۲]

مشکلی که در تبدیل فوریه زمان کوتاه وجود دارد پایین بودن رزولوشن فرکانسی میباشد که ریشه آن به اصل عدم قطعیت هایزنبرگ بر میگردد. در شکل ۳-۳ تبدیل فوریه زمان کوتاه برای یک سیگنال که شامل چهار فرکانس مختلف است، نشان داده شده است. همانطور که مشاهده میگردد تبدیل فوریه زمانکوتاه، رزولوشن زمانی بسیار خوبی دارد ولی در مورد فرکانس رزولوشن نسبت به تبدیل فوریه کاهش یافته است.



شکل ۳-۳ عدم رزولوشن فرکانسی در تبدیل فوریه زمان کوتاه

۴-۱-۳ اصل عدم قطعیت هایزنبرگ^۱

این اصل در سال ۱۹۲۷ توسط وارنر هایزنبرگ آرائه گردید. طبق این اصل تعیین همزمان مکان و سرعت یک الکترون یا هر ذره دیگری بیشتر از یک دقت و اطمینان خاصی غیر ممکن است.

$$\Delta t \Delta f \geq \frac{1}{2} \quad (6-3)$$

در تبدیل فوریه طول پنجره انتگرال گیری از منهای بینهایت تا مثبت بی نهایت است، لذا رزولوشن زمانی نداریم ولی رزولوشن فرکانسی بسیار خوبی داریم. در تبدیل فوریه زمانکوتاه پنجره دارای طول محدودی میباشد که باعث کاهش رزولوشن فرکانسی و افزایش رزولوشن زمانی میگردد. مشکل دیگری که در تبدیل فوریه زمان کوتاه ممکن است با آن مواجه شویم عدم تشخیص فرکانسهای کوتاه با توجه به انتخاب پنجره میباشد. بنابراین مسئلهای که برای ما در تبدیل فوریه زمان کوتاه

¹Heisenberg uncertainty principle

²Werner Heisenberg

پیش می‌آید، بطور قطع نتیجه انتخاب نوع تابع پنجره و استفاده از آن در سراسر سیگنال می‌باشد

[۱۸]

۳-۱-۵ شرایط تبدیل ویولت

عبارت ویولت به معنی موج کوچک (ویولت) می‌باشد، منظور از کوچکی محدود بودن این تابع و کلمه موج اشاره به نوسانی بودن تابع برمیگردد. تابع Ψ که در بازه $(-\infty, +\infty)$ تعریف شده است، عنوان ویولت دسته‌بندی می‌شود اگر دارای شرایط زیر باشد [۱۸].

$$1) \int_{-\infty}^{\infty} \Psi(u) du = 0 \quad (7-3)$$

- انتگرال مریع Ψ برابر یک است.

$$2) \int_{-\infty}^{\infty} \Psi^2(u) du = 1 \quad (8-3)$$

- اگر $\hat{\Psi}(f)$ تبدیل فوریه $\Psi(t)$ باشد شرط زیر باید برقرار باشد (شرط پذیرش)

$$3) c_{\Psi} = \int_0^{\infty} \frac{|\hat{\Psi}(f)|^2}{f} df \quad 0 < c_{\Psi} < \infty \quad (9-3)$$

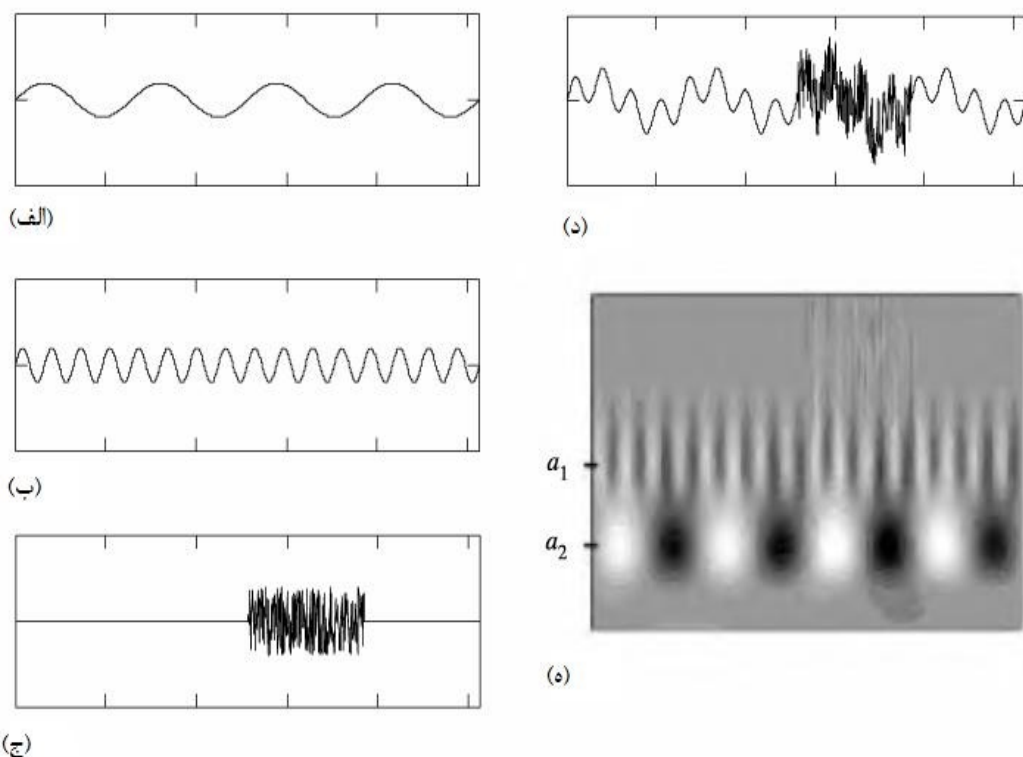
۳-۱-۶ آنالیز ویولت

تبدیل ویولت رزولوشن زمانی را تابع فرکانس می‌کند، از لحاظ عملکرد تبدیل ویولت مانند تبدیل فوریه زمان کوتاه عمل می‌کند. بدین صورت که سیگنال در یک تابع ضرب می‌شود (تابع ویولت) و تبدیل در بخش‌های مختلف حوزه زمان سیگنال محاسبه می‌شود. تابع ویولت در این تبدیل هم نقش تابع پنجره و هم نقش تابع بررسی را ایفا می‌کند. تفاوت اصلی بین تبدیل ویولت و تبدیل فوریه زمان

کوتاه، تغییر عرض پنجره برای فرکانس‌های مختلف می‌باشد. تابع Ψ بطور کلی بیانکننده ویولت مادر می‌باشد. یک خانواده از ویولت‌ها با استفاده از پارامترهای مقیاس و انتقال از ویولت مادر بصورت زیر می‌توان تولید کرد که در آن λ مثبت و t در یک بازه محدود می‌باشد [۲۱، ۲۳].

$$\Psi_{\lambda,t}(u) = \frac{1}{\sqrt{\lambda}} \Psi\left(\frac{u-t}{\lambda}\right) \quad (10-3)$$

در این رابطه λ پارامتر مقیاس، t پارامتر انتقال، u زمان و Ψ تابع ویولت مادر است. شکل ۳-۳ تبدیل ویولت یک سیگنال ترکیبی شامل سه فرکانس مختلف را نشان میدهد. همانطور که مشاهده می‌گردد نواقص قبلی در تبدیل ویولت برطرف گردیده و رزولوشن فرکانسی و زمانی خوبی در این تبدیل حاصل می‌گردد.



شکل ۳-۳ موج ترکیبی و نمودار تبدیل ویولت آن، الف- موج سینوسی، ب- موج سینوسی با پریودیک چهارم موج الف،

ج- یک نویز تصادفی با فرکانس بالا، د- سیگنال ترکیبی سیگنالهای فوق، ه- پلات تبدیل ویولت سیگنال ترکیبی^[۱۸]

با توجه به بازه‌ای که سیگنال در آن تعریف گردیده است، دو دسته کلی تبدیل ویولت گسترش یافته‌است.

۷-۱-۳ تبدیل ویولت پیوسته^۱

تبدیل ویولت پیوسته برای تبدیل یک تابع یا سیگنال $(.)x$ که در یک بازه زمانی پیوسته و حتی ناپیوسته تعریف گردیده است، بکار می‌رود.

$$CWT_{x(u)}(\lambda, t) = \langle x, \Psi_{\lambda, u} \rangle = \int_{-\infty}^{\infty} \Psi_{\lambda, t}(u) x(u) du \quad (11-3)$$

اگر تابع ویولت $(.)\Psi$ شرط پذیرش را دara باشد و همچنین سیگنال $x(t)$ در شرط زیر صدق نماید.

$$\int_{-\infty}^{\infty} x^2(t) dt < \infty \quad (12-3)$$

آنگاه می‌توان سیگنال $(.)x$ را از تبدیل ویولت پیوسته بصورت زیر بازیابی نمود.

$$x(t) = \frac{1}{c_\Psi} \int_0^{\infty} \left[\int_{-\infty}^{\infty} \langle x, \Psi_{\lambda, u} \rangle \Psi_{\lambda, u}(t) du \right] \frac{d\lambda}{\lambda^2} \quad (13-3)$$

در این معادله c_λ از معادله (11-3) بدست می‌آید [۲۱، ۲۳].

۸-۱-۳ تبدیل ویولت گسسته^۱

^۱Continuous Wavelet Transform

در تبدیل ویولت پیوسته، سیگنال در بینهایت پارامتر مقیاس و انتقال مورد بررسی قرار می‌گیرد. در عمل ما می‌توانیم با در نظر گرفتن زیر نمونه‌هایی از تبدیل ویولت پیوسته، پارامترهای اصلی تبدیل را بدست آوریم که به آن تبدیل ویولت گستته می‌گویند. تبدیل ویولت گستته روی توابع گستته و یا سری‌های زمانی ($x(t)$) انجام می‌گیرد و معمولاً زمان بصورت محدود تعریف می‌گردد که $t = 0, 1, \dots, N-1$. معمولاً پارامتر انتقال در این تبدیل بصورت بازه‌های $j=1, 2, 3, \dots, J$ می‌باشد. در شکل ۳-۵ تبدیل ویولت گستته یک سیگنال با استفاده از ویولت هار نشان داده شده است.

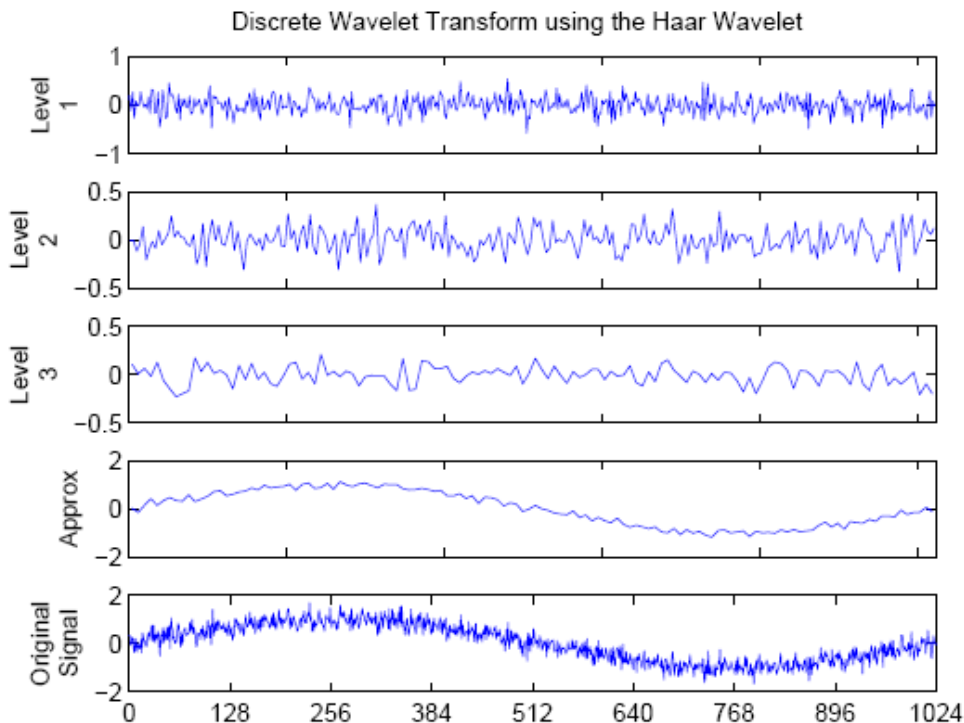
در این مثال تا سه مرحله تبدیل نشان داده شده است. در ابتدا فرکانس‌های بالا و در مراحل بعدی فرکانس‌های پایین‌تر جدا می‌گردند. تبدیل ویولت گستته به میزان داده‌ها دارای ضرایب تبدیل گستته ویولت^۱ است، سه شکل اول شامل ضرایب ویولت^۲ برای سطوح یک، دو و سه می‌باشد و بقیه ضرایب که ضرایب مقیاس^۳ نام دارد در سیگنال باقی مانده بعد از تبدیل ویولت، قرار دارند [۲۱، ۲۳].

¹ Discrete Wavelet Transform

² DWT Coefficient

³ Wavelet Coefficient

⁴ Scaling coefficient



شکل ۳-۵ تبدیل ویولت گسسته یک سیگنال را با استفاده از ویولت هار [۲۳]

۲-۳ شبکه‌های عصبی مصنوعی

پیاده سازی ویژگیهای شگفتانگیز مغز انسان در یک سیستم مصنوعی از دیر باز وسوسه انگیز و مورد توجه بوده است. همین انگیزه باعث شده است تا دانشمندان با الهام از ساختار مغز انسان ایده‌های شبکه‌های عصبی مصنوعی^۱ را به صورت یک مدل بسیار ساده که فقط میتواند بخشی از عملکرد مغز را شبیه‌سازی کند، ارائه نمایند[۲۴].

یادگیری در شبکه‌های عصبی مصنوعی مثل مغز بصورت تطبیقی است و از طریق مثال انجام میشود، بدین معنی که اغلب (نه همواره) مجموعه‌های از ورودی و خروجیهای درست به شبکه داده میشود. سپس اوزان سیناپس شبکه با استفاده از این داده‌ها به گونه‌ای تغییر داده میشود که در صورت دادن ورودی جدید بتواند پاسخهای درستی را تولید کند. به همین خاطر به این سیستمها

^۱ Artificial Neural Network

هوشمند گفته میشود زیرا شبکهها بر اساس محاسبات روی دادههای عددی یا مثالها، قوانین کلی را فرمیگیرند [۲۵].

۱-۲-۳ تاریخچه شبکه عصبی مصنوعی

شبکههای عصبی در سال ۱۹۴۳ میلادی توسط مک‌کالاج و پیتز معرفی شد. اولین شبکه عصبی که توسط آنها معرفی شد، دارای چند نرون ساده بود که قدرت محاسباتی قابل توجهی نداشت. در سال ۱۹۴۹ میلادی هب اولین قانون آموزش شبکههای عصبی را پیشنهاد کرد که بر این اساس بود که اگر دو نرون به طور همزمان فعال شوند، اثر ارتباطی بین آنها افزایش پیدا می‌کند در محدوده سالهای ۱۹۵۸ تا ۱۹۶۲ روزنبلات گروه بزرگی از شبکههای عصبی به نام پرسپترون را معرفی نمود. قانون آموزش این شبکهها یک روش تکراری اصلاح وزن بود که بسیار قوی‌تر از قانون هب عمل می‌کرد. در سال ۱۹۶۰ میلادی شبکه آدالین توسط ویدرو ارائه گردید. کاربردهای متعدد این شبکه در تشخیص متن، آن را به ابزاری در کنترل سیستمها تبدیل کرد که همچنان از آن استفاده می‌شود [۲۶].

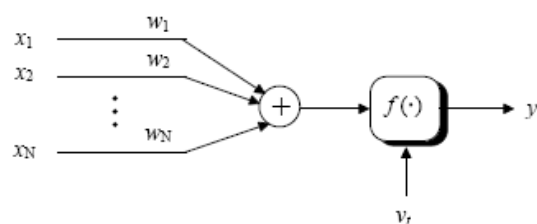
در دهه ۱۹۷۰ میلادی تحقیقات فراگیری توسط کوهون در مورد شبکههایی با حافظه مشارکتی انجام گرفت که از آن در تشخیص صدا استفاده می‌شد [۲۷]. آندرسن نیز تحقیقاتی در مورد شبکه پیشنهادی کوهون انجام داد و نتیجه این تحقیقات، آن دسته از شبکههای عصبی است که امروزه در تشخیصهای طبی بکار گرفته می‌شوند. گراسبرگ نیز روابط ریاضی حاکم بر شبکههای عصبی را مطرح نمود. وی به اتفاق کارپنتر تئوری مربوط به شبکههای عصبی را که قادر به مرتب کردن و طبقه‌بندی نمودن اطلاعات ورودی است و بنام تئوری تشدید تطبیقی نامیده می‌شود، بنا کرد [۲۸].

با ابداع روش انتشار برگشتی که مستقلأً توسط پارکر و لوکان ارائه گردید، تحولی در شبکههای عصبی صورت گرفت. از سایر کسانی که در پیشبرد این زمینه سهیم بودند، برنده جایزه نوبل فیزیک،

هاپفیلد^۱ بود که شبکه‌های عصبی را که براساس وزن ثابت عمل می‌کنند برای اولین بار معرفی کرد . این شبکه‌ها حل مسائلی با قیدهای اولیه را ممکن ساختند [۲۹]. فوکوشیما مجموعه‌ای از شبکه‌های عصبی بنام ندوکگنیشن^۲ جهت شناسایی حروف بسط داد . برنامه اصلاح شده او قادر به شناسایی حروف حتی با وجود تغییر شکل و یا دوران بود [۳۰].

۲-۲-۳ ساختار شبکه‌های عصبی مصنوعی

نرون کوچکترین واحد پردازش شبکه عصبی مصنوعی بوده و حکم سلولهای مغز انسان را دارد . هر شبکه از یک لایه خروجی و یک یا چند لایه میانی تشکیل شده است. نرونهای هر لایه بوسیله وزنهایی که مربوط به ایجاد سیگنال تحریک میباشند به نرونهای لایه بعدی متصل میشوند . طی فرایند آموزش شبکه، این وزنهای مقدار ثابتی که با آنها جمع میشوند و اصطلاحاً بایاس نامیده میشوند به طور پیداپی تغییر میکنند تا این که مجموع مربعات خطای کمترین مقدار خود برسد . برای انتقال خروجیهای هر لایه به لایه‌های بعدی از توابع محرک استفاده می‌شود . از توابع محرک معروف میتوان توابع سیگموئیدی و توابع محرک خطی را نام برد . شکل ۳-۶ ساختمان یک نرون محاسباتی را نشان میدهد .



شکل ۳-۶ ساختار یک نرون در شبکه عصبی

¹Hopfield

²Nerocognition

در این شکل کمیت x ورودی نرون میباشد . میزان تاثیر x روی خروجی بوسیله مقدار کمیت W تعیین میشود . ورودی دیگر یک مقدار ثابت ۱ است که در جمله بایاس b ضرب شده و سپس با W_i جمع می شود. این حاصل جمع، ورودی خالص n برای تابع تحریک F را تشکیل میدهد .

$$n = WX + b = W_{1,1}x_1 + W_{1,2}x_2 + \dots + W_{1,R}x_R + b \quad (14-3)$$

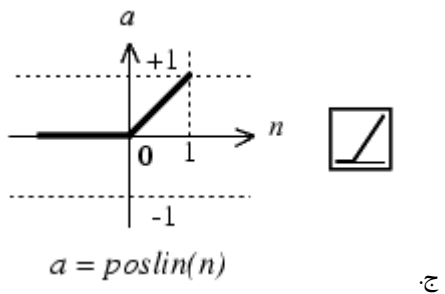
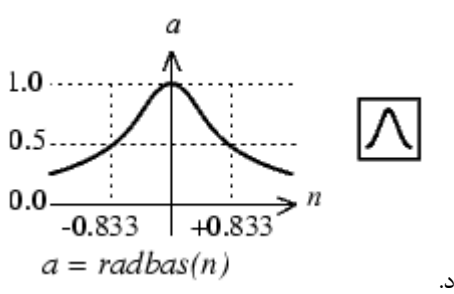
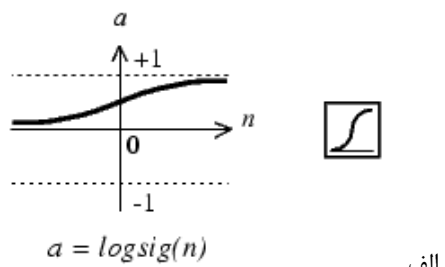
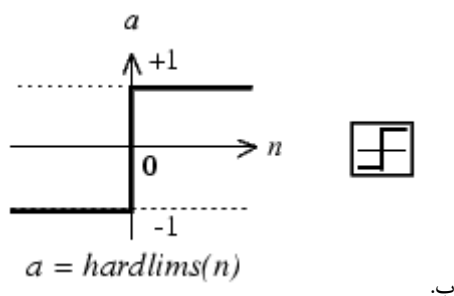
سپس خروجی نرون به کمک معادله ۱۵-۳ بدست میآید .

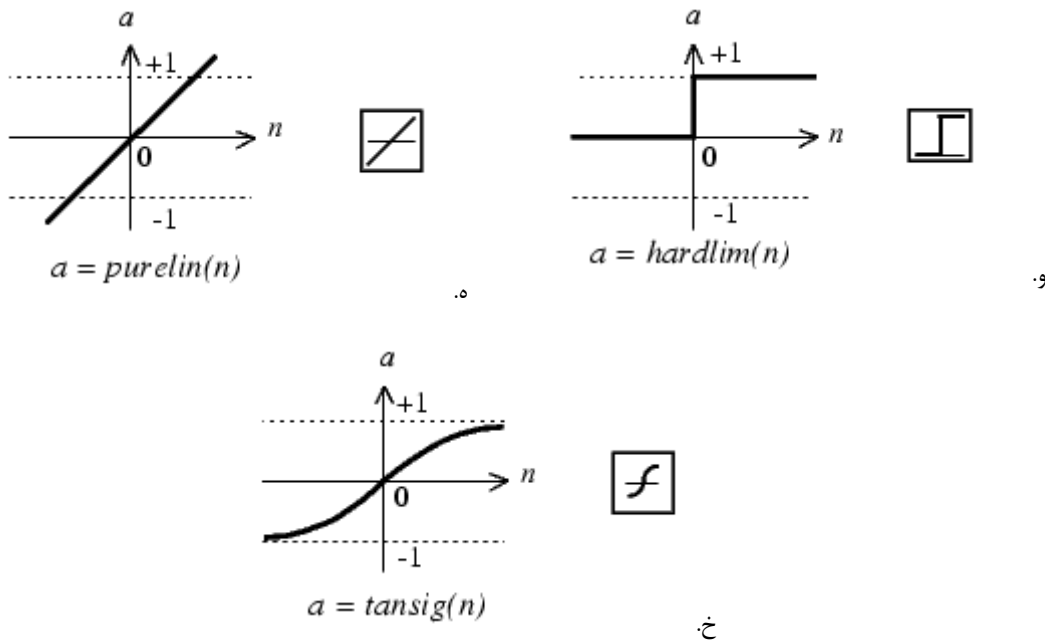
$$a = F(W * P + b) \quad (15-3)$$

باید توجه داشت که پارامتر های b و W قابل تنظیم هستند و تابع محرک F نیز توسط طراح انتخاب می شود. مسیری که برای دستیابی وزنها و بایاسها به مقدار مطلوب نهایی انتخاب میگردد، قانون یادگیری نام دارد. قانون یادگیری در واقع یک الگوریتم ریاضی پیچیده است [۲۳] .

۳-۲-۳ توابع انتقال

برخی توابع انتقال مهم در شکل ۷-۳ نشان داده شده است.





شکل ۷-۳ برخی توابع انتقال مهم الف. سیگموئید ب. هارد لیمیت متقارن ج. خطی مثبت د. گوسین و، هارد لیمیت ه. خطی خ. تانژانت سیگموئید [۲۴]

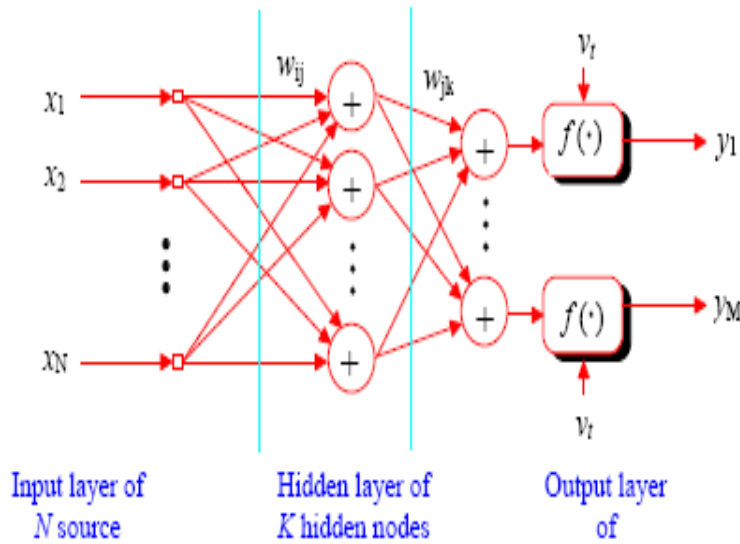
۴-۲-۳ دسته بندی لایه ای شبکه های عصبی مصنوعی

بر اساس ساختار شبکه های عصبی را به دو دسته تک لایه و چند لایه تفکیک میکنند . در یک شبکه تک لایه نرون های خروجی و ورودی یکی هستند . در نتیجه به تعداد سیگنال های خروجی، نرون در شبکه وجود دارد . مقادیر ورودی n و خروجی هر نرون از روابط ۱۵-۳ و ۱۴-۳ تعیین میشود . ماتریس های بایاس و اوزان شبکه اهمیت زیادی دارند، زیرا در مسائل مختلف، شبکه آنها را تغییر میدهد تا مقادیر بهینه بدست آید . در مواردی برای دستیابی به عملکرد مطلوب که به درجات آزادی و پارامترهای قابل تنظیم بیشتری نیاز داریم از شبکه های چند لایه استفاده میکنیم . در این ساختار، خروجی نرون های لایه قبلی به ورودی نرون های لایه بعدی منتقل میشود [۲۶].

شبکه های چند لایه بسیار قدرتمندتر از شبکه های تک لایه هستند . به تجربه نیز ثابت شده است که خطی بودن در لایه خروجی باعث میشود که شبکه از زمانی که تابع خروجی سیگموئید باشد بهتر به جواب برسد زیرا محدوده خطی بودن تابع خطی از تابع سیگموئید بیشتر است همچنین با حضور تابع

سیگموئید در لایه آخر، انحراف از محدوده خطیبودن در دو انتهای تابع مشاهده میشود [۲۸]. شکل

۳-۸ ساختار یک شبکه عصبی چندلایه را نشان میدهد.



شکل ۳-۸ ساختار شبکه عصبی چندلایه [۲۱]

تعداد ورودیها و خروجیها جزء پارامترهای آزاد کاربر نیستند و بر اساس مسئله خاصی که شبکه قرار است آن را حل کند به دست می‌آیند، اما تعداد لایه‌های مخفی، تعداد نرون‌های لایه‌های مخفی و سایر پارامترها (بسته به الگوریتم مورد استفاده) جزء درجه آزادی بوده و باید توسط کاربر بهینه شوند. با توجه به افزایش تعداد درجات آزادی در شبکه‌های چندلایه نسبت به تکلایه، حجم محاسبات و زمان آموزش افزایش می‌یابد. از این رو باید شبکه را تا حد امکان کوچک انتخاب کرد تا از کاهش تاثیر ورودیها روی خروجی در اثر عبور از لایه‌های مختلف اجتناب شود. معمولاً افزایش تعداد لایه‌ها بیش از سه لایه نیز مرسوم نمی‌باشد [۲۶].

۳-۳ شبکه عصبی ویولت

یک شبکه عصبی مصنوعی شامل تعداد زیادی نرون‌های مصنوعی مرتب می‌باشد که با بکارگیری مدل‌های ریاضی یا محاسباتی برای تجزیه و تحلیل اطلاعات بکار می‌روند. در میان شبکه‌های عصبی مصنوعی، پرسپترون چند لایه^۱ همراه با الگوریتم پس انتشار خطأ، رایج‌ترین نوع شبکه عصبی مصنوعی برای موارد واقعی کاربرد است. با این وجود بعلت وجود معایب و کاستی‌هایی که زیر به آن‌ها اشاره می‌گردد، استفاده از پرسپترون چندلایه در موارد واقعی با محدودیت‌هایی همراه می‌باشد.

الف) معایب ناشی از ساختار چندلایه در شبکه عصبی پرسپترون چند لایه

ب) استفاده از تابع تحریک‌های سراسری

پ) کم بودن سرعت الگوریتم یادگیری

بدست آوردن نقطه مینیمم سراسری^۲ در یک فضای جستجوی پیچیده، بسیار وقت گیر می‌باشد، همچنین زمانی که رابطه‌های غیرخطی پیچیده‌ای وجود داشته باشد، امکان عدم همگرایی می‌باشد

. [۳۱]

بهمنظور غلبه بر کاستی‌های شبکه پرسپترون چندلایه، شبکه‌های عصبی ویولت^۳ بهعنوان یک جایگزین برای آن معرفی شده است [۳۲]. بهعلت مزایای شبکه‌های عصبی ویولت بهعنوان تخمین‌گرهای سراسری که در زیر به آن اشاره گردیده است، شبکه‌های عصبی ویولت توجه بیشتری توسط سایر محققین جلب نمود و بصورت وسیع در حل مشکلات واقعی جهان^۴ مانند تشخیص چهره، طبقه‌بندی الگو، پیش‌بینی سری‌های زمانی و... استفاده گردید [۳۳].

- نسبت به سایر شبکه‌های عصبی ساختار و توپولوژی فشرده‌تری دارد

¹ MLP

² Global minimum

³ Wavelet Neural Network

⁴ Real World problem

- تخمین‌گر سراسری
- سرعت یادگیری سریع

موضوعات مختلفی در شبکه‌های عصبی ویولت مورد بررسی قرار می‌گیرد که شامل:

- تنظیم کردن وزن‌ها با استفاده از الگوریتم‌های یادگیری مختلف به منظور تشدید همگرایی شبکه‌های عصبی همگرایی
- اعمال تغییرات در ساختار و معماری شبکه
- استفاده از تابع تحریک‌های مختلف در لایه مخفی بهمنظور پیدا کردن بهترین ویولت مادر
- بهبود پارامترهای تابع ویولت، شامل مقداردهی اولیه مناسب برای پارامترهای جابجایی^۱ و مقیاس

شبکه‌های ویولت یک کاربرد از تجزیه ویولت هستند، تکنیکی که کاربردهای بسیاری در حوزه تحلیل سیگنال مانند تخمین توابع^۲ و یا متراکم سازی داده^۳ دارد. ایده اصلی تجزیه ویولت^۴ عبارت است از گسترش یک سیگنال کلی L^2 به یک سری از توابع می‌باشد که این توابع همگی از تابع ساده $\Psi(x)$ که ویولت مادر نامیده می‌گردد، بدست آمده است [۲۳].

دو روش و رویکرد اصلی برای ساختن شبکه‌های عصبی مبتنی بر ویولت وجود دارد:

- شبکه عصبی و تابع ویولت بصورت جداگانه اجرا می‌شوند، سیگنال ورودی در ابتدا توسط برخی تابع‌های ویولت پایه در نرون‌های لایه مخفی تجزیه می‌گردد و سپس این ضرایب همراه با وزن‌های شبکه عصبی که توسط الگوریتم‌های خاصی بهبود و اصلاح می‌یابند، به لایه خروجی که شامل یک جمع کننده است، راه می‌یابند.

¹ Translation

² Function approximation

³ Data compression

⁴ Wavelet decompositin

- ترکیب هر دو تئوری باهم بدین صورت که پارامترهای ویولت شامل پارامتر انتقال و مقیاس همراه با وزن‌های شبکه عصبی توسط الگوریتم یادگیری خاصی اصلاح می‌گردد. به این نوع شبکه‌های عصبی، شبکه‌های عصبی ویولت گفته می‌شود. شبکه‌های عصبی ویولت اولین بار در سال ۱۹۹۲ توسط ژانگ^۱ و بنونیس^۲ ارائه شدند [۳۶].
- در حالت کلی زمانی که رویکرد اول مورد استفاده قرار گیرد، فقط از پارامترهای مقیاس و جابجایی ویولت مادر در ویولت پایه نرون استفاده می‌گردد. به این نوع شبکه عصبی، ویونت^۳ گفته می‌شود، این شبکه‌ها اولین بار در سال ۱۹۹۳ توسط بکشی^۴ و استفان پلوس^۵ ارائه شده‌اند.

۱-۳-۳ ساختار شبکه عصبی ویولت

شماتیک این نوع شبکه در شکل (۹-۳) آورده شده است. تابع ویولت مادر $\psi(t)$ در زمان (مکان) و فرکانس محلی بوده و می‌توان با توجه به ویژگی‌های مسئله‌ی مورد نظر از توابع ویولت مادر مختلف بهره برد. بنابراین تابع انتقال آمین نرون لایه‌ی مخفی با رابطه‌ی زیر معرفی می‌شود.

$$\psi_{a_j b_j}(t) = \frac{1}{\sqrt{a_j}} \psi\left(\frac{t - b_j}{a_j}\right) \quad j = 1, 2, \dots, p \quad (16-3)$$

در این رابطه b پارامتر انتقال، a پارامتر مقیاس و t زمان است.

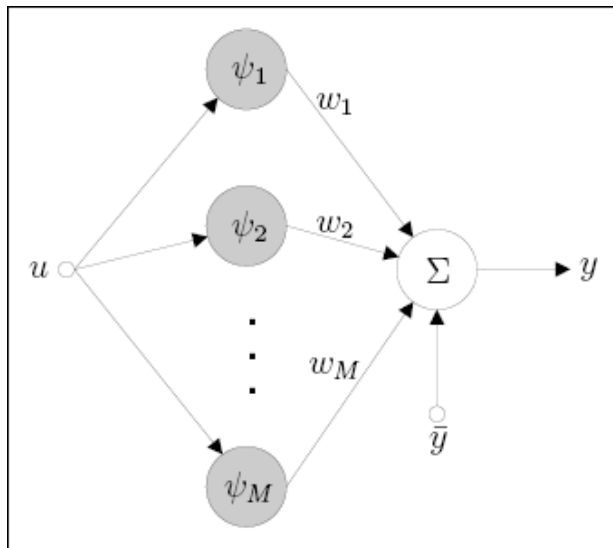
¹Zhang

²Benveniste

³ Wavenet

⁴Bakshi

⁵Stephanopoulos



شکل ۳-۹ شماتیک شبکه عصبی ویولت با یک متغیر ورودی [۲۳]

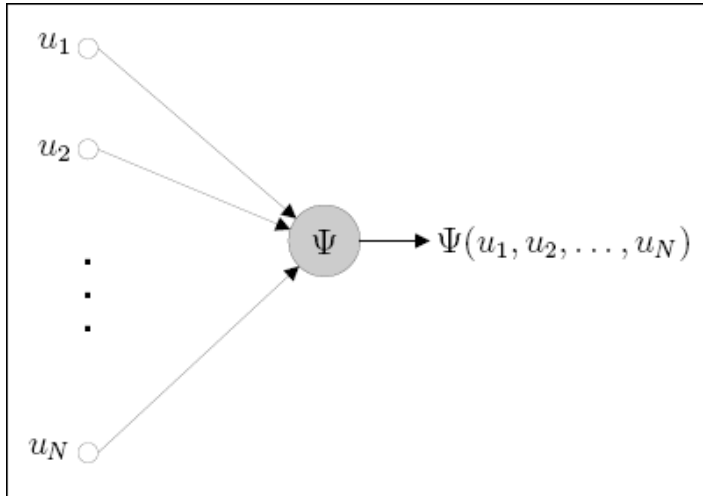
خروجی شبکه برای یک نرون ورودی بصورت زیر می‌باشد:

$$y(u) = \sum_{i=1}^M w_i \Psi_{\lambda_i, t_i}(u) + \bar{y} \quad (17-3)$$

در این رابطه w اوزان شبکه، Ψ تابع ویولت و y مقدار خروجی شبکه عصبی ویولت می‌باشد. اضافه کردن پارامتر λ برای تخمین توابعی که دارای متوسط غیر صفر می‌باشند، لحاظ گردیده است (تابع ویولت دارای متوسط صفر می‌باشند). ، t_i ، w_i و λ همگی طبق الگوریتم یادگیری بهینه می‌گردد. [۲۳]

۲-۳-۳ شبکه عصبی ویولت چندبعدی

زمانی که ورودی شبکه بصورت برداری باشد (بیش از یک ورودی) ویولن‌ها شامل توابع تحریک چندبعدی هستند. شکل ۱۰-۳ فرم یک ویولن را نمایش می‌دهد. در این حالت خروجی ویولن به صورت معادله (۲۰-۳) تعریف می‌گردد.



شکل ۱۰-۳ نمای کلی یک ویولن با چند متغیر ورودی [۲۳]

$$\Psi(u_1, u_2, \dots, u_N) = \prod_{n=1}^N \Psi_{\lambda_n, t_n}(u_n) \quad (18-3)$$

در این رابطه Ψ تابع ویولت، λ پارامتر مقیاس، t پارامتر انتقال و u ورودی شبکه میباشد، همچنین علامت \prod به معنی ضرب توابع ویولت میباشد. خروجی شبکه عبارت است از:

$$y_j = \sum_{i=1}^M \omega_{ij} \Psi_i(u_1, \dots, u_N) \quad j = 1, 2, \dots, K \quad (19-3)$$

بنابراین نقشه ورودی و خروجی شبکه بصورت زیر میباشد.

$$y(u) = \sum_{i=1}^M w_i \Psi_i(u) \quad \text{where } \begin{cases} y = (y_1, \dots, y_K) \\ w_i = (w_{i1}, \dots, w_{iK}) \\ u = (u_1, \dots, u_N) \end{cases} \quad (20-3)$$

۳-۳-۳ آموزش شبکه‌های ویولت

آموزش شبکه‌های عصبی ویولت شامل مینیمم کردن تابع هزینه که بصورت زیر تعریف میگردد، میباشد.

$$j(\theta) = \frac{1}{2} \sum_{n=1}^N (y_p^n - y^n)^2 \quad (21-3)$$

که بردار θ شامل همه پارامترهای شبکه که باید تخمین زده شود، می‌باشد که عبارتند از:

پارامتر انتقال، پارامتر مقیاس، اوزان شبکه. در این رابطه:

- N تعداد داده‌های آموزش
- خروجی شبکه برای داده n ام
- مقدار واقعی متغیر تخمین زده شده می‌باشد.

با توجه بهتابع ویولت بکار برده شده (پیوسته یا گسسته) نحوه آموزش شبکه ویولت باید متفاوت باشد.

۱-۳-۳-۳ رویکرد پیوسته^۱:

در این رویکرد تابع ویولت فرمی معادل زیر دارد.

$$\Psi(\theta) = \frac{1}{\sqrt{a_j}} \psi\left(\frac{t - b_j}{a_j}\right) \quad j = 1, 2, \dots, p \quad (22-3)$$

از آنجا که پارامترهای این نوع شبکه هر مقدار واقعی را می‌توانند دارا باشند، می‌توان آن‌ها را عنوان ضرایب شبکه در نظر گرفت و با روش‌های مبتنی بر گرادیان مانند گرادیان تصادفی آموزش یابند.

۲-۳-۳-۳ رویکرد گسسته^۲

در این رویکرد تابع ویولت فرمی معادل زیر را دارا می‌باشد

¹ The continuous approach

² The discrete approach

$$\Omega_d = \left\{ a^{m/2} \psi(a^m - nB), \quad (mn) \in \mathbb{Z}^2 \right\} \quad (23-3)$$

که α ، β ثابت و از قبل مشخص می‌باشند.

این رابطه نشان می‌دهد که برخلاف رویکرد پیوسته، پارامترهای ویولت نمی‌تواند پیوسته تغییر نماید بنابراین روش‌های مبتنی در گرادیان کاربردی ندارد [۳۷].

۳-۳-۳ آموزش شبکه ویولت با روش مبتنی بر گرادیان

روش پس انتشار خطا معمول ترین روش آموزش برای شبکه‌های جلوسو می‌باشد. که شامل دو مرحله‌ی پیشرو و پسرو محاسبات می‌باشد. مرحله‌ی پیشرو خروجی شبکه و مرحله‌ی پسرو شامل اعمال تصحیحات بر روی ضرایب وزنی با توجه به خطای شبکه می‌باشد . ژانگ و بنونیس [۳۲] برای یادگیری شبکه از روش گرادیان تصادفی استفاده نمودند. در این روش هدف مینیمم کردن تابع خطا می‌باشد که بصورت زیر بیان می‌گردد:

$$C(\theta) = \frac{1}{2} E\{ (y_\theta(u) - f(u))^2 \} \quad (24-3)$$

که در این رابطه خروجی شبکه و مقدار واقعی پارامتر تخمین زده شده و تابع هزینه است. خروجی شبکه عصبی ویولت توسط رابطه ۲۸-۳ به دست می‌آید.

$$y_\theta(u) = \sum_{i=1}^M \omega_i \Psi\left(\frac{u - t_i}{\lambda_i}\right) + \bar{y} \quad (25-3)$$

در این رابطه اوزان شبکه، تابع ویولت، پارامتر مقياس، پارامتر انتقال می‌باشد.

بنابراین میزان گرادیان هر یک از پارامترها عبارت خواهد بود از:

$$\frac{\partial c}{\partial \bar{y}} = e_k \quad (26-3)$$

$$\frac{\partial c}{\partial \omega_i} = e_k \Psi(z_{ki}) \quad (27-3)$$

$$\frac{\partial c}{\partial t_i} = -e_k \omega_i \frac{1}{\lambda_1} \Psi'(z_{ki}) \quad (28-3)$$

$$\frac{\partial c}{\partial \lambda_i} = -e_k \omega_i \left(\frac{u_k - t_i}{\lambda_i^2} \right) \Psi'(z_{ki}) \quad (29-3)$$

در این روابط:

$$\Psi'(z) = \frac{d\Psi(z)}{dz} \quad (30-3)$$

$$z_{ki} = \frac{u_k - t_i}{\lambda_i} \quad (31-3)$$

$$e_k = y_\theta(u_k) - f(u_k) \quad (32-3)$$

- میزان خطای داده شماره k ,

- گرادیان تابع هزینه نسبت به اوزان شبکه،

- گرادیان تابع هزینه نسبت به پارامتر انتقال،

- گرادیان تابع هزینه نسبت به پارامتر مقیاس

الگوریتم آموزش شبکه ویولت با توجه به فرمول‌های ارائه شده به طور خلاصه به شرح زیر می‌باشد:

- مقداردهی اولیه‌ی پارامترهای شبکه با مقادیر تصادفی در بازه‌ی $[0, 1]$

- ارائه‌ی بردار داده‌های آموزشی شامل ورودی‌ها و خروجی مطلوب به شبکه

- محاسبهی خروجی داده‌های آموزش به کمک پارامترهای شبکه
- محاسبهی خطابه کمک خروجی شبکه (Y) و خروجی مطلوب (D)
- محاسبهی مشتقات جزئی خطابه و به روزآوری پارامترهای شبکه
- تکرار مراحل فوق تا برقراری شرط توقف آموزش [۳۸].

۴-۳-۳ مقداردهی اولیه شبکه‌های ویولت

با توجه به آن‌که توابع ویولت میرا می‌باشند،

- تابع ویولت بسیار محلی می‌شود اگر مقادیر پارامتر مقیاس کوچک انتخاب شود.
 - اگر مقادیر انتقال به درستی انتخاب نشود تابع از محدوده مورد نظر خارج می‌شود.
- بنابراین عاقلانه نمی‌باشد که مقادیر اولیه مانند شبکه‌های عصبی با توابع سیگموئیدی به صورت تصادفی انتخاب شود. بنابراین با فرض اینکه هدف تخمین تابع $f(u)$ در بازه $D = (a, b)$ باشد، پارامترهای شبکه شامل w ، t ، و بصورت زیر مقداردهی اولیه می‌گردند.

برابر مقدار متوسط $f(x)$ که قصد تخمین آن را داریم، W برابر صفر قرار داده می‌شود. به

منظور تعیین مقادیر اولیه t و نقطه p را در بازه (a, b) انتخاب می‌کنیم.

$$t_1 = p \quad \lambda_1 = \varepsilon(b - a) \quad \varepsilon > 0$$

این روش را ادامه میدهیم تا تمام مقادیر t و مقداردهی گردند. بطور مثال بعد از انتخاب نقطه p از بازه‌های (a, p) و (p, b) بهتر تیب مقادیر t_2 و t_3 مقداردهی مینماییم [۳۲].

۵-۳-۳ وضع محدودیت برای پارامترهای شبکه عصبی ویولت

ژانگ و بنویس در مقاله خود بهمنظور کمک به نتیجه‌گیری بهتر الگوریتم گرادیان برای پارامترهای شبکه محدودیتهایی قرار دادند. با فرض آن که تخمین در محدوده D انجام می‌شود، قیدهای زیر برای پارامترها وضع می‌شود [۳۲].

۱. ویولتها باید در بازه D و یا نزدیک به آن نگهداشته شوند. بدینمنظور بازه بهصورت

زیر انتخاب می‌گردد.

$$D \subset \varepsilon \subset R \text{ و } t_i \in \varepsilon \forall i$$

۲. ویولتها نباید بیش از حد خاصی فشرده گردند، بنابراین $\epsilon > 0$ را انتخاب می‌گردد تا

$$\lambda_i > \epsilon \forall i$$

۶-۳-۶ توابع انتقال شبکه عصبی ویولت

در این پایاننامه از چهار تابع ویولت گوسین، کلاه مکزیکی، مورلت و شانون استفاده گردیده است و با مقایسه نتایج تخمین میزان TOC با مقادیر واقعی، بهترین تابع ویولت انتخاب گردیده است و به نوعی تابع تحریک شبکه عصبی ویولت را بهینه نمودهایم در ابتدا به معرفی این توابع ویولت میپردازیم.

۳-۳-۱ تابع ویولت مورلت

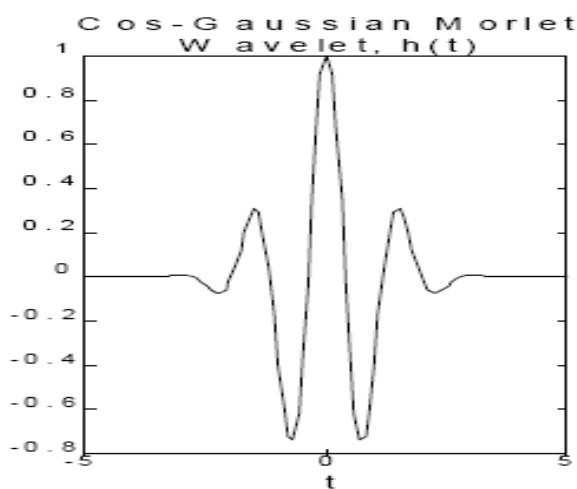
این تابع ویولت از حاصلضرب تابع پایه^۱ فوریه با تابع پنجره گوسین حاصل می‌گردد.

$$h(t) = \exp(j\omega_0 t) \exp(-0.5t^2) \quad (33-3)$$

قسمت حقیقی این تابع از یک تابع کوسینوسی-گوسینی و قسمت موهومی آن از یک تابع سینوسی-گوسینی تشکیل گردیده است. قسمت حقیقی ویولت مورلت که در شبکه عصبی ویولت استفاده می‌گردد بهصورت زیر تعریف می‌گردد. شکل ۱۱-۳ قسمت حقیقی ویولت مورلت را نشان میدهد.

¹ Basis function

$$y = \cos(5x)e^{\frac{-x^2}{2}} \quad (34-3)$$



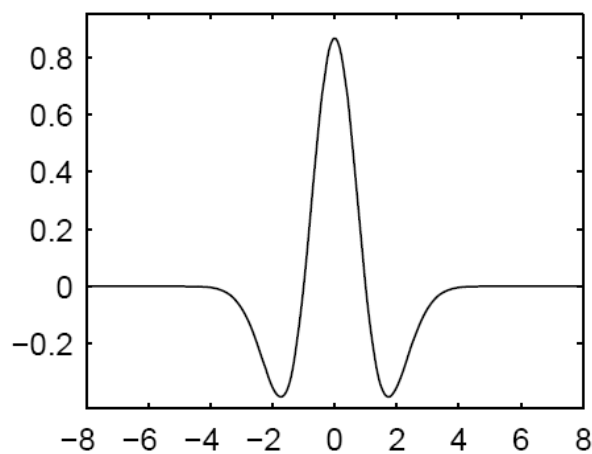
شکل ۱۱-۳ ویولت مورلت [۴۳]

۲-۶-۳-۳ تابع ویولت کلاه مکزیکی

این ویولت از مشتقات تابع گوسین میباشد و بهصورت زیر تعریف میگردد.

ویولت را نشان میدهد

$$y = (1 - x^2) \exp\left(-\frac{x^2}{2}\right) \quad (35-3)$$

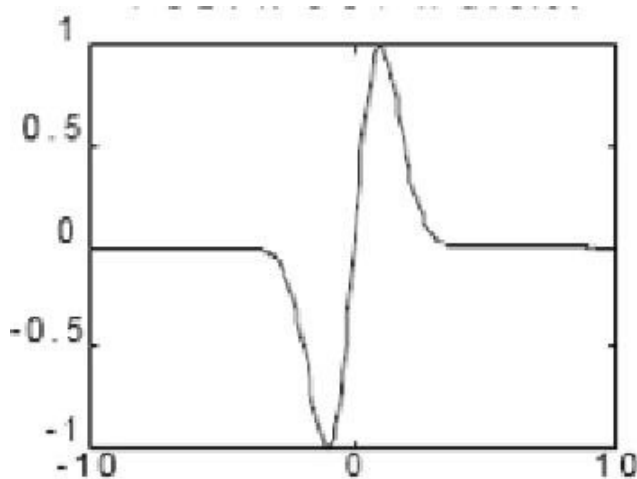


شکل ۱۲-۳ ویولت کلاه مکزیکی [۴۳]

۳-۶-۳ تابع ویولت مشتق گوسین

همانطور که از نام این تابع ویولت مشخص است، این ویولت نیز از مشتقات تابع گوسین میباشد که به صورت زیر تعریف میگردد. شکل ۱۳-۳ شماتیک تابع ویولت مشتق گوسین را نشان میدهد.

$$y = -x e^{\frac{-1}{2}x^2} \quad (36-3)$$



شکل ۱۳-۳ ویولت مشتق گوسین [۴۳]

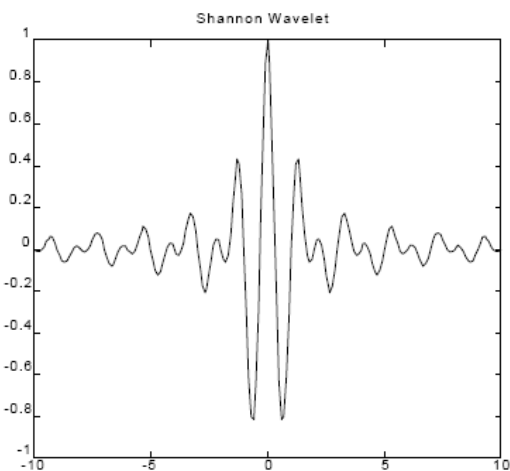
۴-۶-۳ تابع ویولت شانون

ویولت شانون قسمت حقیقی ویولت هارمونیک میباشد که بصورت زیر تعریف میگردد [۲۸]

$$h(t) = \frac{\exp(j4\pi t) - \exp(j2\pi t)}{j2\pi t} \quad (37-3)$$

تابع ویولت شانون بصورت زیر تعریف میگردد. شکل ۱۴-۳ این تابع ویولت را نشان میدهد.

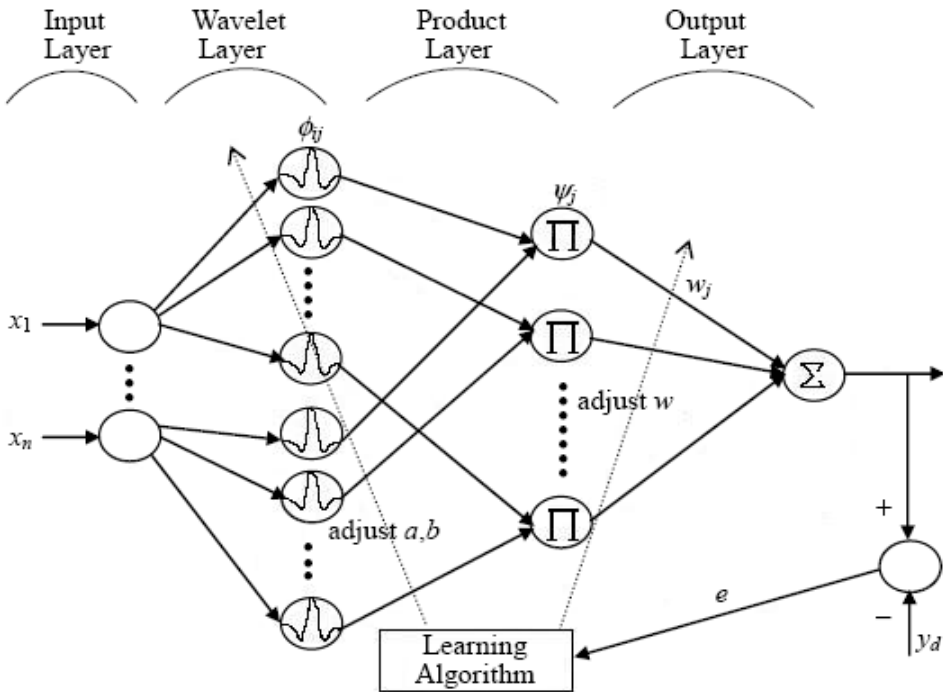
$$h_{shannon}(t) = \frac{\sin 2\pi t - \sin \pi t}{\pi t} \quad (38-3)$$



شکل ۱۴-۳ ویولت شانون [۴۳]

۷-۳-۳ شبکه عصبی ویولت مورد استفاده در پایاننامه

همانطور که در بخش‌های قبل اشاره گردید، ساختار شبکه‌های عصبی ویولت بسیار شبیه شبکه عصبی $(1+1/2)$ لایه‌ای که شامل یک شبکه عصبی پیش‌رو با یک لایه مخفی، یک لایه ورودی و یک لایه خروجی می‌باشد. شکل ۱۵-۳ ساختار شبکه عصبی ویولت مورد استفاده در این پژوهه را نشان میدهد.



شکل ۳-۱۵ ساختار شبکه عصبی ویولت [۳۵]

در لایه مخفی شبکه عصبی ویولت از توابع ویولت استفاده میگردد . تابع ویولت مادر $\psi(t)$ در زمان(مکان) و فرکانس محلی بوده و میتوان با توجه به ویژگی های مسئله مورد نظر از توابع ویولت مادر مختلف بهره برد. بنابراین تابع انتقال زامین نرون لایه مخفی با رابطه زیر معرفی می شود.

$$\psi_{a_j, b_j}(x) = \frac{1}{\sqrt{s_j}} \psi\left(\frac{x - t_j}{s_j}\right) \quad j = 1, 2, \dots, p \quad (39-3)$$

این رابطه برای زمانی که ویولت دارای یک ورودی است، صادق میباشد ولی در عمل شبکه عصبی دارای بیش از یک ورودی میباشند. در این موارد خروجی نرون به صورت زیر استفاده میگردد .

$$\Psi(u_1, u_2, \dots, u_N) = \prod_{n=1}^N \Psi_{s_n, t_n}(u_n) \quad (40-3)$$

در شبکه عصبی ویولت اوزان در لایه ورودی همواره یک در نظر گرفته میشود و فقط اوزان لایه مخفی و لایه خروجی در فرایند آموزش شبکه بهینه میگردند . بنابراین در یک شبکه عصبی ویولت پارامترهایی که باید بهینه گردند عبارتند از:

- پارامترهای انتقال توابع ویولت
- پارامترهای مقیاس توابع ویولت
- اوزان شبکه عصبی

بر اساس ساختاری که ارائه گردید هریک از پارامترهای شبکه بهصورت زیر بهینه میگردد . با در نظر گرفتن خروجی و میزان خطای شبکه عصبی ویولت بصورت زیر:

$$y_j = \sum_{i=1}^M \omega_{ij} \Psi_i(u_1, \dots, u_N) \quad j = 1, 2, \dots, K \quad (41-3)$$

$$E(j) = \frac{1}{2} \{ (y_j(u) - y_j^d(u))^2 \} \quad (42-3)$$

$$W_j(t+1) = W_j + \Delta W_j \quad (43-3)$$

$$t_{ij}(t+1) = t_{ij} + \Delta t_{ij} \quad (44-3)$$

$$s_{ij}(t+1) = s_{ij} + \Delta s_{ij} \quad (45-3)$$

$$\Delta W = -\rho \frac{\partial E}{\partial W} = -\rho \frac{\delta E}{\delta y} \frac{\delta y}{\delta W} \quad (46-3)$$

$$\Delta t = -\rho \frac{\delta E}{\delta t_{ij}} = -\rho \frac{\delta E}{\delta y_j} \frac{\delta y_j}{\delta \psi_j} \frac{\delta \psi_j}{\delta \phi_{ij}} \frac{\delta \phi_{ij}}{\delta t_{ij}} \quad (47-3)$$

$$\Delta s = -\rho \frac{\delta E}{\delta s_{ij}} = -\rho \frac{\delta E}{\delta y_j} \frac{\delta y_j}{\delta \psi_j} \frac{\delta \psi_j}{\delta \phi_{ij}} \frac{\delta \phi_{ij}}{\delta s_{ij}} \quad (48-3)$$

در این روابط y میزان خروجی شبکه ویولت، E میزان خطای شبکه، Ψ تابع ویولت خروجی تخمین، W اوزان شبکه عصبی ویولت، t پارامتر انتقال، s پارامتر مقیاس، ϕ تابع ویولت خروجی ویولن و ρ میزان گام برای اصلاح پارامترها میباشد.

فصل چهارم

نتایج و بحث

۱-۴ مقدمه

در این فصل نتایج تخمین TOC در سازند شیلی کوکاتیا از حوزه‌ی رسوی پرت به روش‌های شبکه عصبی چند لایه MLP و شبکه عصبی ویولت که در فصول قبل معرفی گشته‌اند، ارائه می‌گردد. در ابتدا مجموعه داده‌های مورد استفاده معرفی و فرآیند آماده سازی آنها شرح داده خواهد شد.

در این پایان نامه برنامه‌ی شبکه‌ی عصبی ویولت به ازای توابع مختلف انتقال با توجه به ساختار و الگوریتم آموزش مورد استفاده در محیط مطلب نگارش شده است. همچنین از دستورهای نرم افزار مطلب برای شبکه عصبی چند لایه استفاده گردیده است.

۴-۲ داده‌های در دسترس

از مجموع چاههایی که در حوزه‌ی رسوی پرت دارای چاه نگارهای پتروفیزیکی میباشند، تعداد ۶ چاه دارای داده‌های TOC مغزه‌ی مربوط به لایه شیلی کوکاتیا و نگارهای پتروفیزیکی مناسب میباشند. در جدول ۱-۴ تعداد مغزه موجود مربوط به هر چاه را نشان میدهد. لازم به ذکر است که اغلب داده های TOC از آنالیز خرددهای حفاری در فواصل معین و همچنین نمونههای دیواری^۱ به دست آمده است و تمام چاههای انتخاب شده قادر مغزههای رایج میباشند.

جدول ۱-۴ اطلاعات مربوط به لایه شیل گازی کوکاتیا و تعداد و نوع و تعداد نمونهها

| Well name | Kockatia layer top / thickness | No. of Sample | Sample type | Total no of Sample in well |
|----------------|--------------------------------|---------------|--------------------------------|----------------------------|
| Batavia-1 | 2318 / 448 | 23 | Drilling cutting-sidewell core | |
| Diamond soak-1 | 827 / 227 | 8 | Drilling cutting-sidewell core | 20 |
| Leander Reef-1 | 2468 / 370 | 26 | Drilling cutting-sidewell core | 35 |
| Robb-1 | 954 / 430 | 2 | Drilling cutting-sidewell core | 15 |
| Wittcarra-1 | 2465 / 300 | 30 | Drilling cutting-sidewell core | >50 |
| Wonner up-1 | 3586 / 518 | 4 | Drilling cutting-sidewell core | ~50 |

۳-۴ انتخاب داده‌های آموزشی

مجموعه‌ی آموزشی شامل تعدادی از موارد تحقق یافته است که مقادیر جواب هر یک از آنها معلوم است. انتخاب یک مجموعه آموزشی مناسب که دامنه‌ی وسیعی از حالات تحقق یافته را در بر گیرد از اهمیت زیادی برخوردار است: زیرا کیفیت عملکرد نهایی شبکه تابع مثالهای آموزشی بکار رفته در

¹ Side well corring

آموزش آنها است، به عبارت دیگر مجموعه داده‌های آموزشی میبایستی از تمام دامنه مقادیر متغیرها انتخاب شوند.]^{۳۹}

۴-۴ آماده سازی داده‌های ورودی

در بیشتر موارد بهترین وضعیت برای شبکه‌های عصبی هنگامی است که تمام ورودیها و خروجیها مقادیری بین صفر و یک داشته باشند.

۱-۴-۴ داده‌های پیوسته

بعضی از متغیرها مانند مقادیر چاهنومدارهای پتروفیزیکی می‌توانند مقادیر پیوسته‌ای بین دو حد بالا و پایین اختیار کنند. برای داده‌های پیوسته، با کم کردن حد پایین از مقدار متغیر و تقسیم آن بر دامنه تغییر می‌توان مقادیر نرمالیزه شده را بدست آورد. پس از ساخت مدل شبکه عصبی و انجام پیش‌بینی‌های جدید، لازم است خروجی‌ها را به مقیاس اصلی خویش بازگرداند] [۳۹. فرمول مورد استفاده جهت نرمال‌سازی داده‌ها به شرح زیر می‌باشد، که داده‌ها را در بازه [۰، ۱] می‌نگارد.

$$y = \frac{x - \min}{\max - \min} \quad (1-4)$$

۲-۴-۴ تعریف خطای

برای محاسبه خطای شبکه‌ی عصبی از فرمول MSE که به صورت زیر بیان می‌گردد، استفاده می‌کنیم.

$$mse = \frac{1}{n} \left(\sum_{i=1}^n y_{actual} - y_{estimated} \right)^2 \quad (2-4)$$

در این رابطه y نشان دهنده مقدار خروجی واقعی و y_{est} نشان دهنده مقدار خروجی محاسبه شده میباشد.

۴-۳-۴ اطلاعات آماری دادهها

اطلاعات آماری دادهای TOC مغزه و نگارهای پتروفیزیکی در جدول ۲-۴ آورده شده است.

جدول ۲-۴ اطلاعات آماری دادهها

| نوع نگار | تعداد | مینیمم | ماکزیمم | متوسط | انحراف معیار |
|--------------|-------|--------|---------|--------|--------------|
| LLD (OHM) | 92 | 3.58 | 27.613 | 10.36 | 24.13 |
| Gama (GAPI) | 92 | 49.32 | 182.735 | 144.72 | 505.58 |
| DT (US-FT) | 92 | 62.06 | 107.47 | 78.85 | 70.72 |
| ROHB (.G-CC) | 92 | 2.249 | 2.79 | 2.63 | 0.01 |
| NPHI (.PU) | 92 | 14.26 | 41.04 | 26.77 | 40.11 |
| TOC (W%) | 92 | 0.14 | 0.81 | 0.43 | 0.027 |

۵-۴ رابطه TOC و نگارهای چاهپیمایی

پارامتر TOC از خواص سنگ است و رابطه منطقی میان نگارهای مختلف مانند نگارهای نوترون، صوتی، چگالی، مقاومت وجود دارد.

۱-۵-۴ نگار گاما^۱

ارزیابی شیلی بودن سازند توسط این نگار انجام میشود. گاهی از نگار SP^۲ نیز برای این هدف استفاده میشود. دو عنصر رادیواکتیو پتابسیم و توریم در شیل ها دیده میشود، از طرفی سازندهای ماسه سنگی و کربنات های بدون شیل (سازندهای تمیز) دارای مقادیر کمتری از این دو عنصرند. در نگار گاما به دلیل فراوانی عناصر ناپایدار، رادیواکتیویته مشخصی دیده میشود. این نگار که میزان کل رادیواکتیویته سازند را نشان می دهد برای تمایز سازندهای حاوی هیدروکربن و سازندهای شیلی

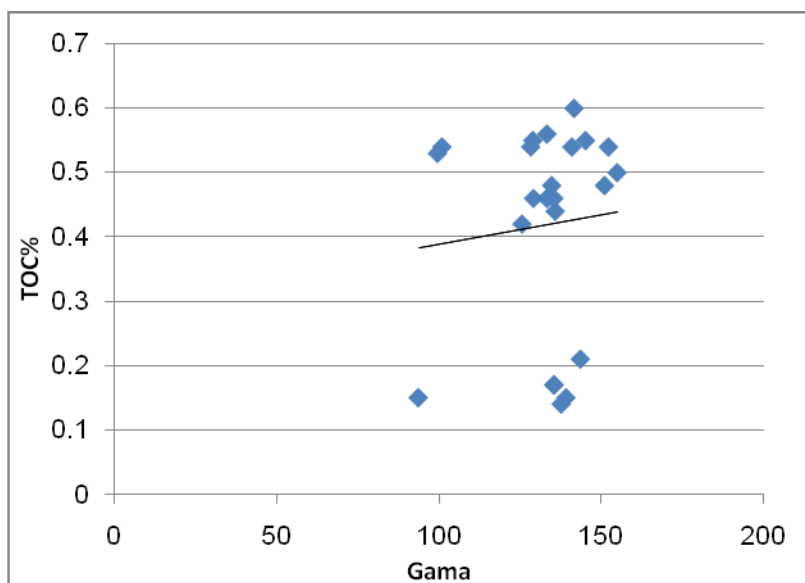
¹ Gama ray Log

² Spontaneous potential log

مورد استفاده قرار می‌گیرد. از این نگار می‌توان برای تعیین لیتولوژی مانند شناخت رس‌ها، نمک‌های تبخیری و کانی‌های سنگین پرتوزا استفاده نمود. این نگار برای ارزیابی درصد رس موجود در مخزن نیز قابل استفاده می‌باشد [۴۰].

سنگهای غنی از مواد آلی معمولاً دارای رادیواکتیو بالا می‌باشد. این به معنی بالا بودن میزان گاما در این سنگها نسبت به سایر شیل‌های غیر مرجع و سنگ‌های آهکی است [۷]. یک رابطه مثبت میان پاسخ نگار گاما و میزان TOC موجود در سنگ وجود دارد [۳]. این رابطه عمده‌تاً بعلت غنی بودن مواد آلی از اورانیوم که خود ناشی از جذب یونهای اورانیوم موجود در آب دریا توسط پلانکتونها^۱ است، می‌باشد [۷].

با این وجود گاهی ممکن است میزان TOC مستقل از میزان اورانیوم و گاما باشد. در محیط‌های دریایی محدود گاهی میزان اورانیوم با کاهش تدریجی اکسیژن کاهش یابد در حالی که میزان TOC در رسوبات افزایش می‌یابد. در نتیجه نگار گاما میزان کمتری نسبت به آنچه انتظار می‌رود، نشان میدهد [۵]. در شکل ۱-۴ رابطه نگار گاما و TOC در یکی از چاههای نشان داده شده‌است.



شکل ۱-۴ رابطه میان نگار چاهپیمایی گاما و میزان محتویات کربن آلی

¹ plankton

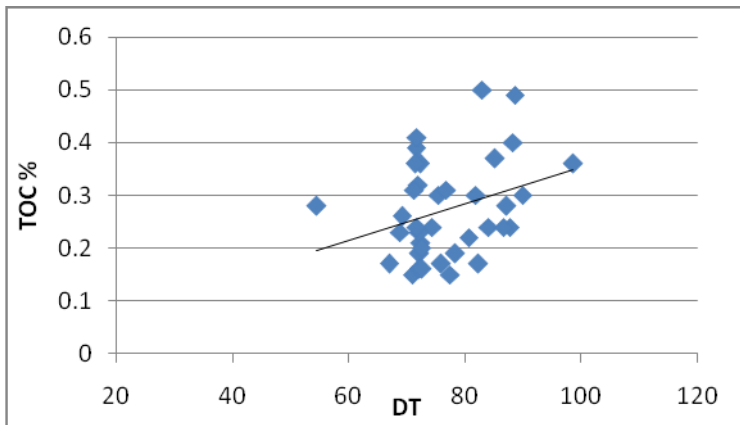
۲-۵-۴ نگار صوتی^۱

این نگار یکی از مهمترین نگارهای چاهپیمایی در ارزیابی سازندهاست . این نگار نشان دهنده زمان انتشار موج در داخل چاه و سازند است . ابزارهای نگارهای چاهپیمایی صوتی سنتی، سرعت رفت و برگشت موج طولی را اندازه می‌گیرند که به این زمان، زمان انتشار^۲ (Δt) گفته می‌شود که بر حسب میکروثانیه بر فوت $\frac{\mu\text{sec}}{\text{ft}}$ بیان می‌شود [۴۰]. سرعت صوت به تخلخل و ماهیت سیال موجود در خلل و فرج سنگ نیز بستگی دارد:

- هر جه تخلخل افزایش یابد، در صورت ثابت بودن بقیه پارامترها، سرعت کاهش می‌یابد.
 - معمولاً پذیرفته می‌شود که در تخلخل و خمیره مشخص، اگر آب توسط نفت و نفت توسط گاز جایگزین شود، سرعت کاهش پیدا می‌کند.
- مواد آلی موجود در سنگ دارای چگالی کمتری نسبت به ماتریکس سنگ میباشد . در نتیجه با افزایش میزان TOC مقدار زمان گذر موج افزایش مییابد . بنابراین یک رابطه مثبت میان نگار صوتی و میزان TOC وجود دارد [۴۱] (شکل ۲-۴).

¹ Sonic Log

² Transit Time



شکل ۲-۴ رابطه میان نگار چاهپیمایی صوتی و میزان کل محتویان کربن آلی

۳-۵-۱ نگار چگالی^۱

این نگار، چگالی سازند را نشان می دهد. اگر چگالی ماتریس مشخص باشد می توان تخلخل را با استفاده از چگالی اندازه گیری شده (ρ_m) و از رابطه (۳-۴) محاسبه نمود [۴۰].

$$\varphi = \frac{\rho_{mat} - \rho_b}{\rho_{mat} - \rho_f} \quad (3-4)$$

که در آن ρ_f میانگین چگالی سیالات موجود در فضاهای خالیست. ρ_{ma} برای تعدادی از سنگها و سیالات در جداول ۳-۴ نشان داده شده است.

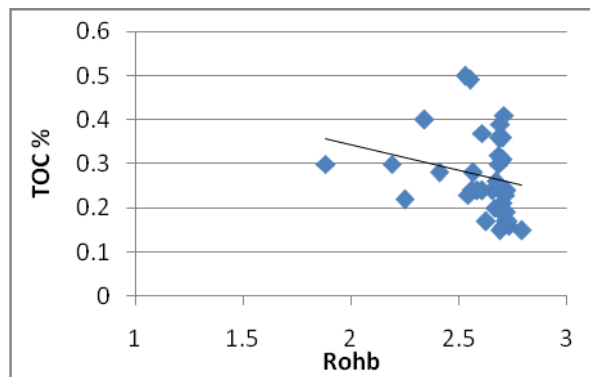
جدول ۳-۴ چگالی تعدادی از سنگها و سیالات

| آب شور | آب تازه | نفت | انیدرایت | دولومیت | آهک | نوع سنگ | ماسهسنگ | چگالی |
|--------|---------|-----|----------|---------|------|---------|---------|-------|
| 1.1 | 1.0 | 0.9 | 2.98 | 2.87 | 2.71 | 2.65 | | |

همانطور که اشاره گردید نگار چگالی، چگالی کلی سنگ را که شامل ماتریکس سنگ و سیال داخل آن میگردد را اندازه گیری مینماید. مواد آلی موجود در سنگ چگالی کمی دارند و چون این مواد آلی

¹ Density Log

جامد جزء ماتریکس سنگ میباشد در نتیجه باعث کاهش مقدار چگالی اندازه‌گیری شده توسط نگار چگالی میگردد [۳]. در شکل ۴-۳ این رابطه برای یکی از چاهها نشان داده شده است.

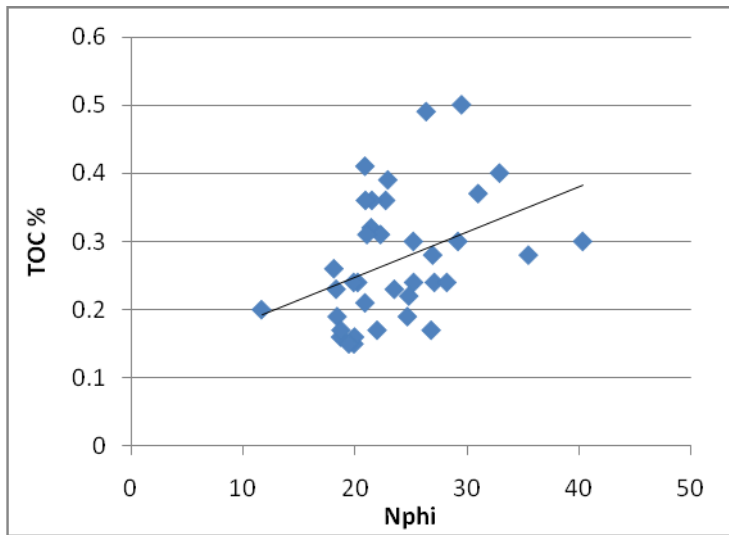


شکل ۴-۳ رابطه میان نگار چگالی و میزان کل محتویات کربن آلی

۴-۵-۴ نگار نوترون^۱

این نگار بر مبنای چگونگی پراکندگی نوترون‌ها در اثر برخورد با هسته اتم‌ها در سازند بنا شده است. سازندهایی با محتوای هیدروژن فراوان، تمرکز کمی از نوترون‌ها را نشان می‌دهند و بالعکس. قطر چاه، دما، شوری گل، گل کبره، فشار سازند و شوری آب از عوامل اثر گذار روی نگار نوترون می‌باشند. وجود گاز یا شیل نیز از دیگر عوامل اثر گذار روی این نگار چاه پیماییاند. معمولاً این نگار با نگار چگالی به داخل چاه فرستاده می‌شود که هر دوی آن‌ها برای مشخص ساختن نوع سنگ و تخلخل کاربرد زیادی دارند. میزان فاصله میان نمودارهای نوترون و چگالی می‌تواند مشخص کننده سنگ شناسی سازند باشند [۴۰]. وجود مواد آلی در سنگ بعلت غنی بودن این مواد از هیدروژن باعث افزایش میزان نگار نوترون میگردد. بنابراین میزان TOC رابطه مستقیم با نگار نوترون دارد.

^۱ Neutron Log



شکل ۴-۴ رابطه میان نگار چاهپیمایی نوترون و میزان کل محتویان کربن آلی

۴-۵-۵ نگار مقاومت ویژه^۱

برای محاسبه درجه اشباع هیدرولیک، ابتدا باید درجه اشباع آب محاسبه گردد . مقاومت ویژه سازند، مقاومت آنرا در برابر عبور جریان الکتریکی نشان می دهد. ابزارهای مورد استفاده اندازه گیری مقاومت ویژه بر اساس عمق نفوذشان به صورت زیر قابل تفکیک اند [۴۰].

- مقاومت ویژه عمیق برای زون دست نخورده؛ ابزارهای کم عمق برای زون انتقالی؛

مقاومت ویژه میکرو برای زون آغشته.

ابزارهای معمول اندازه گیری عبارتند از : لاترولوگ دوتایی^۲؛ ابزار القایی دوتایی^۳؛ نگار ریزکروی کانونی^۴؛ میکرولوگ^۵.

همانطور که اشاره شد نگار مقاومت ویژه بصورت غیرمستقیم میزان مقاومت سنگ را در برابر جریان الکتریسیته بیان میکند . وجود مواد آلی در سنگ بعلت عدم رسانایی باعث افزایش میزان

¹ Resistivity Log

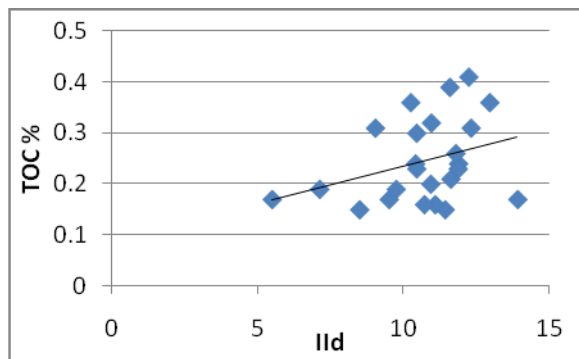
² Dual laterolog

³ Dual Induction Tool

⁴ Micro Spherically Focused Log

⁵ Microlog

مقاومت سنگ میگردد [۳]. (شکل ۴-۵) با این وجود برخلاف دیگر لاغهای تخلخل رابطه بین TOC و نگار مقاومت ویژه، ساده نمیباشد [۵].



شکل ۴-۵ رابطه میان نگار چاهپیمایی مقاومت و میزان کل محتویات کربن آلی

۶-۴ همبستگی پارامتر TOC با نگارهای پتروفیزیکی در چاههای مورد مطالعه

برای بررسی رابطه میان TOC و نگارهای پetrofیزیکی و انتخاب دادههای ورودی مدلهای تخمین گر، در ابتدا ضرایب همبستگی بین نگارهای مختلف و پارامترها TOC تعیین میشود. ضرایب همبستگی میان هر یک از نگارها و TOC بصورت جداگانه تعیین میگردد و سپس در یک ماتریس که ماتریس همبستگی نامیده میشوند ارائه میگردد. ضریب همبستگی اعداد بین مثبت و منفی یک میباشد که عدد یک بیانگر بیشترین ارتباط معکوس است و هر چه این عدد به سمت صفر نزدیکتر شود، از این ارتباط کاسته میشود. جدول ۴-۴ ماتریس ضریب همبستگی میان نگارهای ورودی شبکه و پارامتر TOC نشان میدهد.

جدول ۴-۴ ماتریس ضریب همبستگی میان نگارهای پetrofیزیکی و میزان محتویات کل کربن آلی

| DT | Gama | LLD | Nphi | Rohb | TOC% | DT |
|---------|---------|---------|---------|---------|---------|------|
| 1 | -0.0043 | -0.5532 | 0.6322 | -0.6325 | 0.3799 | Gama |
| -0.0043 | 1 | 0.0915 | -0.0287 | 0.2884 | -0.1669 | LLD |
| -0.5532 | 0.0915 | 1 | -0.1964 | 0.2541 | 0.0454 | Nphi |
| 0.6322 | -0.0287 | -0.1964 | 1 | -0.3921 | 0.2875 | Rohb |
| -0.6325 | 0.2884 | 0.244 | -0.3921 | 1 | -0.7818 | TOC% |
| 0.3799 | -0.1669 | 0.0454 | 0.2875 | -0.7818 | 1 | |

۷-۴ تخمین TOC به کمک شبکه عصبی چندلایه

۱-۷-۴ مراحل ساخت مدل شبکه عصبی

مراحل ساخت یک مدل شبکه عصبی به منظور تخمین عبارتند از
۱- شناخت متغیرهای ورودی و خروجی ۲- تبدیل مقادیر ورودی و خروجی در بازه صفر و یک ۳- انتخاب هندسه و ساختار مناسب برای شبکه عصبی ۴- آموزش با داده‌های آموزشی معرف ۵- آزمودن شبکه با داده‌های مستقل از مجموعه آموزشی

۲-۷-۴ انتخاب نگارهای ورودی شبکه عصبی

انتخاب نوع و تعداد پارامترهای ورودی جهت آموزش شبکه، در عملکرد شبکه نقش بسزایی دارد. در ابتدا نقش نگارهای در دسترس برای تخمین TOC سنجیده می‌شود. در جدول ۵-۴ ضریب همبستگی هر یک از نگارها نسبت به TOC برای کل داده‌ها آورده شده است. در جدول ۶-۴ ضریب همبستگی این چاه نگارها نسبت به TOC برای هر چاه جداگانه آورده شده است. فقط در مورد چاههای ونراپ، دایموند سک و راب بعلت کم بودن تعداد داده‌ها، ضریب همبستگی این سه چاه با هم سنجیده گردیده است.

جدول ۵-۴ ضریب همبستگی TOC با نگارهای پتروفیزیکی تمام چاهها

| | DT | GAMA | LLD | NPHI | ROHB | TOC% |
|------|--------|---------|--------|--------|---------|------|
| TOC% | 0.3799 | -0.1669 | 0.0454 | 0.2875 | -0.7818 | 1 |

جدول ۶-۴ ضریب همبستگی TOC و نگارهای پتروفیزیکی برای هر چاه

| | DT | Gama | LLD | Nphi | Rohb | TOC% | Well name |
|------|---------|---------|---------|---------|---------|------|----------------|
| TOC% | -0.2430 | 0.0895 | 0.46 | 0.1171 | -0.5865 | 1 | Batavia-1 |
| TOC% | 0.1704 | 0.065 | 0.3659 | 0.1957 | -0.7953 | 1 | Leander Reef-1 |
| TOC% | -0.0609 | -0.2955 | -0.0661 | 0.0155 | -0.7992 | 1 | Wittcarra1 |
| TOC% | 0.5172 | -0.0572 | -0.5825 | -0.4436 | -0.9325 | 1 | Wo-Dia-Ro |

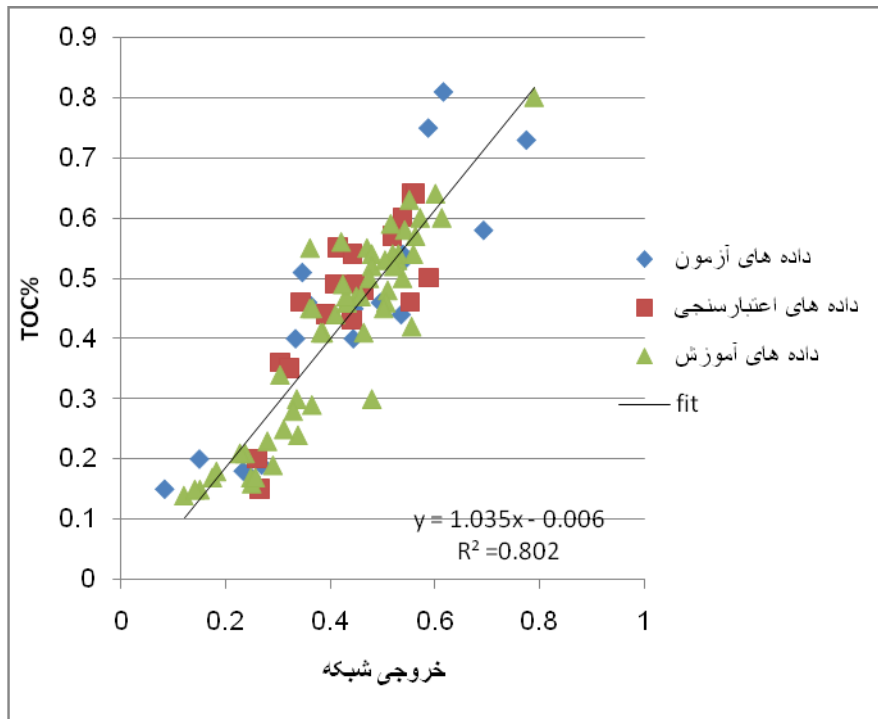
همانطور که مشاهده میگردد همبستگی پایین میان نگارها و پارامتر TOC وجود دارد که ممکن است عمدتاً ناشی از خطأ در تخمین میزان TOC نمونه مغزهها باشد. همانطور که قبلًا اشاره گردید و در جدول ۴-۱ نیز آورده شده است. همه‌ی داده‌های TOC از آنالیز راک-اول خردهای حفاری و نمونه گیری دیواری میباشد.

با توجه به اختلاف زیاد ضریب همبستگی نگارهای چاه پیمایی در چاهها، انتخاب یک چاه به عنوان داده‌های اعتبارسنجی، باعث عدم آموزش شبکه برای تمام دامنه مقادیر متغیرها میگردد. بنابراین داده‌های آموزش، تست و اعتبار سنجی به صورت تصادفی از میان تمام داده‌های چاهها انتخاب گردیده است.

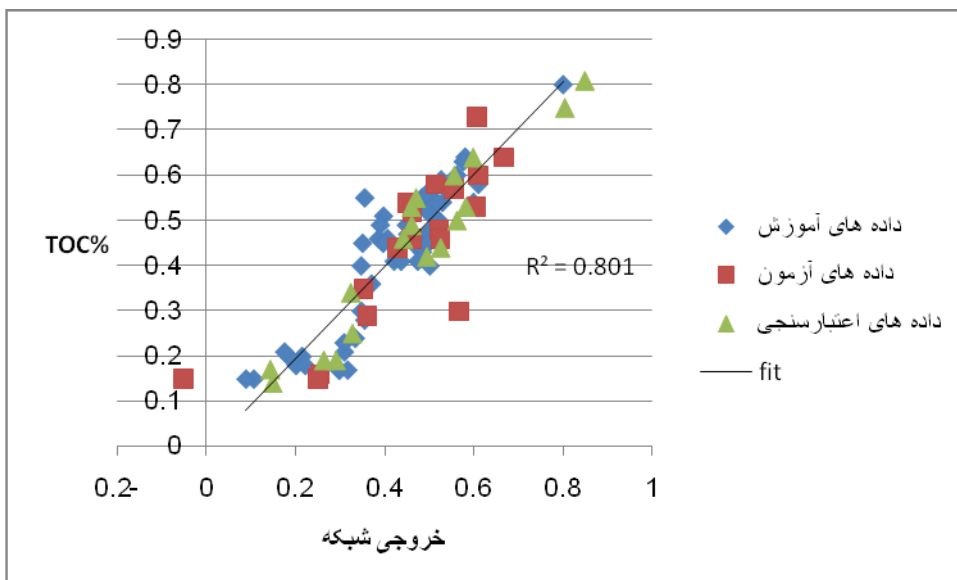
نگارهای DT و TA حدی Nphi دارای بالاترین ضریب همبستگی با مقادیر TOC مغزه میباشند. با توجه به اینکه انتظار میروند بیشترین سهم در مدل سازی تغییرپذیریهای TOC متعلق به این سه نگارها باشد، در مرحله اول آنها به عنوان ورودی شبکه انتخاب گردیدند. در مرحله بعد نگار گاما به مجموعه ورودیها افزوده گردید و در مرحله آخر تمام نگارها به عنوان ورودی شبکه انتخاب گردیدند. در همه‌ی حالات TOC مغزه به عنوان خروجی شبکه عصبی بوده است. بهترین پاسخها از شبکه جلوسو و پس انتشار خطأ با دو لایه پنهان و بهترتبی دارای ۱۵ و ۵ نرون به دست میآید. در جدول ۷-۴ و شکلهای ۶-۴، ۷-۴ و ۸-۴ نتایج حاصل آورده شده است.

جدول ۷-۴ مقایسه نتایج تخمین میزان TOC در شبکه عصبی چندلایه با درنظر گرفتن ورودیهای متفاوت

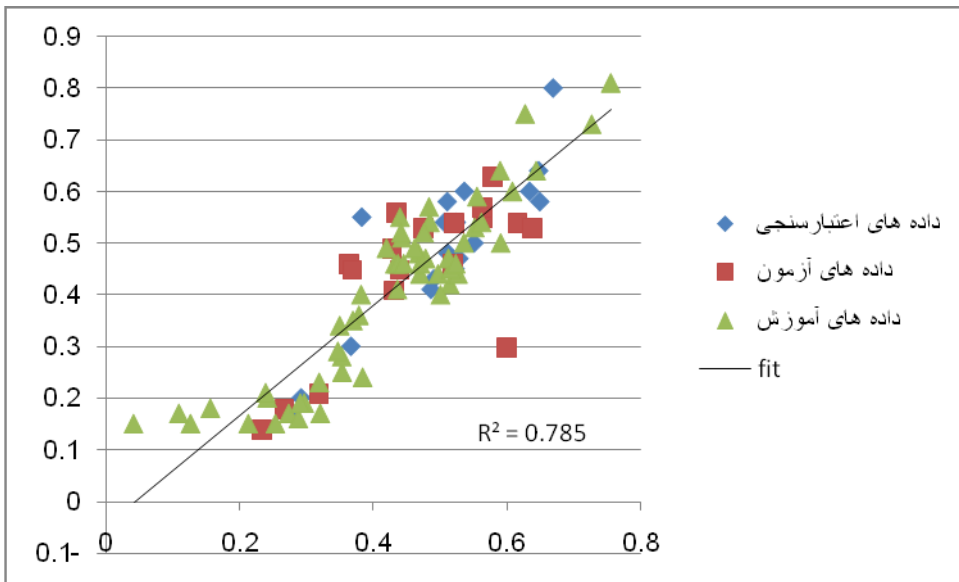
| MSE | ضریب رگرسیون تمام داده ها | ضریب رگرسیون داده های اعتبار سنجی | ضریب رگرسیون داده های آزمون | ضریب رگرسیون داده های آموزش | نگارهای ورودی |
|--------|---------------------------|-----------------------------------|-----------------------------|-----------------------------|-----------------------|
| 0.0027 | 0.802 | 0.829 | 0.782 | 0.836 | همه |
| 0.0035 | 0.801 | 0.914 | 0.681 | 0.808 | DT, Rohb, Nphi |
| 0.0059 | 0.785 | 0.759 | 0.517 | 0.845 | DT, Rohb, Gama و Nphi |



شکل ۶-۶ نمودار متقطع ضریب رگرسیون میان TOC واقعی و تخمین زده برای حالتی که تمام نگارهای موجود بعنوان ورودی شبکه عصبی در نظر گرفته شود



شکل ۶-۷ نمودار متقطع ضریب رگرسیون میان TOC واقعی و تخمین زده برای حالتی که نگارها صوتی، نوترنون و چگالی بعنوان ورودی شبکه عصبی در نظر گرفته شود



شکل ۸-۴ نمودار متقطع ضریب رگرسیون میان TOC واقعی و تخمین زده برای حالتی که نگارهای صوتی، چگالی، نوترон و گاما بعنوان ورودی شبکه عصبی در نظر گرفته شود

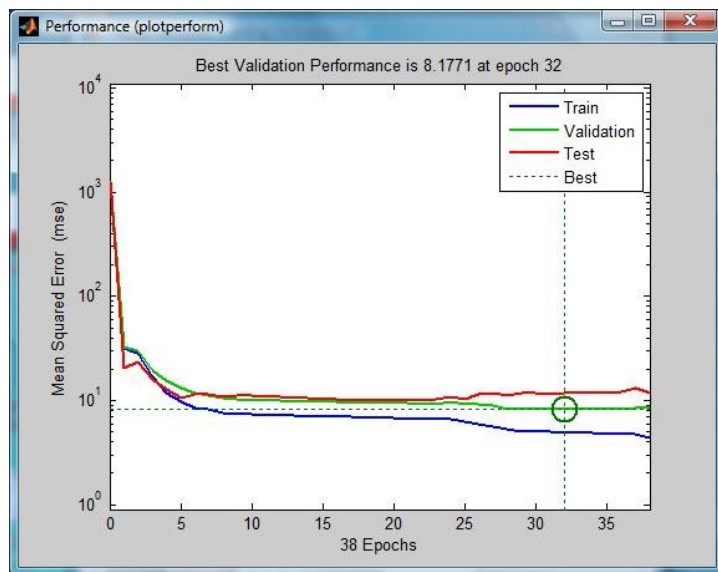
همانطور که پیشتر رابطه میان TOC و نگارهای پتروفیزیکی شرح داده شده است، تمام نگارهای DT, Rohb, TOC, مؤثر واقع گردند ولی ظاهرا فقط دو نگار بهترین بخش اعظم تغییرپذیری TOC را با توجه به ضریب همبستگی مدل میکنند. با این وجود بهترین نتیجه زمانی بدست آمده است که از تمام دادههای در دسترس جهت ایجاد مدل استفاده گردد. چرا که این امر منجر به افزایش دقت مدل و افزایش قدرت تعمیم پذیری آن میگردد.

۳-۷-۴ تخمین نگارهای چگالی و نوترон با استفاده از شبکه عصبی

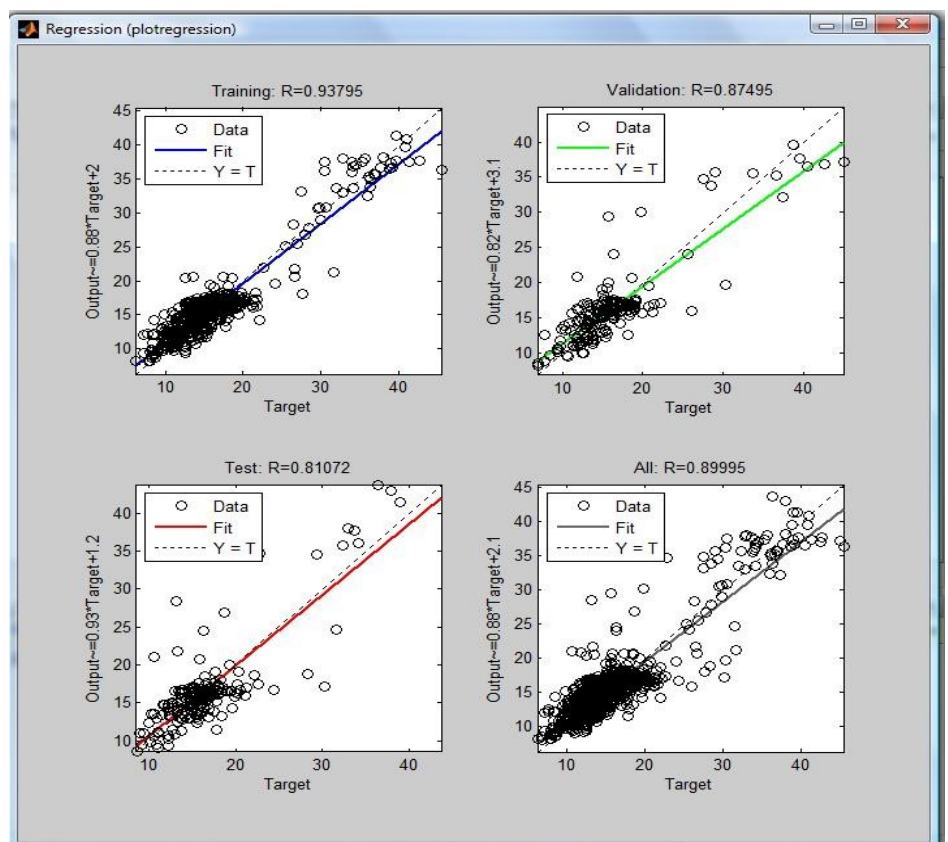
در دو چاه راب و ونآپ برای تمام طول لایه کوکاتیا شیل مقادیر نگارهای چگالی و نوترон موجود نمیباشد. قبل از تخمین مقادیر TOC در این دو چاه، این دو نگار پتروفیزیکی با استفاده از شبکه عصبی تخمین گردید. برای این منظور نگارهای صوتی، مقاومت و گاما بعنوان ورودی شبکه عصبی و نگارهای چگالی و نوترон بصورت جداگانه به عنوان خروجی شبکه برای هر چاه در نظر گرفته شد. الگوریتم آموزشی لونبرگ-مارکوارت برای بهینه کردن اوزان شبکه و تعداد نرونهای لایههای میانی

استفاده گردیده است. تعداد لایه های میانی بهینه به کمک دستور حلقه for انتخاب گردیده است. در

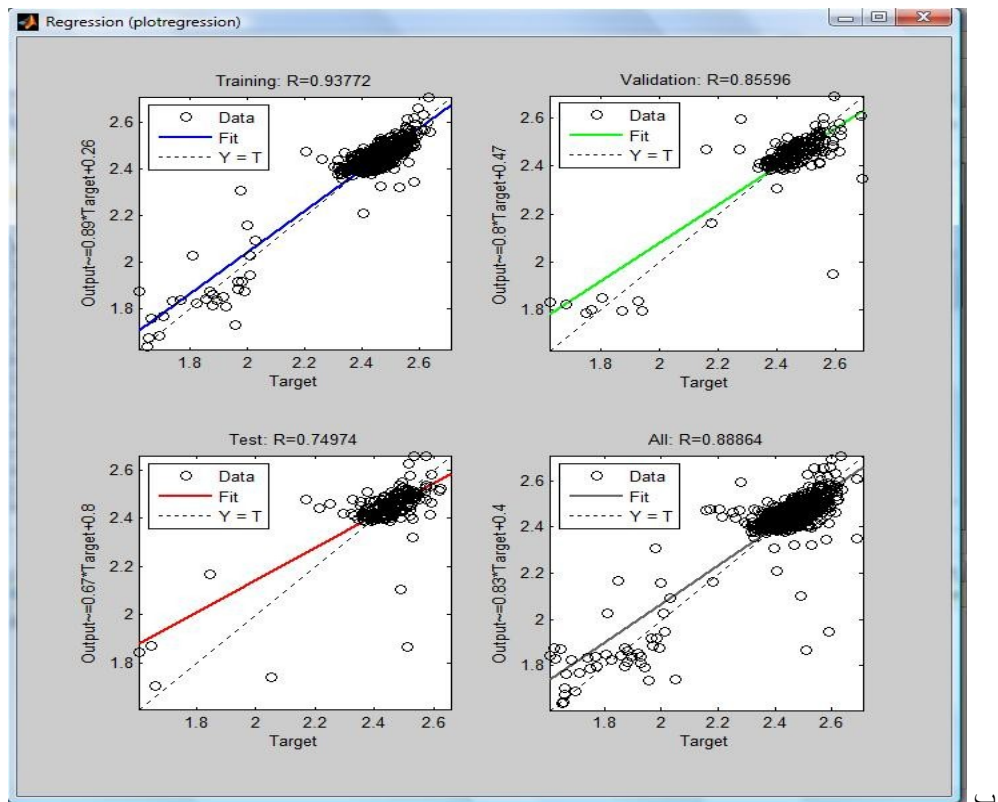
ادامه نتایج تخمین این دو نگار با استفاده از شبکه عصبی در شکل های ۹-۴ تا ۱۳-۴ آورده شده است



شکل ۹-۴ نمودار تغییرات خطای داده های آموزش، آزمون و اعتبارسنجی تخمین نگارهای چگالی با کمک شبکه عصبی



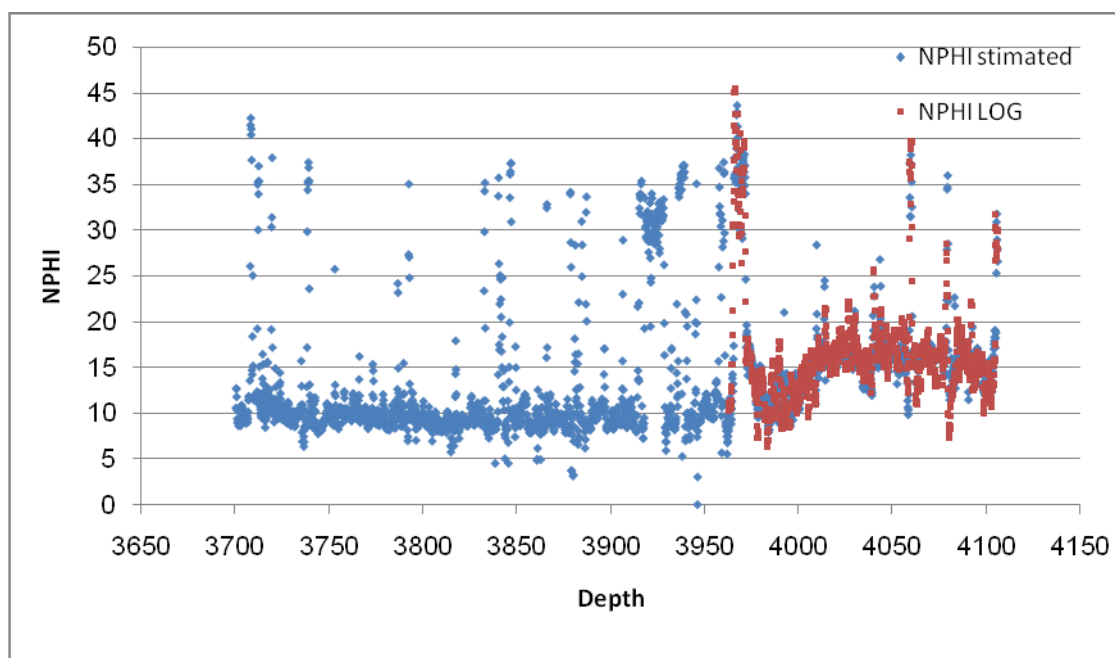
الف.



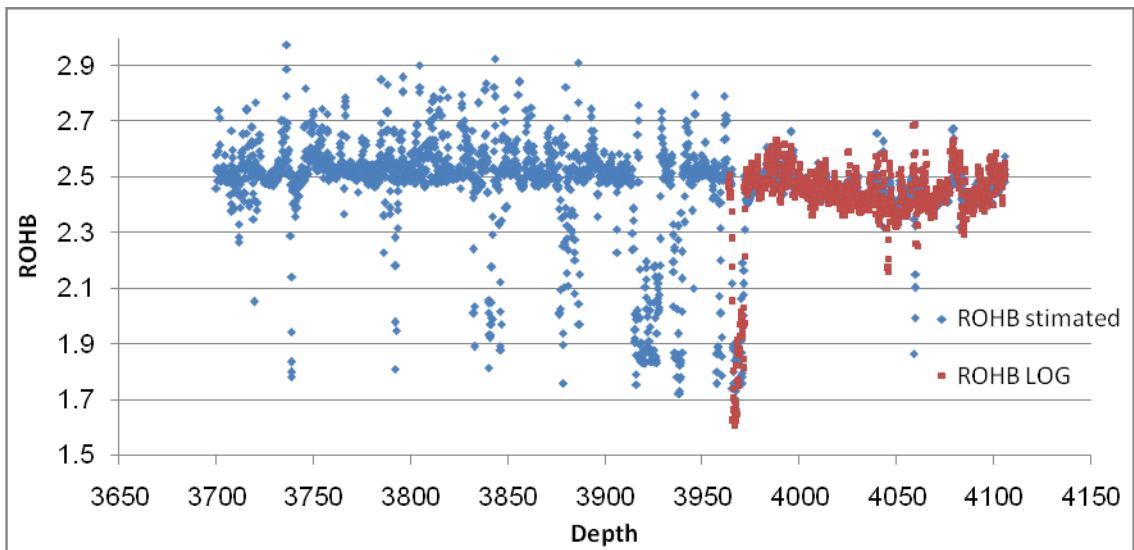
ب.

شکل ۱۰-۴ مقایسه میان مقدار تخمین زده با شبکه عصبی و مقدار واقعی در چاه ونراپ الف. تخمین نگار نوترون ب.
تخمین نگار چگالی

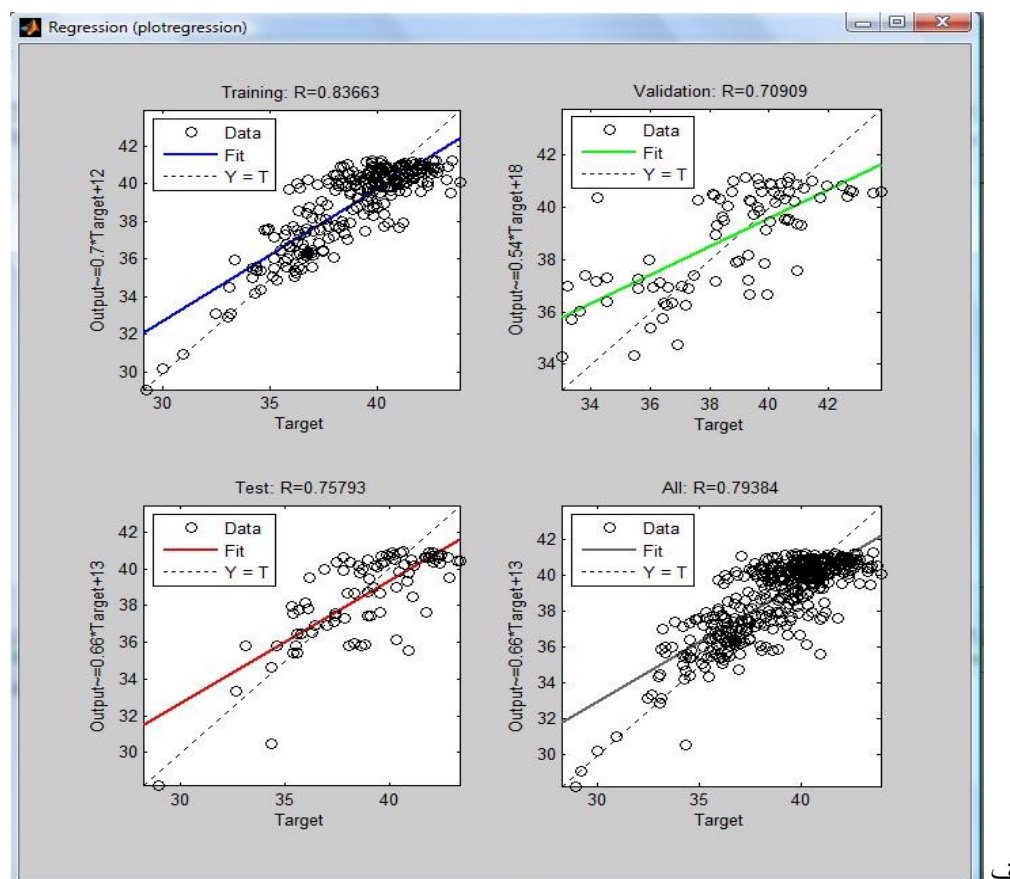
الف.



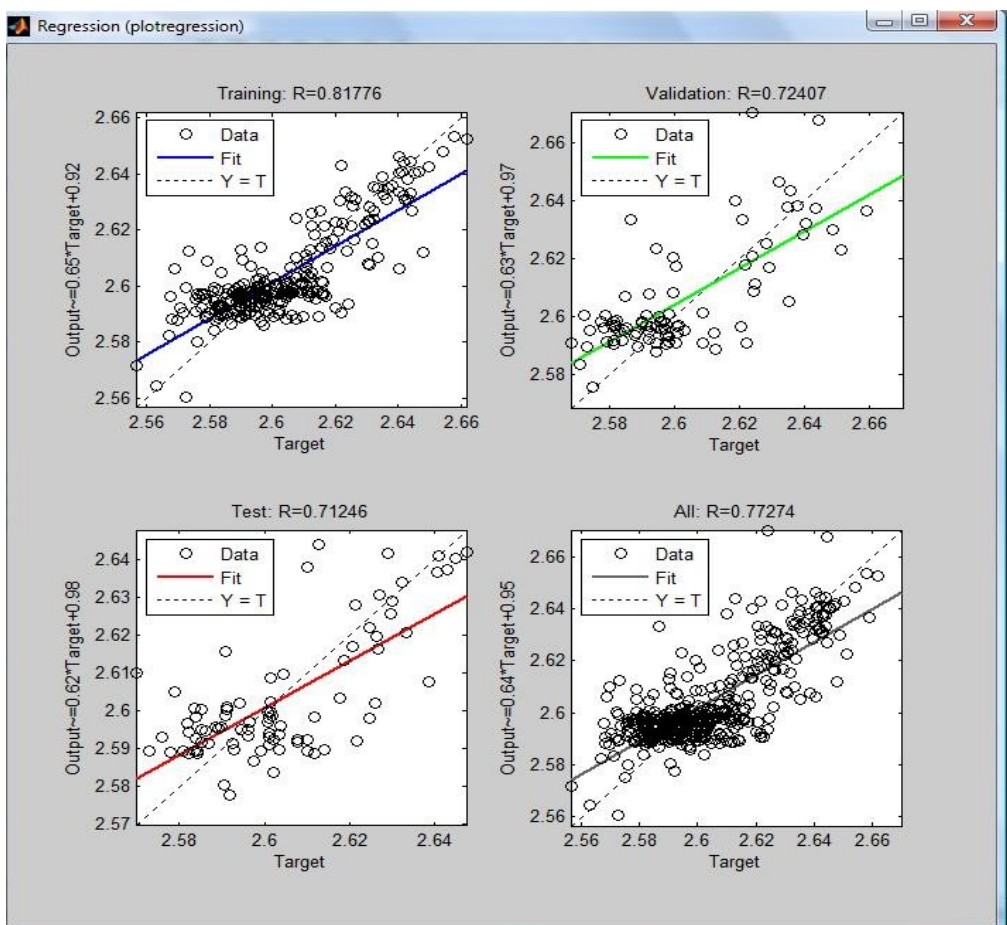
ب.



شکل ۱۱-۴ تخمین مقادیر نگار در طول لایه کوکاتیا شیل چاه و نرآپ با کمک شبکه عصبی الف. نگار نوترن ب. نگار چگالی



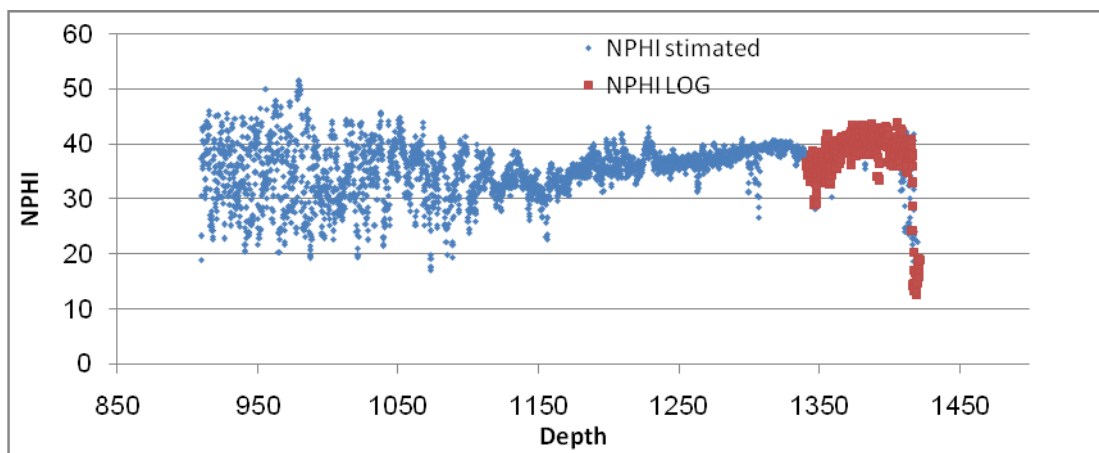
الف



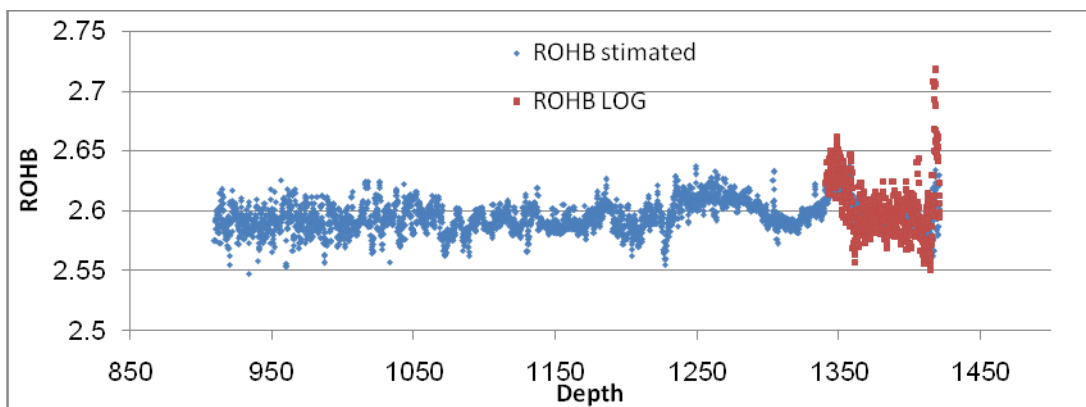
ب.

شکل ۱۲-۴ مقایسه میان مقدار تخمین زده با شبکه عصبی و مقدار واقعی در چاه راب الف. تخمین نگار نوترنون ب. تخمین نگار چگالی

الف.



ب.

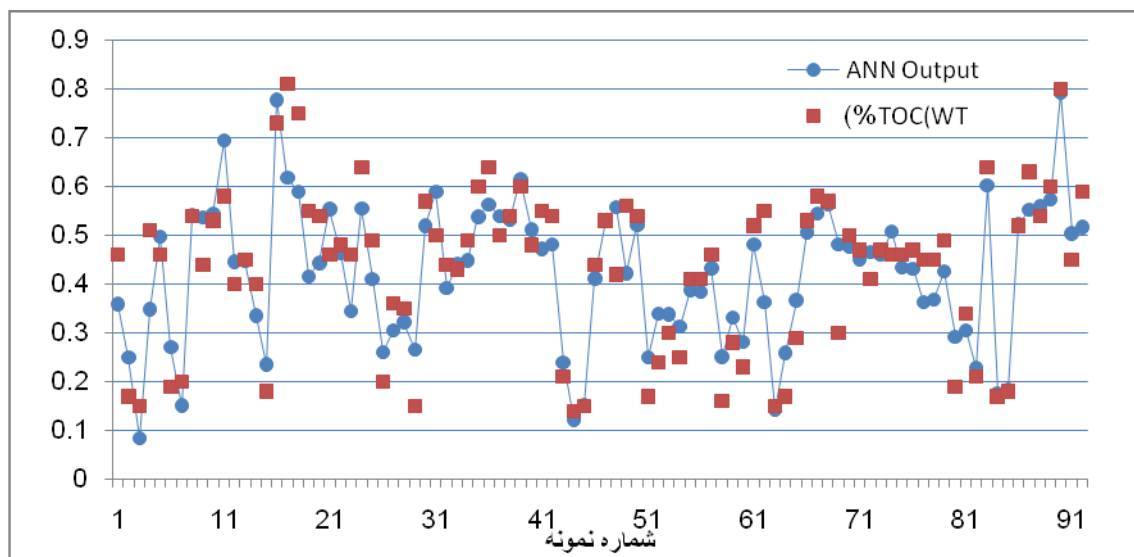


شکل ۱۳-۴ تخمین مقادیر نگار در طول لایه کوکاتیا شیل چاه راب با کمک شبکه عصبی الف. نگار نوترون ب. نگار چگالی

۴-۷-۴ تخمین مقادیر TOC در لایه کوکاتیا شیل با استفاده از شبکه عصبی

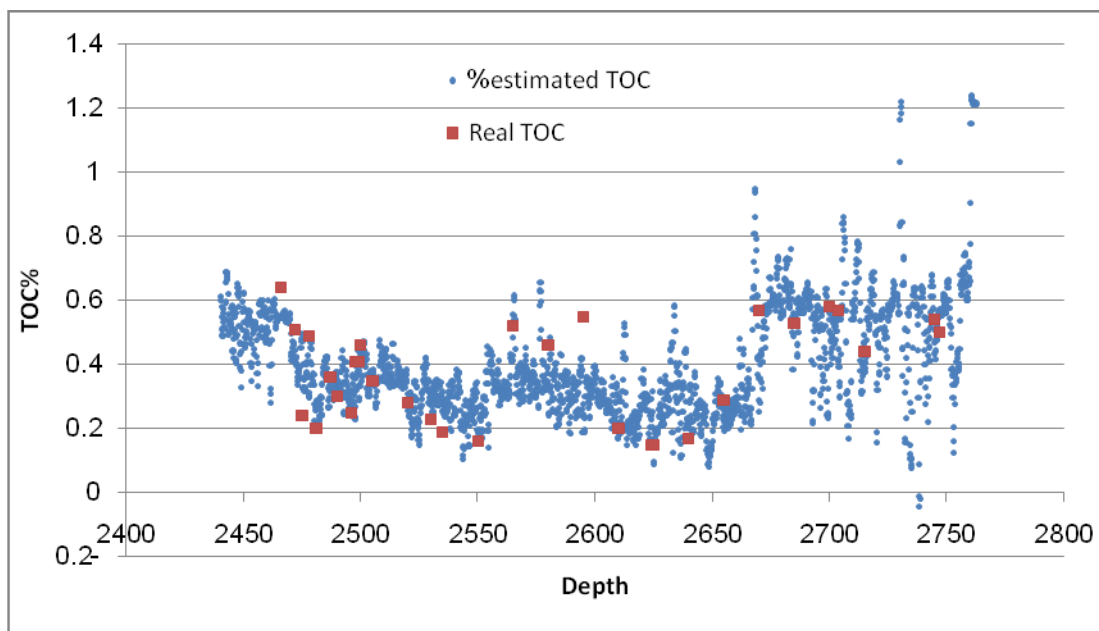
چند لایه در شش چاه مورد مطالعه

در بخش قبل نشان داده شد که استفاده از تمام نگارهای پتروفیزیکی موجود به عنوان ورودی شبکه عصبی علیرغم ضریب همبستگی پایین برخی از نگارها با TOC، بهترین پاسخهای شبکه را منجر می‌گردد. شکل ۱۴-۴ مقادیر TOC واقعی و میزان TOC تخمین زده شده با استفاده از شبکه عصبی چند لایه را برای تمام داده‌های شش چاه نشان میدهد.

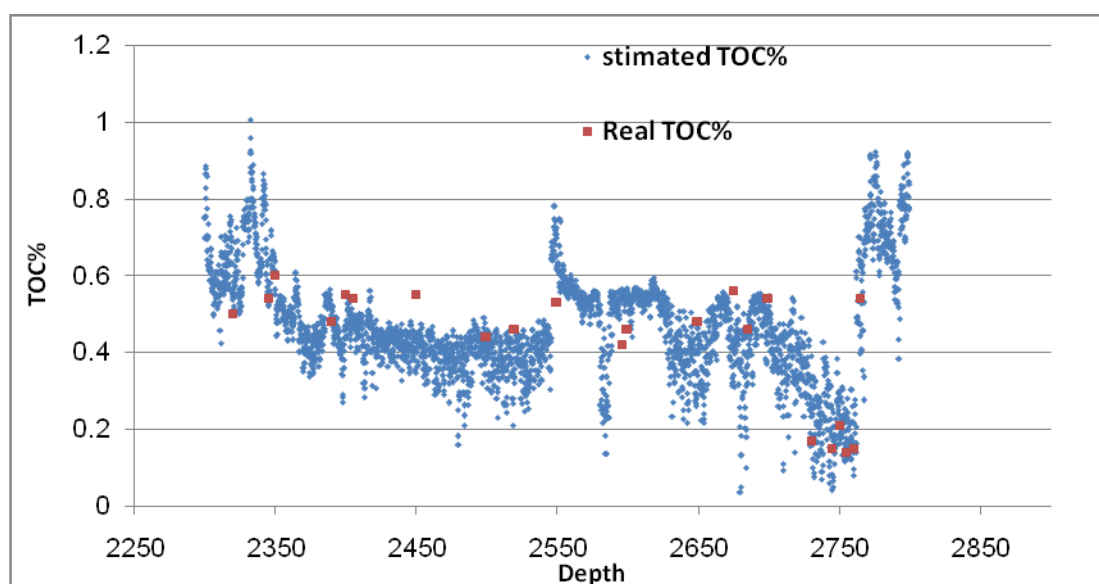


شکل ۱۴-۴ مقایسه مقادیر تخمین زده و مقادیر واقعی TOC برای تمام داده‌های شش چاه با استفاده از مدل تخمین-گر شبکه عصبی

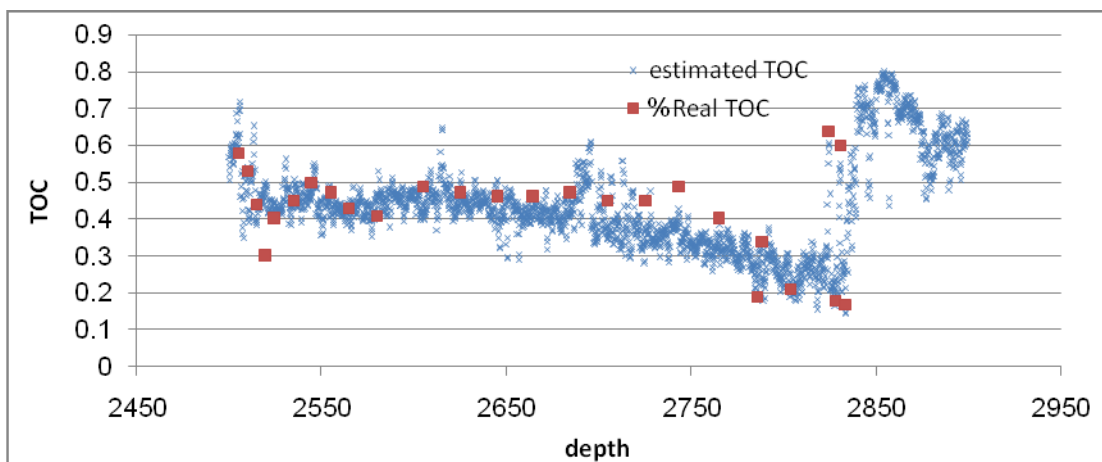
با استفاده از مدل شبکه عصبی چندلایه تهیه شده، میزان TOC را در هر چاه نسبت به عمق بهدست آورده که در شکل‌های ۱۵-۴ تا ۲۰-۴ نشان داده شده است.



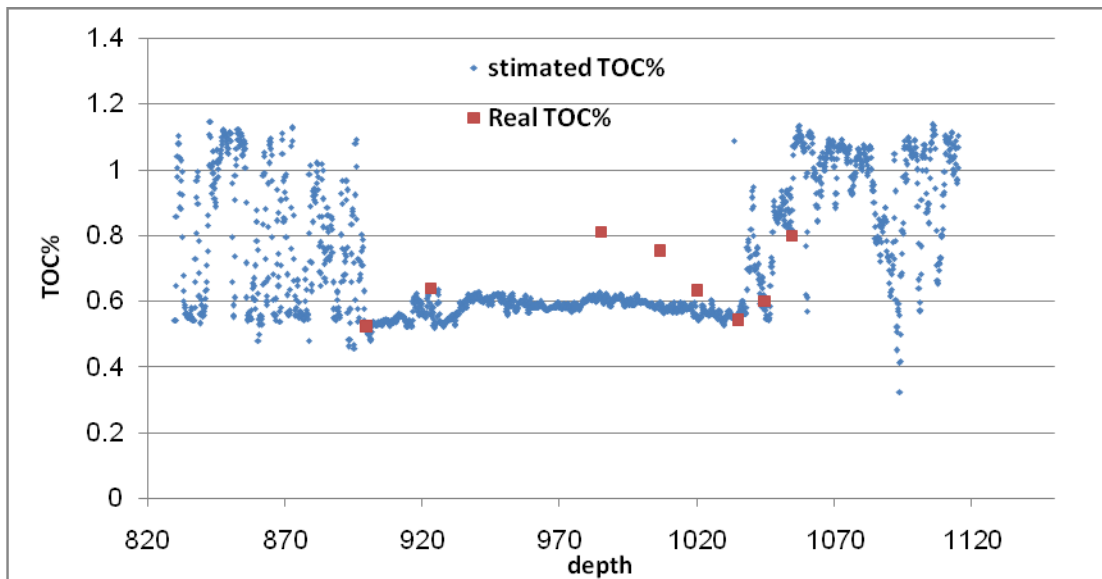
شکل ۱۵-۴ مقدار تخمینی TOC نسبت به عمق در لایه کوکاتیا شیل چاه ویتکارا



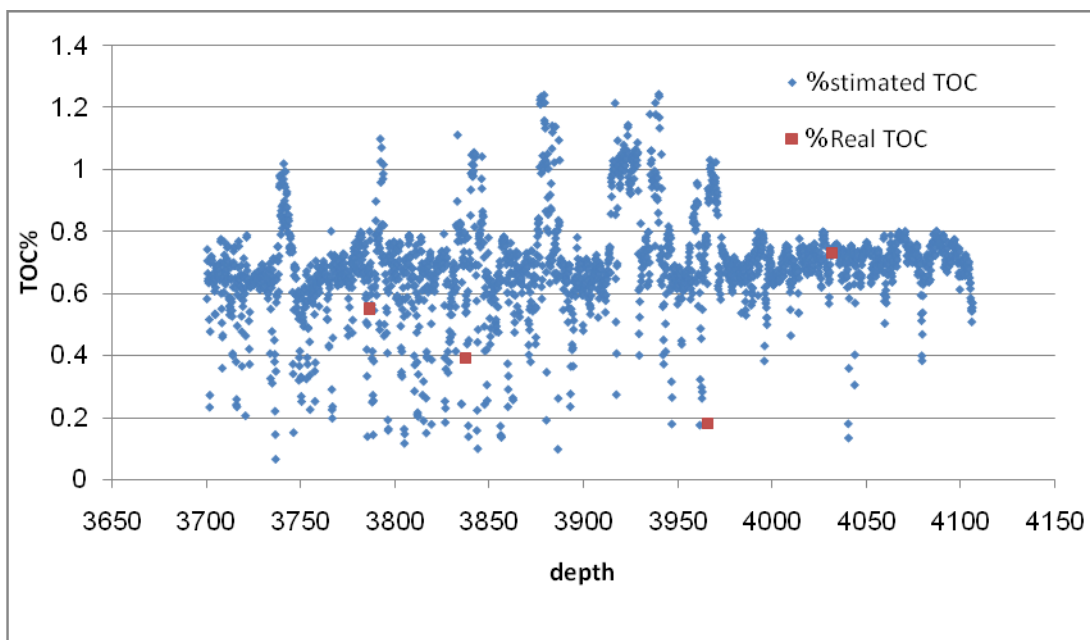
شکل ۱۶-۴ مقدار تخمینی TOC نسبت به عمق در لایه کوکاتیا شیل چاه باتاویا



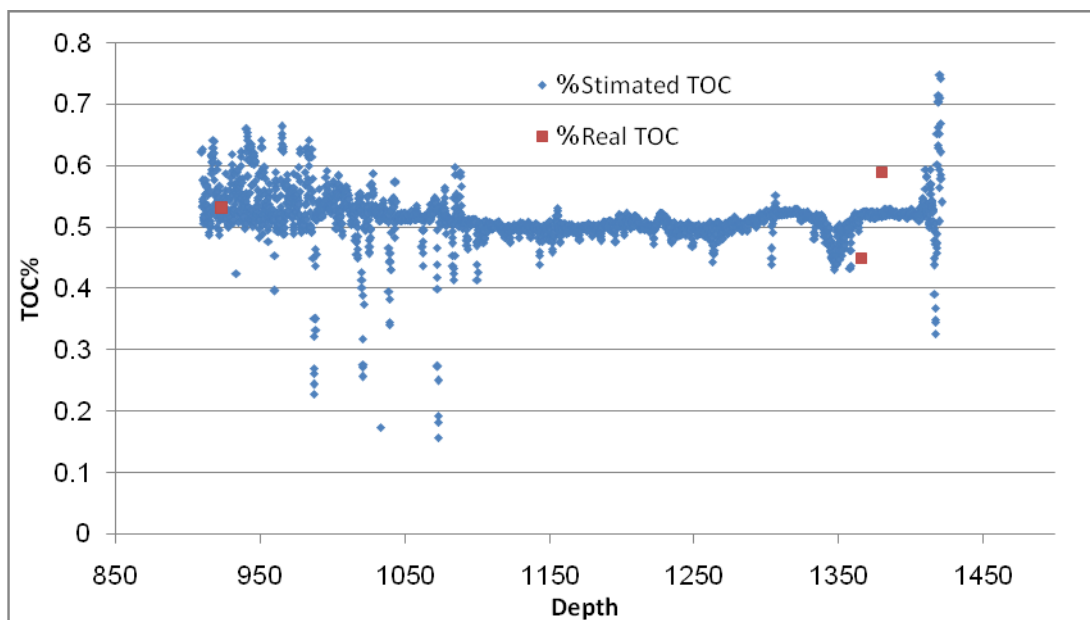
شکل ۱۷-۴ مقادیر تخمینی TOC نسبت به عمق در لایه کوکاتیا شیل چاه لیندر ریف



شکل ۱۸-۴ مقادیر تخمینی TOC نسبت به عمق در لایه کوکاتیا شیل چاه دایموند سوک



شکل ۱۹-۴ مقادیر تخمینی TOC نسبت به عمق در لایه کوکاتیا شیل چاه ونرآپ



شکل ۲۰-۴ مقادیر تخمینی TOC نسبت به عمق در لایه کوکاتیا شیل چاه راب

۸-۴ تخمین میزان TOC با استفاده از شبکه عصبی ویولت

مدلسازی قوی شبکه‌های عصبی، موازی بودن عملیات محاسباتی و سادگی ساختار، شبکه‌های عصبی را به عنوان یک ابزار عمومی کارآمد برای حل بسیاری از مسائل مهندسی درآورده است [۳۰]. با این حال این شبکه‌ها دارای مشکلاتی مانند سرعت همگرایی پایین و بیش آموزش بوده و توابع تحریک مورد استفاده در آن‌ها عمومی بوده و امکان آموزش به منظور اهداف خاص را فراهم نمی‌سازد.

شبکه عصبی ویولت یک شبکه‌ی جلوسو است که اساس آن یافتن خانواده‌ای از ویولتها در فضای تخمین به منظور یافتن رابطه‌ی پیچیده متغیرها در سیگنال اصلی است. شبکه‌ی عصبی ویولت مزیت‌های تبدیل ویولت و توانایی شبکه عصبی به عنوان یک تخمین‌گر عمومی را همزمان دارد [۲۹]. توابع ویولت علاوه بر خواص تعاملی، از خواص محلی خوبی برخوردارند. این خصوصیت، باعث می‌شود که این شبکه‌ها نسبت به شبکه‌های عصبی معمول همگرایی سریع تری داشته باشند و تخمین چند تفکیکی از نگاشت ورودی – خروجی به دست دهنند.

در سال ۱۹۹۲ ژانگ گینگو و بنونیست برای اولین بار شبکه عصبی ویولت را با ترکیب آنالیز ویولت با شبکه‌های عصبی معرفی کردند [۳۲]. ترکیب ویژگی‌های محلی تبدیل ویولت و شبکه‌های عصبی منجر به تصحیح پارامترهای پایه‌های ویولت در طول فرآیند آموزش می‌شود. با این روش می‌توان کاستی‌های شبکه عصبی را تصحیح کرده و توابع را کارآمدتر و با سرعت بالاتری تخمین زد. شبکه عصبی ویولت در مدلسازی سیگنال‌های غیر ایستای محلی به دلیل ویژگی‌های منحصر به فرد توابع ویولت بسیار کارآمد بوده و توانایی بالای خود را در پیش‌بینی، کلاس‌بندی و مدل‌سازی سیگنال‌های غیر خطی به خوبی نشان داده است [۴۲].

بر پایه‌ی تئوری ویولت شبکه عصبی ویولت ابزاری نوین برای تخمین توابع می‌باشد که در حل مسائلی که در سایر شبکه‌های عصبی سرعت همگرایی پایین داشته و یا به طور کلی ناپایا است بسیار کارآمد ظاهر شده است و به شکل شایان توجهی سرعت همگرایی را بهبود می‌بخشد . شبکه عصبی ویولت نسبت به شبکه‌های عصبی دارای مزایایی است چرا که تابع ویولت دارای ویژگی‌های

منحصر به فردی می باشد که منجر به بهبود سرعت همگرایی و کاهش خطا می شود چرا که این شبکه ها می توانند سیگنال هایی با نقاط ناپیوستگی و لبه های تیز (تغییرات سریع) را مدل کنند و از طرفی پارامتر انتقال این شبکه ها منجر می شود که شبکه با ساختار سیگنال مورد تخمین هماهنگ می شود [۳۶].

شبکه عصبی ویولت را می توان به عنوان جایگزینی برای شبکه های عصبی و radial basis دانست. با این شبکه می توان هر تابع را با دقت دلخواه با تعداد محدودی ویولت تخمین زد. وقتی از توابع ویولت به عنوان تابع انتقال استفاده می شود خصوصیات محلی بهتر مدل می شود [۲۲].

۴-۸-۱ تخمین میزان TOC به وسیله مدل تخمینگر شبکه عصبی ویولت در

چاهه های مورد مطالعه

ساختار این نوع شبکه عصبی در فصل سه توضیح گردید. در محیط برنامه نویسی متلب شبکه عصبی ویولت نگارش گردید. از آنجا که ساختار شبکه عصبی ویولت ثابت و فقط تعداد نرون های لایه پنهان متغیر است، به کمک دستور حلقه در مطلب به ازای تعداد مختلف نرون ها در لایه مخفی شبکه عصبی ویولت، خطای شبکه محاسبه شده و بدین ترتیب تعداد بهینه نرون انتخاب شده است. شبکه متشکل از پنج ورودی و یک خروجی می باشد و پارامترهای شبکه به روش کاهش شیب^۱ به - منظور کاهش خطا اصلاح می گردند. برای حل شبکه عصبی ویولت از روش مرحله ای^۲ استفاده گردیده است. در این روش تک تک داده ها بصورت جدا به شبکه ارائه می گردد و در هر مرحله پارامترهای شبکه به منظور بهینه کردن شبکه اصلاح می گردد. سه شرط توقف برای شبکه عصبی ویولت مورد استفاده گردید که شامل

¹ Gradient descent

² Sequential

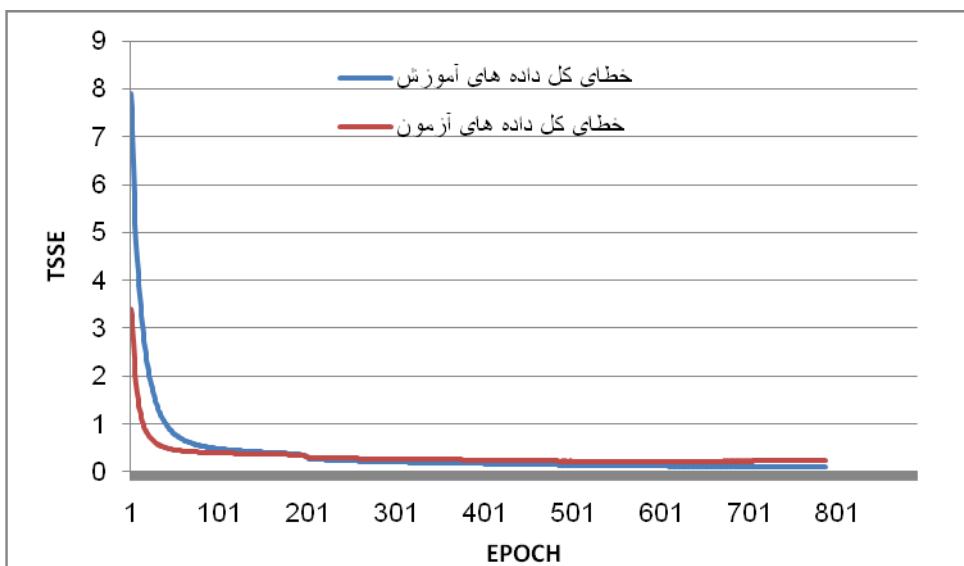
- بزرگ شدن بیش از اندازه اوزان شبکه که اصطلاحاً به این پدیده مرگ نرون^۱ می‌گویند، برای اینمنظور بازه مثبت منفی پنج برای اوزان شبکه در نظر گرفته شد.
- افزایش خطای کلی داده‌های آزمون^۲، با توجه به استفاده از روش حل مراحلهای شبکه افزایش میزان خطا برای چهار مرحله را مجاز قرار داده و بیش از آن شبکه متوقف می‌گردد.
- پارامتر مقیاس تابع ویولت: این پارامتر میزان فشردگی و بازشدگی تابع ویولت را کنترل مینماید بنابراین منفی بودن آن مفهومی ندارد و همچنین کوچک شدن بیش از اندازه مقیاس باعث محلی شدن بیش از حد تابع ویولت می‌گردد، یک حد مینیمم برای این پارامتر استفاده گردید.

۱-۸-۴ نتایج تخمین میزان TOC با شبکه عصبی ویولت گوسین

در ابتداء تابع ویولت گوسین به عنوان تابع تحریک شبکه مورد استفاده گردیده است شبکه‌ی بهینه‌ی ویولت با تابع انتقال گوسین در لایه‌ی پنهان خود دارای ۲۰ نرون میباشد. شکل ۲۱-۴ نمودار تغییرات خطا داده‌های آزمون و آموزش را نشان میدهد

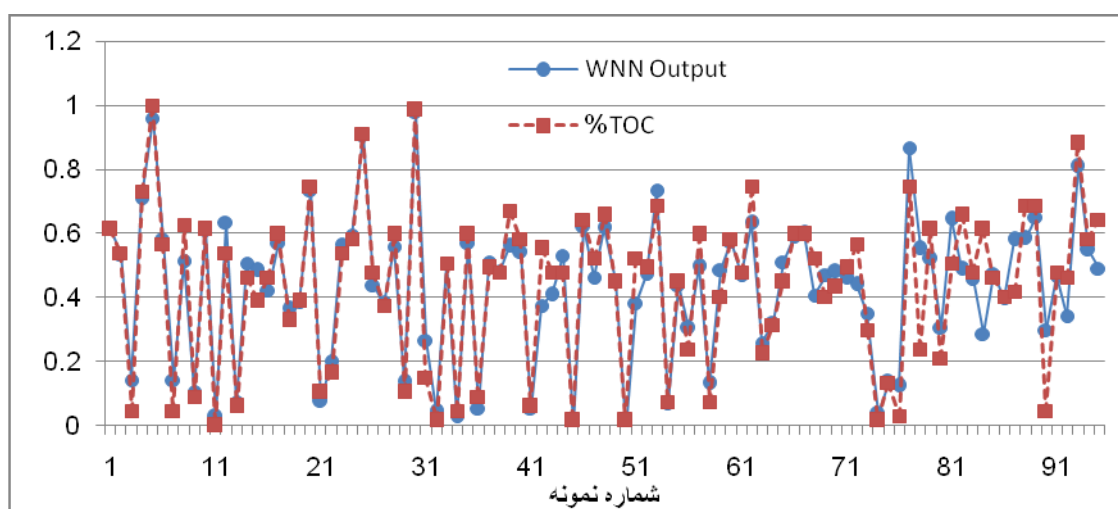
¹ Parameter Drift

² Over fitness



شکل ۲۱-۴ نمودار تغییرات خطای داده‌های آموزش و آزمون در شبکه عصبی ویولت گوسین

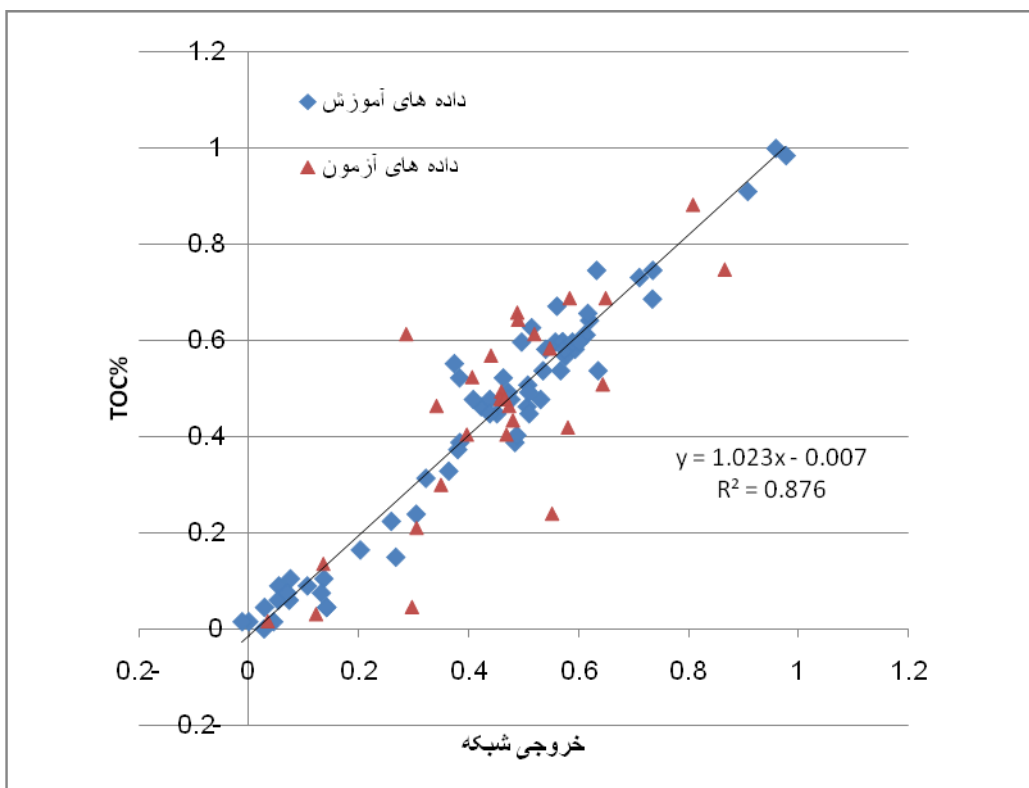
شکل ۲۲-۴ مقایسه بین میزان TOC تخمینزده شده و مقدار واقعی را برای کل نمونه‌ها نشان میدهد



شکل ۲۲-۴ مقایسه بین مقادیر تخمینی و واقعی TOC برای کل داده‌های شش چاه در شبکه عصبی ویولت گوسین

ضریب رگرسیون و شیب خط برای کل داده‌ها بهترتیب برابر $1/023$ و $876/0$ میباشد که در شکل ۲۳-

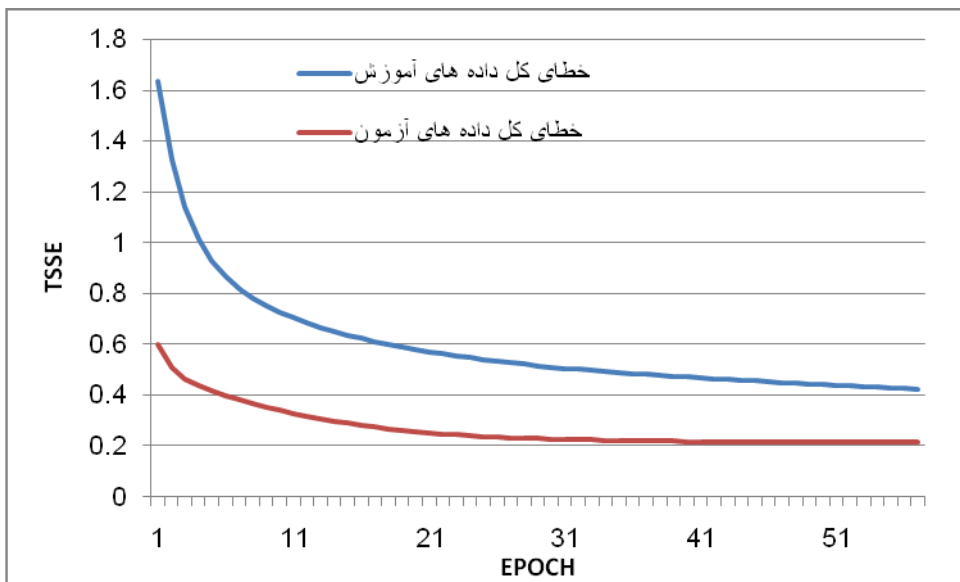
نیز نشان داده شده است.



شکل ۲۳-۴ نمودار متقطع ضریب رگرسیون میان مقادیر واقعی و تخمینی TOC در شبکه عصبی ویولت گوسین

۴-۱-۲ نتایج تخمین میزان TOC با شبکه عصبی ویولت کلاه مکزیکی

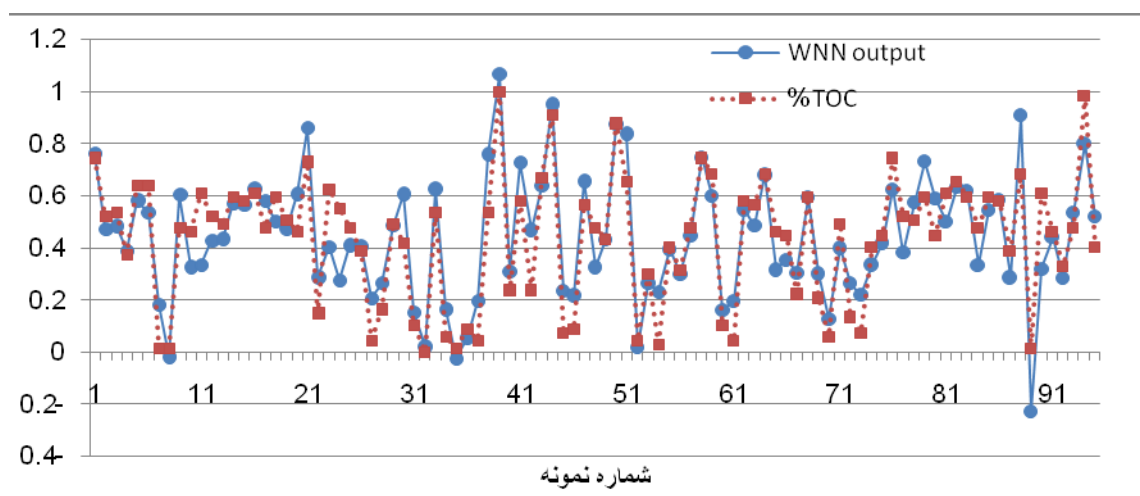
تابع ویولت کلاهمکزیکی در بخش‌های قبلی توضیح داده شده است. بهترین پاسخ شبکه عصبی ویولت کلاهمکزیکی مربوط به تعداد ۲۰ نمون لایه میانی میباشد. شکل ۲۴-۴ نمودار تغییرات خطای داده‌های آزمون و آموزش را نشان میدهد



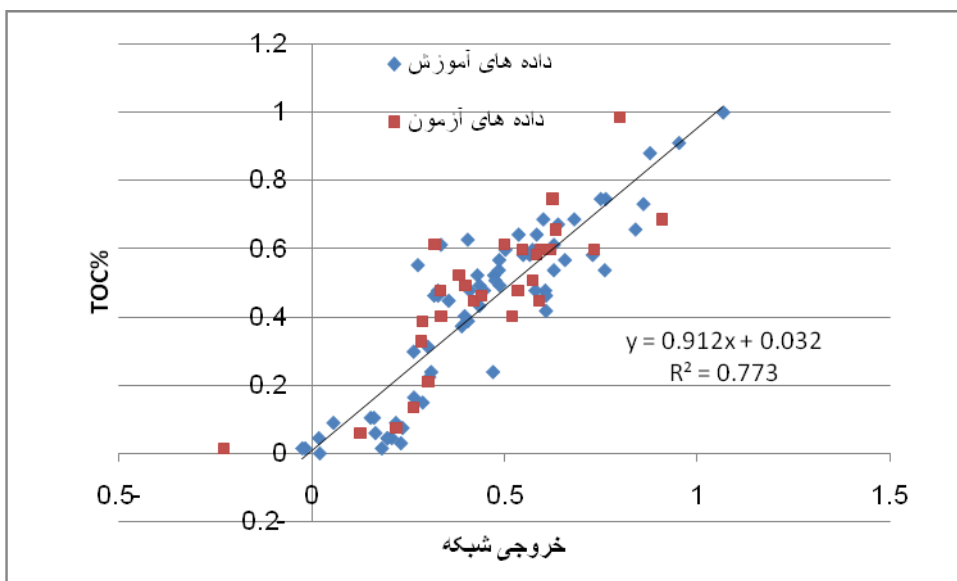
شکل ۲۴-۴ نمودار تغییرات خطای داده‌های آموزش و آزمون در شبکه عصبی ویولت کلاه مکزیکی

ضریب رگرسیون و شبکه عصبی کلامکزیکی بهترتب عبارت است از ۷۷۳/۰ و ۹۱۲/۰

شکلهای ۲۵-۴ و ۲۶-۴ مقادیر TOC تخمینی و واقعی و همچنین ضریب رگرسیون میان خروجی شبکه و داده‌های واقعی را نشان میدهد.



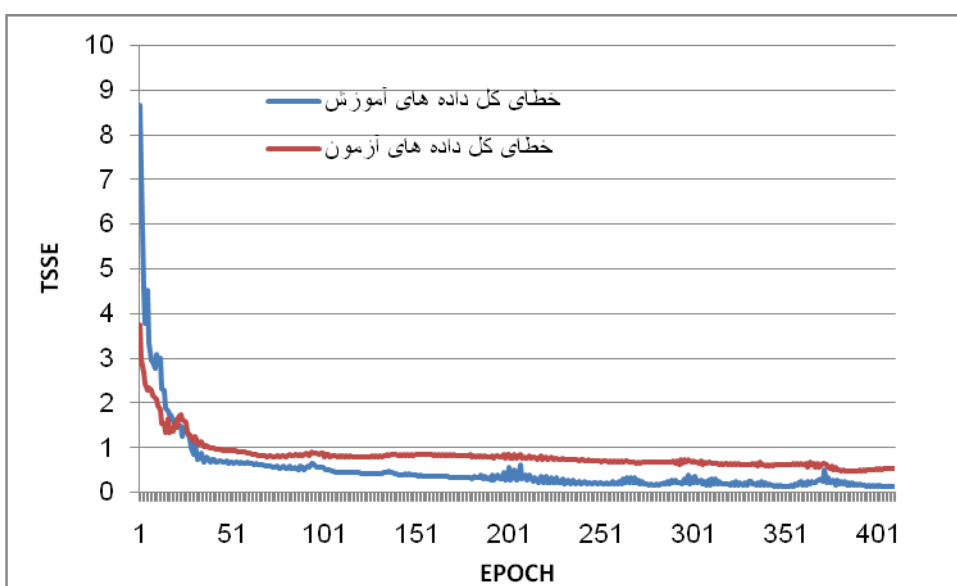
شکل ۲۵-۴ مقایسه بین مقادیر تخمینی و واقعی TOC برای کل داده‌های شش چاه در شبکه عصبی ویولت کلاه مکزیکی



شکل ۲۶-۴ نمودار متقطع ضریب رگرسیون میان مقادیر واقعی و تخمینی TOC در شبکه عصبی ویولت کلاه مکزیکی

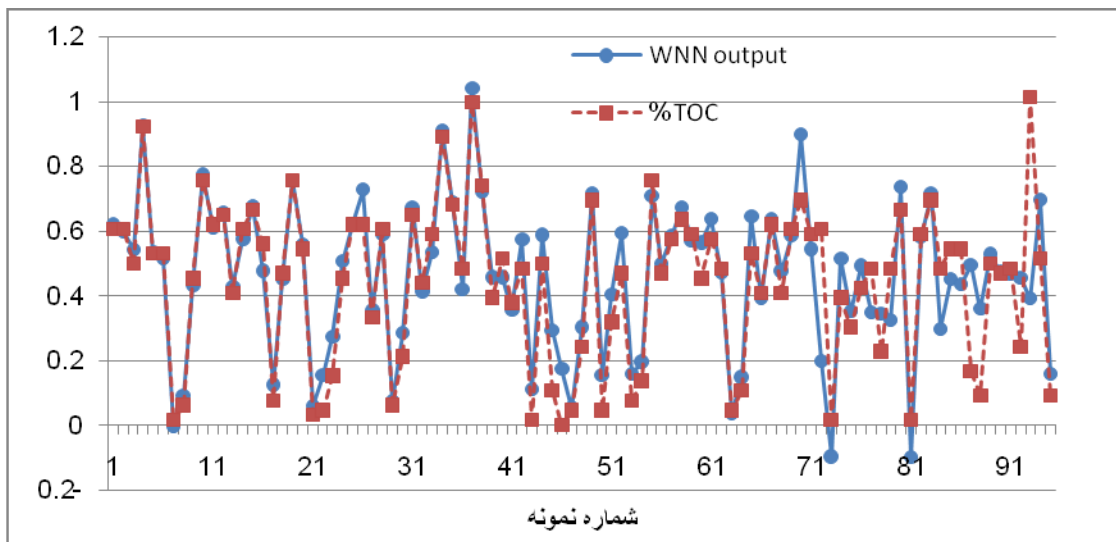
۳-۱-۸-۴ نتایج تخمین میزان *TOC* با شبکه عصبی ویولت مورلت

تعداد بهینه نرون شبکه عصبی ویولت مورلت ۲۵ میباشد. شکل ۲۷-۴ نمودار تغییرات خطای داده‌های آموزش و آزمون را نشان میدهد

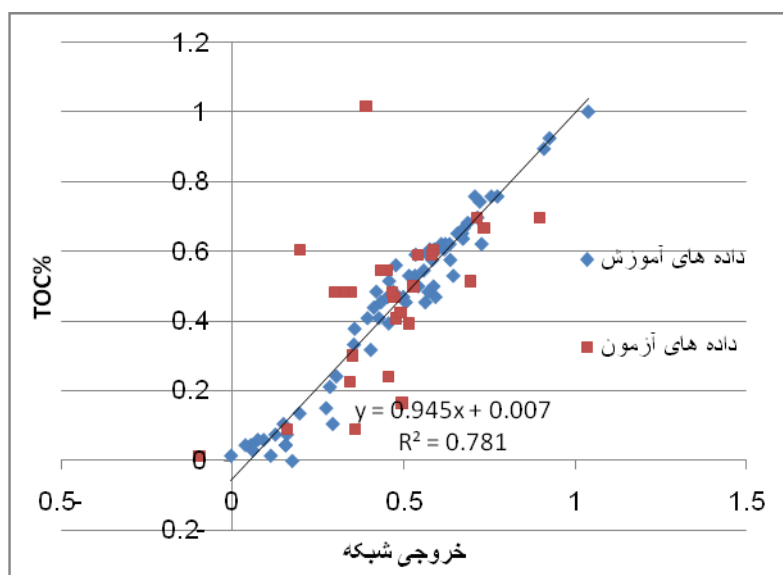


شکل ۲۷-۴ نمودار تغییرات خطای داده‌های آموزش و آزمون در شبکه عصبی ویولت مورلت

ضریب رگرسیون بین داده‌های واقعی و مقادیر تخمینی TOC برابر ۰/۷۸۱ و شیب خط ۰/۹۴۵ می‌باشد. شکل‌های ۲۸-۴ و ۲۹-۴ مقایسه بین مقادیر واقعی و تخمینی شبکه و ضریب رگرسیون داده‌ها می‌باشد.



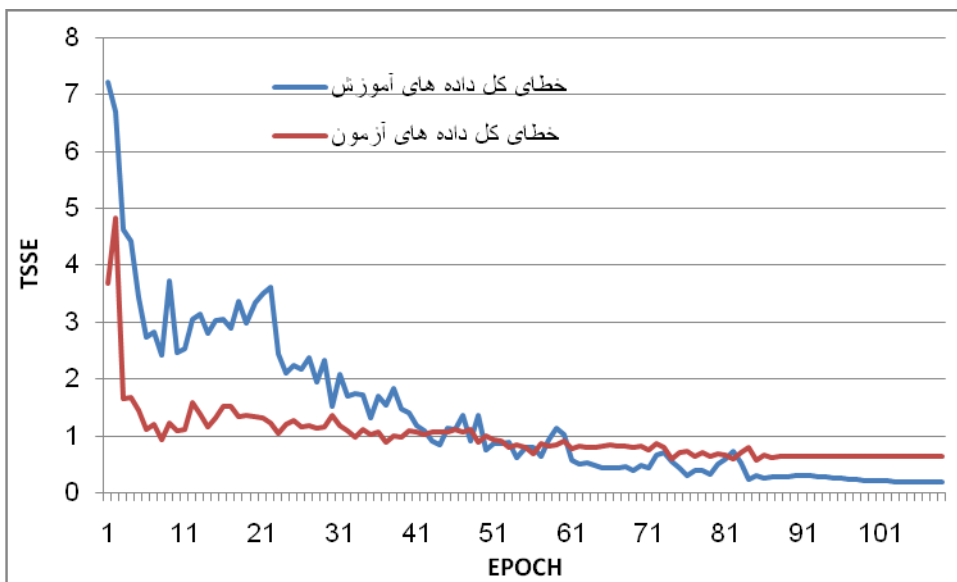
شکل ۴-۲۸ مقایسه بین مقادیر تخمینی و واقعی TOC برای کل داده‌های شش چاه در شبکه عصبی ویولت مورلت



شکل ۴-۲۹ نمودار متقطع ضریب رگرسیون میان مقادیر واقعی و تخمینی TOC در شبکه عصبی ویولت مورلت

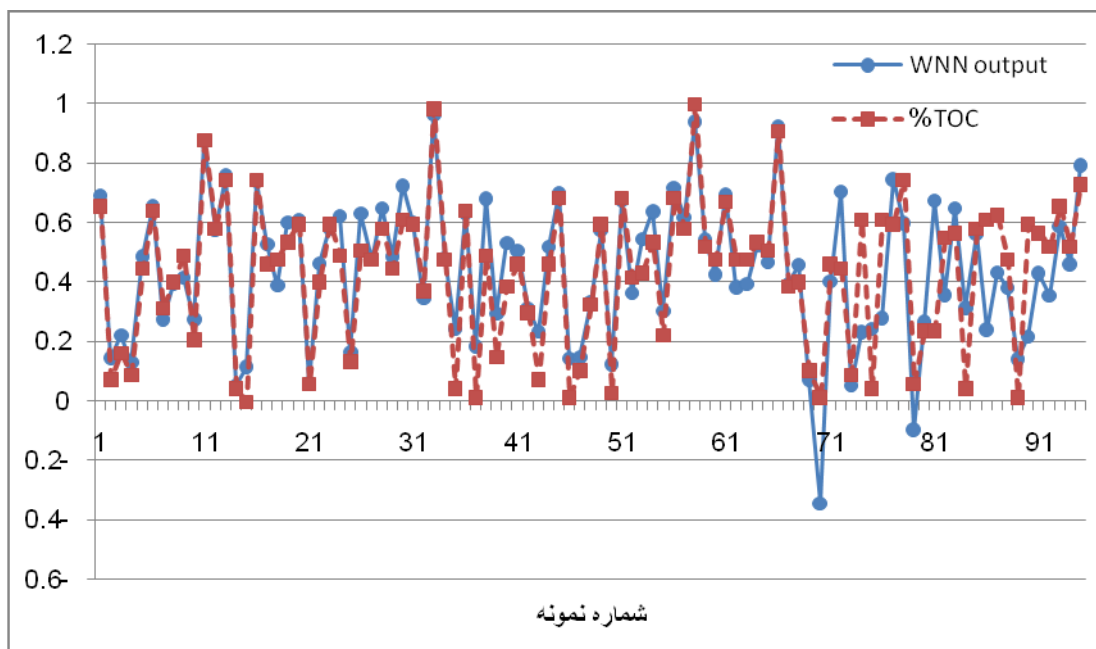
۴-۱-۸-۴ نتایج تخمین میزان TOC با شبکه عصبی ویولت شانون

تعداد بهینه نرون لایه پنهان این شبکه عصبی، ۱۵ نرون میباشد. پارامتر انتقال و مقیاس تابع ویولت و همچنین اوزان شبکه بهینه گردید. نمودار تغییرات خطای دادههای آموزش و آزمون در شکل ۳۰-۴ نشان داده شدهاست.

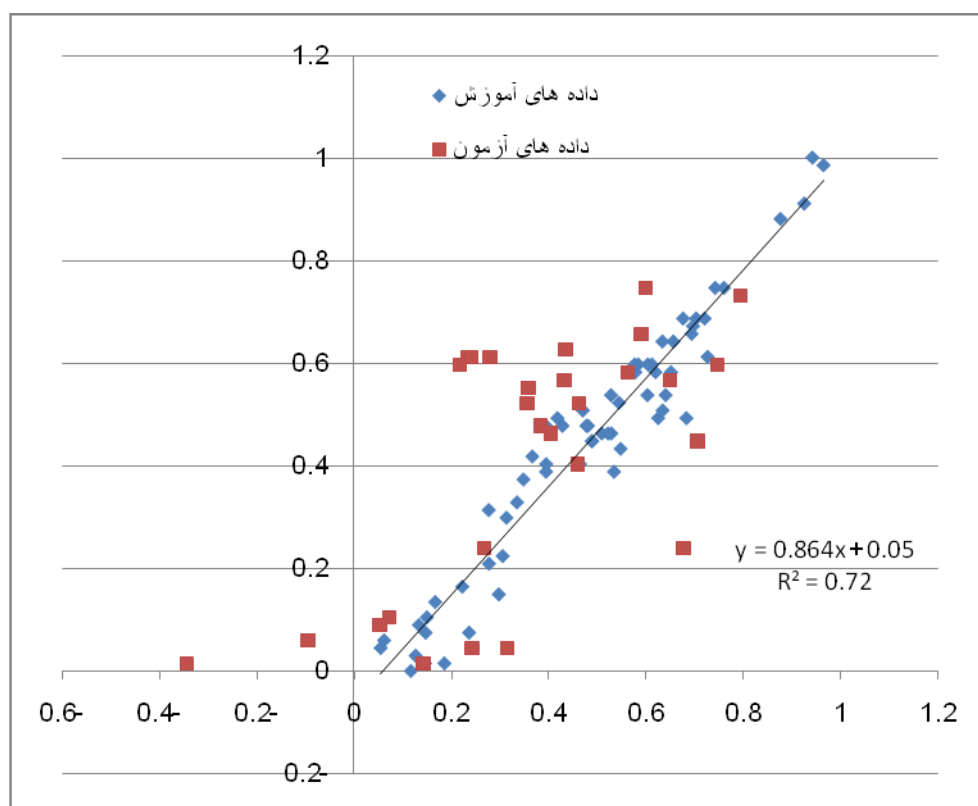


شکل ۳۰-۴ نمودار تغییرات خطای دادههای آموزش و آزمون در شبکه عصبی ویولت شانون

شکلهای ۳۱-۴ مقایسه بین دادههای آموزش و آزمون را نشان میدهد. میزان ضریب رگرسیون برای کل دادهها $0.864/0.72$ و شیب خط $4-32$ میباشد که در شکل ۳۲-۴ نشان داده شدهاست.



شکل ۴-۳۱ مقایسه بین مقادیر تخمینی و واقعی TOC برای کل داده‌های شش چاه در شبکه عصبی ویولت شانون



شکل ۴-۳۲ نمودار متقطع ضریب رگرسیون میان مقادیر واقعی و تخمینی TOC در شبکه عصبی ویولت شانون

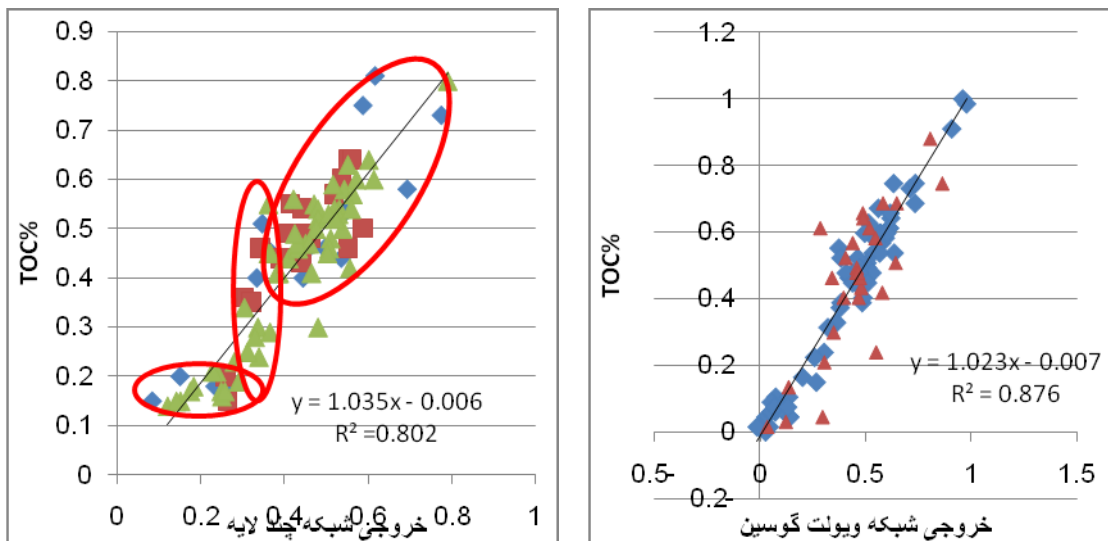
۹-۴ مقایسه نتایج شبکه عصبی چندلایه و شبکه عصبی ویولت

جدول ۸-۴ نتایج دو مدل شبکه عصبی چندلایه و ویولت را نشان میدهد

جدول ۸-۴ مقایسه بین مدل شبکه عصبی چندلایه و شبکه عصبی ویولت

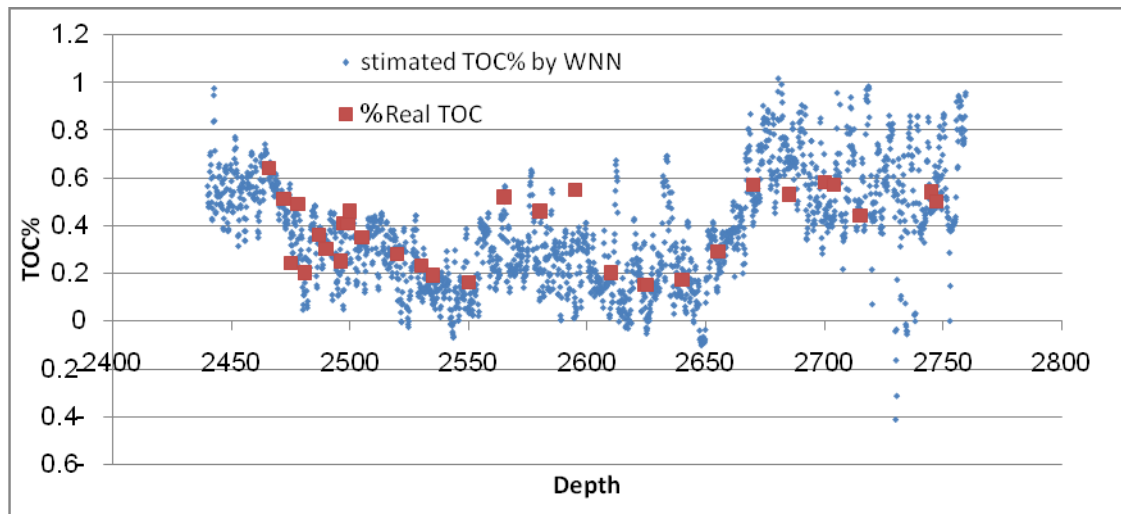
| MSE | معیار خطای | شیب خط | ضریب رگرسیون | ساختار | نوع شبکه |
|--------|------------|--------|--------------|--------|-----------------------------|
| 0/0054 | 1/035 | 0/802 | ۱-۵-۱۵-۵ | | شبکه عصبی چندلایه |
| 0/0072 | 1/023 | 0/876 | ۱-۲۰-۵ | | شبکه عصبی ویولت گوسین |
| 0/0132 | 0/912 | 0/773 | ۱-۲۰-۵ | | شبکه عصبی ویولت کلاه مکزیکی |
| 0/0136 | 0/945 | 0/781 | ۱-۲۵-۵ | | شبکه عصبی ویولت مورلت |
| 0/0175 | 0/864 | 0/72 | ۱-۱۵-۵ | | شبکه عصبی ویولت شانون |

همانطور که در جدول بالا مشخص است، شبکه عصبی ویولت گوسین تخمین بهتری از میزان محنتیات کربن آلی کوکاتیا شیل با توجه به ضریب رگرسیون و شیب خط در این شش چاه ارائه می-دهد. اگر معیار خطای MSE را بعنوان معیار گزینش بهترین تخمینگر در نظر بگیریم، شبکه عصبی چندلایه پاسخ بهتری از تخمین میزان TOC ارائه میدهد. ولی همانطور که در شکل..... مشخص است، تخمینگر شبکه عصبی چندلایه برای مقادیر حدودا زیر ۰.۴. کمتر از مقادیر واقعی تخمین می-زند. همچنین ساختار شبکه عصبی چندلایه نسبت به ساختار شبکه عصبی ویولت پیچیده‌تر میباشد. در مجموع با توجه به مواردی اشاره شد، شبکه عصبی ویولت گوسین بعنوان بهترین تخمینگر میزان TOC انتخاب گردیده است.

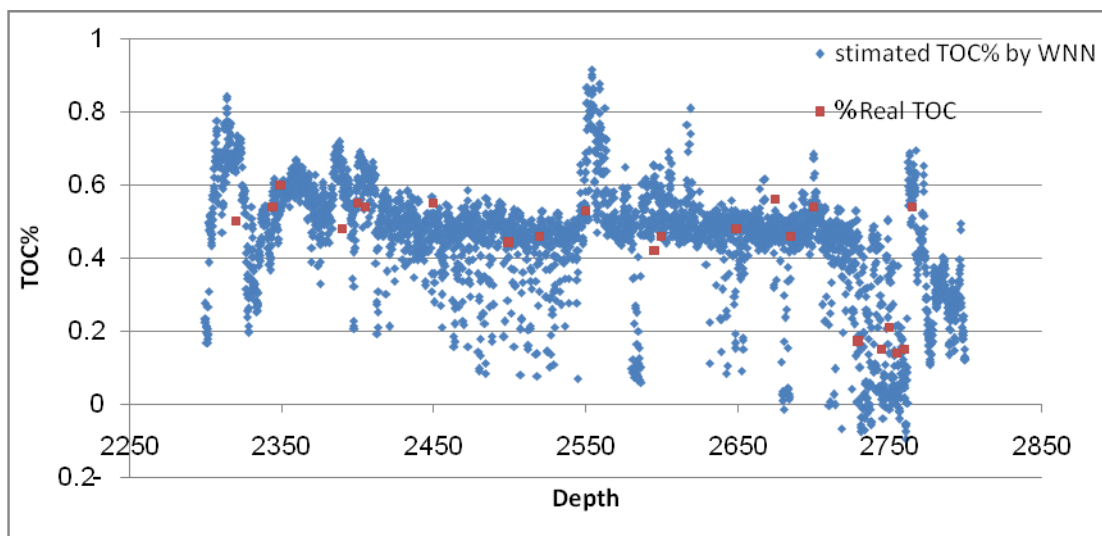


شکل ۳۳-۴ مقایسه نتایج خروجی شبکه ویولت گوسین و شبکه چندلایه

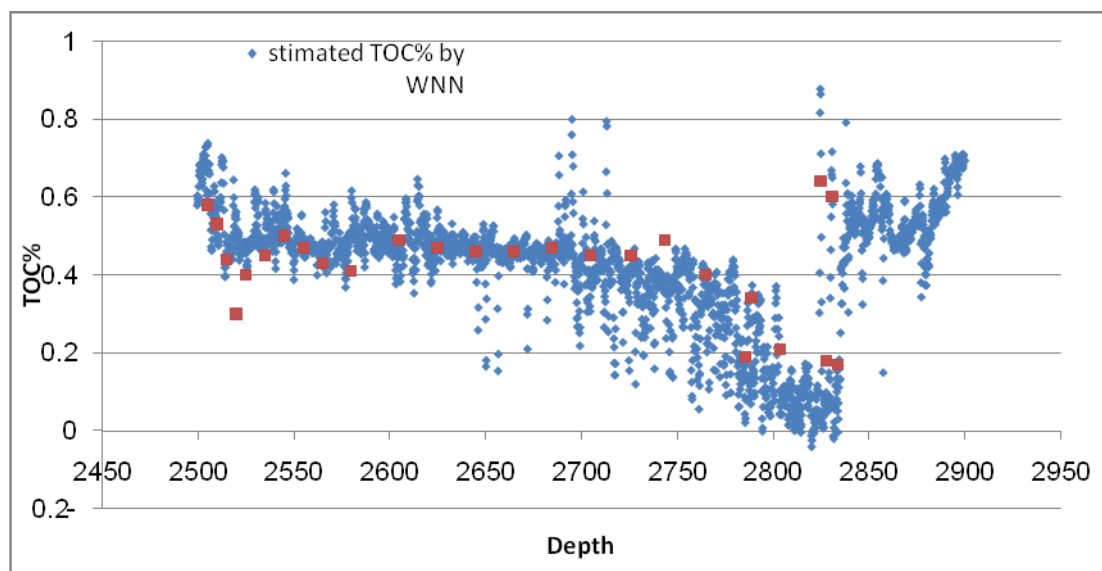
تخمین میزان محتویات کربن آلی با استفاده از مدل شبکع عصبی ویولت گوسین برای لایه شیل گازی کوکاتیا در شش چاه مورد مطالعه در شکل‌های ۳۳-۴ تا ۳۸-۴ آورده شده است.



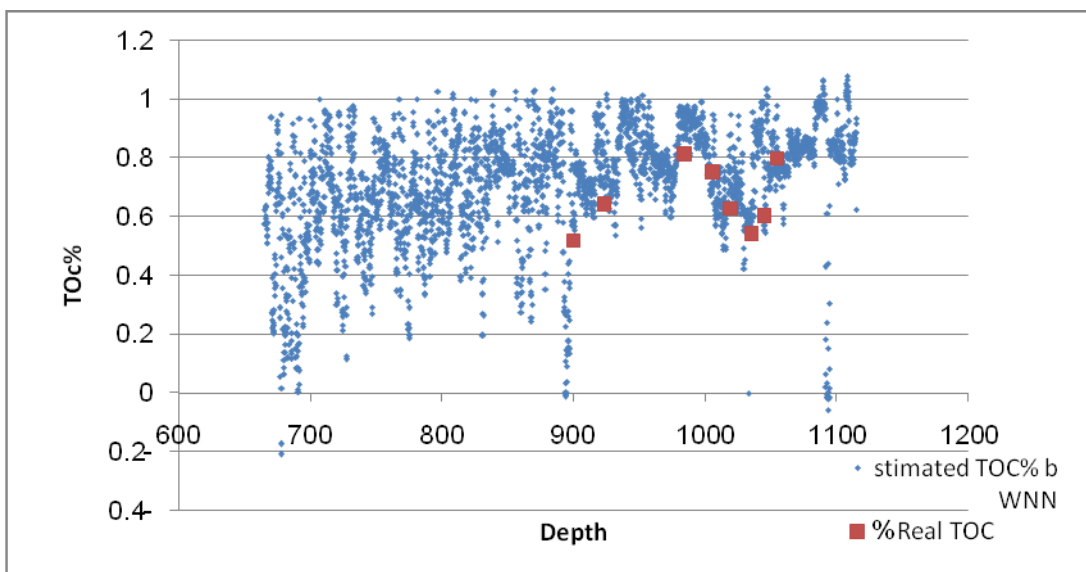
شکل ۳۴-۴ مقدار تخمینی TOC نسبت به عمق در لایه کوکاتیا شیل چاه ویتکارا



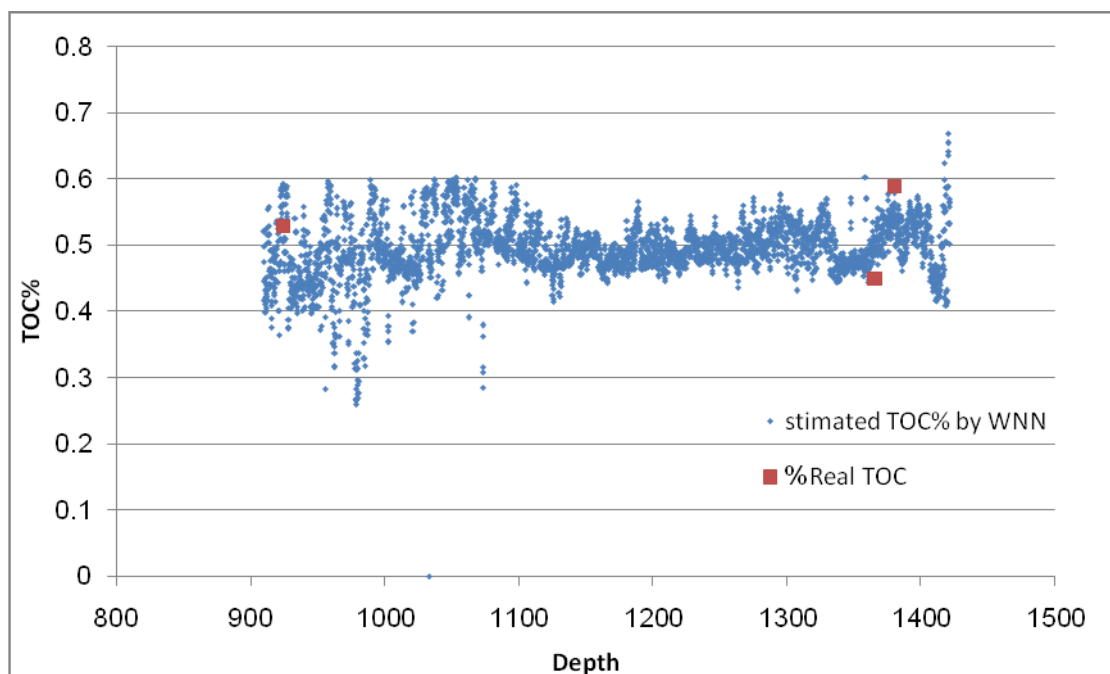
شکل ۴-۳۵ مقادیر تخمینی TOC نسبت به عمق در لایه کوکاتیا شیل چاه باتاویا



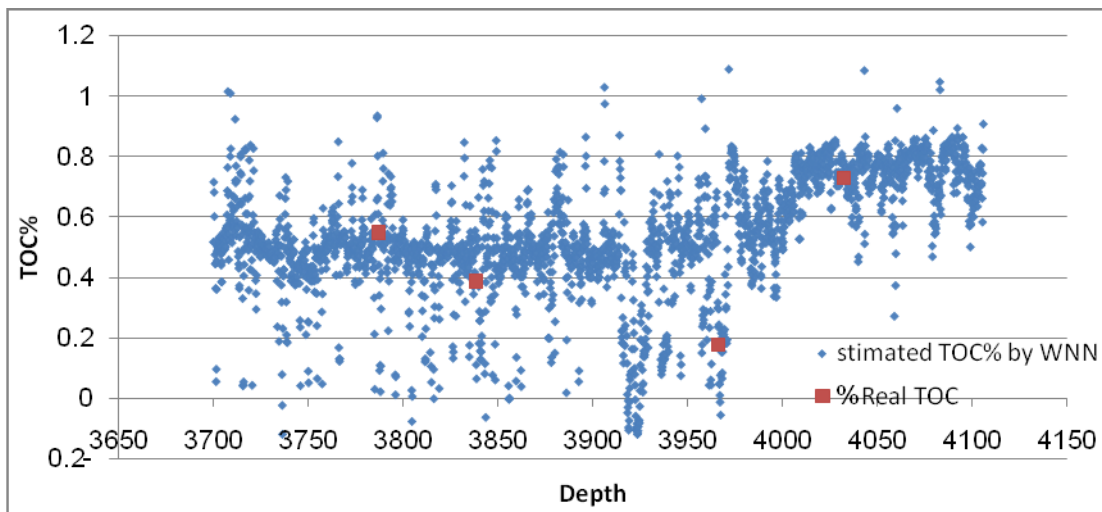
شکل ۴-۳۶ مقادیر تخمینی TOC نسبت به عمق در لایه کوکاتیا شیل چاه لیندر ریف



شکل ۳۷-۴ مقادیر تخمینی TOC نسبت به عمق در لایه کوکاتیا شیل چاه دایموند سوک



شکل ۳۸-۴ مقادیر تخمینی TOC نسبت به عمق در لایه کوکاتیا شیل چاه راب



شکل ۴-۳۹ مقدادیر تخمینی TOC نسبت به عمق در لایه کوکاتیا شیل چاه ونراپ

۱۰-۴ تعیین ناحیه بهره‌دهد در شیلهای گازی

تشخیص نواحی بهره‌دهد در چاههای هیدروکربوری بهمنظور تعیین موقعیت قسمتهای مشبککاری در لایه مخزنی برای تولید موادهیدروکربوری از اهمیت بسیاری برخوردار است. روش رایج تعیین نواحی بهره‌دهد، براساس روش‌هایی که بر پایه حد-آستانهای است، استوار میباشد. در شیلهای گازی این روشها بعلت تراوایی تقریباً صفر و درصد شیل بسیار بالا، کاربرد ندارد. میزان کل مواد هیدروکربوری TOC رابطه مستقیم با میزان گاز جذبی در شیلهای گازی دارد. بر اساس این اصل و تخمین میزان TOC در نواحی مخزنی، بهنوعی قادر به ارزیابی پتانسیل تولید در لایه شیل گاز میباشیم.

۱۰-۵ مرور ادبیات

در مخازن متعارف^۱، روش غیر مستقیم برای تعیین نواحی بهره‌دهد^۲ بر پایه اطلاعات نگارهای چاه - پیمایی میباشد. بهطور تاریخی محققین تلاش داشتهاند تا با استفاده از این اطلاعات، ناحیه مخزنی را به نواحی بهره‌دهد و غیر بهره‌دهد تقسیم بنند^[۴۴]. تعریف جامع و کاملی از ناحیه بهره‌دهد که

^۱ Conventional Reservoirs

^۲ Pay zone

بتوان آنرا بعنوان مرجع در نظر گرفت، وجود ندارد [۴۵]. اساس کار اکثر محققین برپایه روش‌های حد-آستانهای^۱ استوار است. بدین معنی که بر اساس اطلاعات پتروفیزیکی بدست آمده از نگارهای چاهپیمایی نظیر تخلخل، تراوایی، درصد شیل و درصد آب و قرار دادن یک حد پایین برای این پارامترها، نسبت به تقسیم بندی لایه مخزنی به نواحی بهره‌ده و غیر بهره‌ده اقدام کردند. سیندر^۲ در سال ۱۹۷۱ تلاش کرده است با استفاده از ترکیب نگارهای گاما و مقاومت، ناحیه بهره‌ده را تعیین نماید. فالوور^۳ در سال ۱۹۸۱ در مقاله خود تلاش نموده است با استفاده از نگارهای مقاومت و امواج برشی صوت ناحیه بهره‌ده را تعیین کند. کک^۴ استفاده از وسیله سنجش فشار^۵ را به عنوان یک روش سریع در تعیین نواحی بهره‌ده معرفی کرد [۴۴]. ماتور^۶ برای اولین بار اطلاعات آنالیز ژئوشیمیایی نمونه‌های مغزه دیواری را در تعیین ناحیه بهره‌ده بکار گرفت. مطالعه جامعی روی مدل‌های مختلف حد-آستانهای توسط ورسینگتن صورت پذیرفته است. وی در مقاله خود طبقه بندی ناحیه سنگی^۷ ناخالص^۸، ناحیه ماسهای خالص^۹، ناحیه مخزنی خالص^۹ و ناحیه بهره‌ده را معرفی مینماید. در این طبقه‌بندی کل ناحیه‌های که مورد ارزیابی قرار می‌گیرد ناحیه سنگی ناخالص و نواحی که دارای پتانسیل مخزنی می‌باشند و شامل سنگهای تبخیری، مدادستون و... نمی‌باشند، ناحیه ماسهای خالص نامیده می‌شود. بخشی از ناحیه ماسهای خالص که دارای تخلخل و تراوایی مناسب می‌باشد، ناحیه مخزنی خالص و بخشی از ناحیه مخزنی که

¹ Cut-off base method

² Synder

³ Flower

⁴ Cooke

⁵ Pressure tester

⁶ Mathur

⁷ Gross Rock

⁸ Net sand

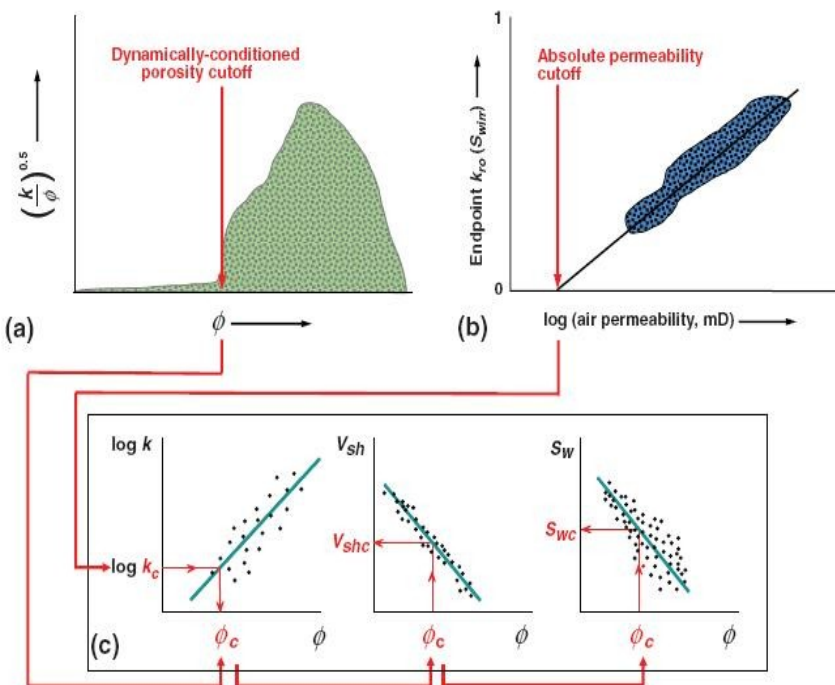
⁹ Net Reservoir

دارای مواد هیدروکربوری قابل بازیافت قابل توجه‌های است، ناحیه بهره‌ده نامیده می‌شود [۴۵]. بعارت دیگر ناحیه‌های از مخزن که قابلیت تولید مواد هیدروکربوری بهصورت اقتصادی داراست، را ناحیه بهره-ده مینامند [۴۶]. شکل ۳۹-۴ این تقسیم‌بندی را بهصورت گرافیکی نمایش میدهد.

ورسینگتون در مقاله دیگری مقادیر حد-آستانه‌ای را بهصورت دینامیک با توجه به نوع تخلیه مخزن هیدروکربوری تعیین کرده‌است. شکل ۴۰-۴ بهصورت شماتیک این روش را نشان میدهد.

| Gross Rock | Net Sand | Net Reservoir | Net Pay |
|---|---------------------|---|---|
| Total evaluation interval | Potential reservoir | Supracritical porosity and permeability character | Supracritical amounts of recoverable hydrocarbons |
| | | Subcritical porosity and permeability character | Subcritical hydrocarbons |
| e.g. evaporites, mudstone, unfractured basement | | | |

شکل ۴۰-۴ شماتیک مراحل تعیین ناحیه بهره‌ده [۱]



شکل ۴-۱-۴ شماتیک مراحل تعیین مقادیر حد-آستانهای بصورت دینامیک با توجه به نحوه تخلیه مخزن هیدرولیکی اولیه مخزن^۱. ب. تخلیه مخزن به روش سیلانزی^۲ [۱]

۲-۱۰-۴ ناحیه بهره‌ده در شیلهای گازی

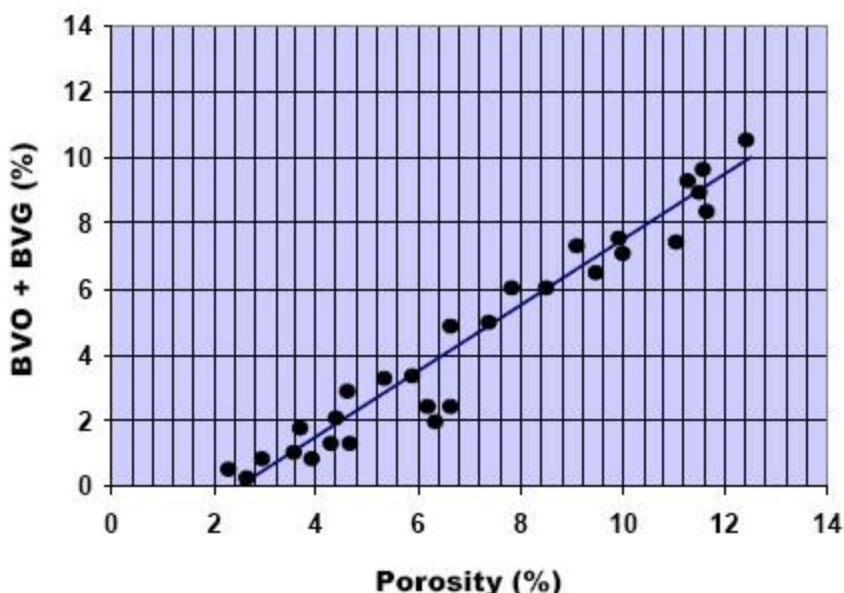
در شیلهای گازی روش‌های رایج حد-آستانهای مخازن رایج جهت تعیین نواحی بهره‌ده به علت تراوایی تقریباً صفر و تخلخل مفید ناچیز کاربرد ندارد. مفهوم تعیین ناحیه بهره‌ده در شیلهای گازی متفاوت از مخازن رایج است. در شیلگازها تولید عموماً توسط حفاری چاههای افقی و یا چاههای انحرافی با شبکه زیاد انجام می‌گیرد و تولید اقتصادی از این مخازن با انجام روش شکاف هیدرولیکی انجام می‌پذیرد. منظور از تعیین ناحیه بهره‌ده در این مخازن، تعیین ضخامتهایی از لایه شیلگاز است که حفاری در آن از پتانسیل تولید بالاتری برخوردار است. متخصصین بهمنظور تعیین نواحی بهره‌ده در شیلگازها پارامترهای زیر را در نظر می‌گیرند

¹ Primary Depletion

² Water flooding

- کروزن / میزان کل محتویات کربن آلی
- درصد اشباع گاز
- تراوایی
- تخلخل
- چگالی سنگ
- لیتولوزی و شاخص شکنندگی^۱

جز لیتولوزی و چگالی تعیین سایر پارامترها به صورت دقیق در شیلگازها سخت میباشد. [۱] براساس نتایج آزمایشگاهی برای تخلخل کمتر از ۲.۵٪ مواد هیدروکربوری تولید نمیگردد. [۴۶] (شکل ۴) بر این اساس یک حد-آستانهای برای تخلخل تعریف گردیده است.

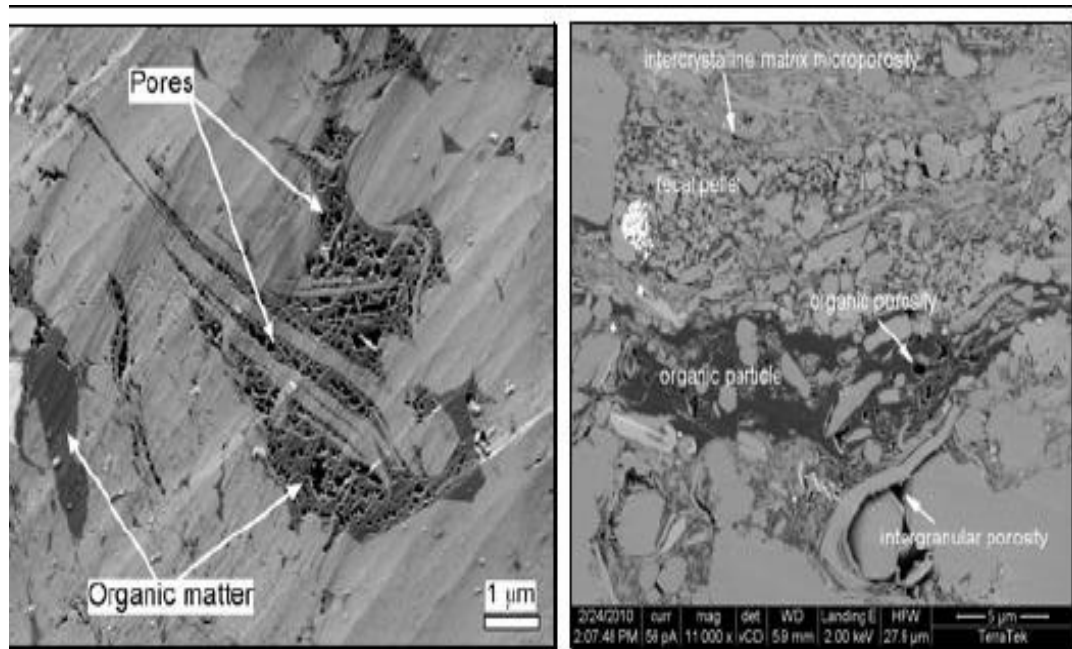


شکل ۴- رابطه بین تخلخل و میزان کل مواد هیدروکربوری [۴۶]

بر اساس آنچه که در مقالات اقتصادی و فنی ارائه گردیده است، مقادیر حد-آستانهای بهمنظور تولید اقتصادی از مخازن غیر رایج برای تخلخل ۴٪ و تراوایی ۱۰۰٪ و اشباع آب ۴۵٪ میباشد [۱].

^۱ Brittleness Index

از پارامترهایی که برای تعیین ناحیه بهره‌هده در شیل‌گازها استفاده می‌گردد بجز تراوایی بقیه به نوعی با میزان کل محتویات کربن آلی در ارتباط میباشند. میزان کل محتویات کربن آلی رابطه مستقیم با میزان گاز جذبی در شیل گازها دارد [۳]. بخشی از تخلخل کل شیل‌گازها تخلخل کروزنی میباشد. شکل ۴-۴ این موضوع را نشان میدهد.



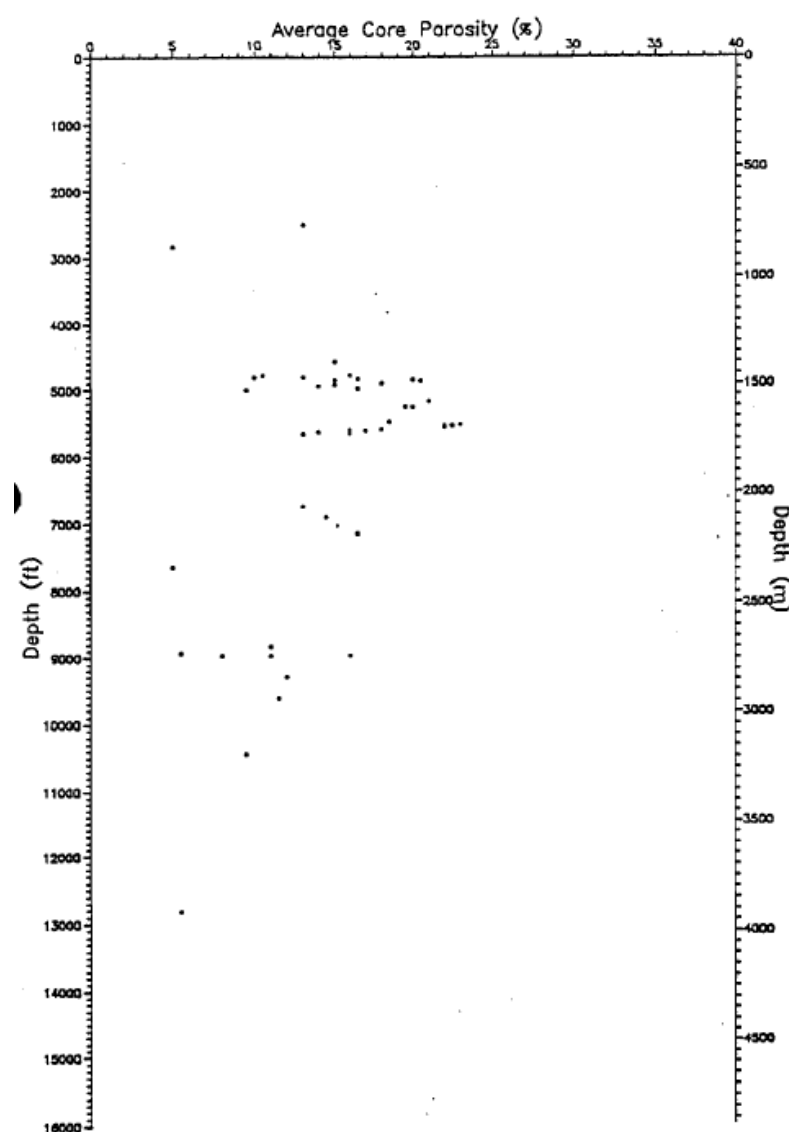
شکل ۴-۴ نمونه یک شیل گازی زیر میکروسکوپ [۱]

در بخش‌های قبل رابطه میان TOC و چگالی توضیح گردیده است. بنابراین میزان TOC بالا میتواند بیان کننده نواحی که از لحاظ تولید پتانسیل بالاتری دارند و همچنین نشان دهنده نواحی که مناسب عملیات شکاف هیدرولیکی هستند، باشد.

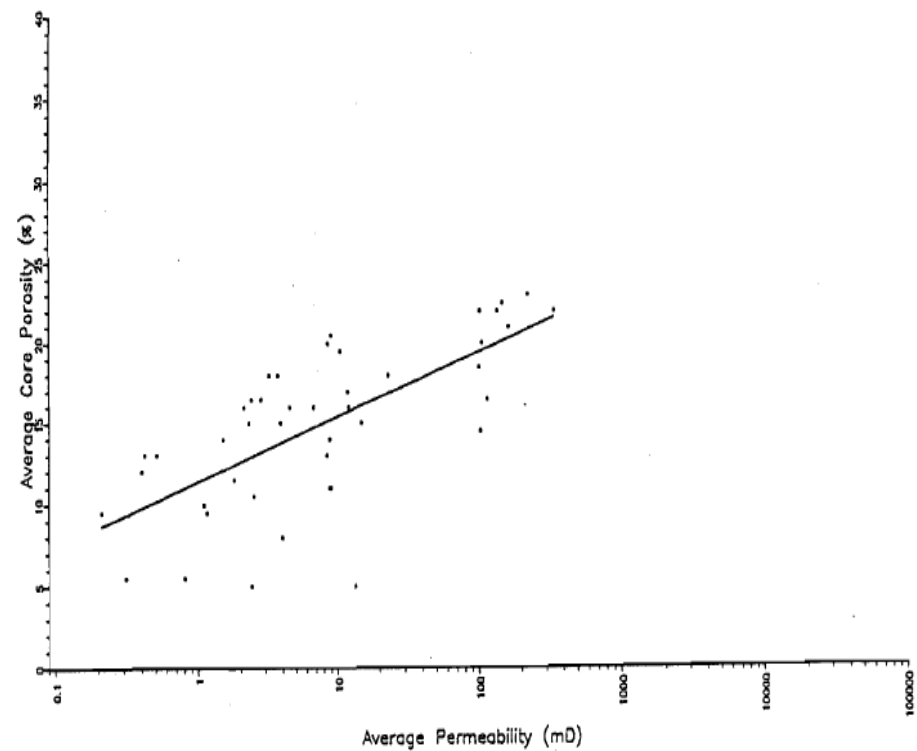
۴-۱۰-۲-۱ بررسی پتانسیل تولید لایه شیل‌گاز کوکاتیا در شش چاه مورد مطالعه

با توجه به مطالبی که در بخش قبل ارائه گردید، به بررسی بخش‌هایی از لایه شیل‌گازی کوکاتیا که مستعدتر جهت عملیات شکاف هیدرولیکی میباشد با توجه به پتانسیل تولید نسبت به سایر قسمتها

میپردازیم. در شکل‌های ۴-۳ و ۴-۴ مقدار متوسط تخلخل و تراوایی برای لایه شیل‌گاز کوکاتیا نسبت به عمق نشان داده شده است.



شکل ۴-۴ میزان تخلخل متوسط در لایه کوکاتیا شیل [۴۷]



شکل ۴-۴۵ نمودار متقطع تخلخل و تراوایی متوسط در لایه کوکاتیا شیل [۴۷]

با توجه به مقادیر حد-آستانهای تخلخل و تراوایی میتوان نتیجه گرفت که تمام لایه شیل‌گاز کوکاتیا از لحاظ تخلخل و تراوایی مناسب میباشد. در مورد میزان حد-آستانهای TOC مقدار مینیممی که برای تولید اقتصادی در مخازن غیر متدال ارائه گردیده است، ۰.۲٪ میباشد. جدول ۹-۴ مقادیر حد آستانهای در مخازن غیر رایج را نشان میدهد.

جدول ۹-۴ مقادیر حد-آستانهای کلی در مخازن غیر متدال [۱]

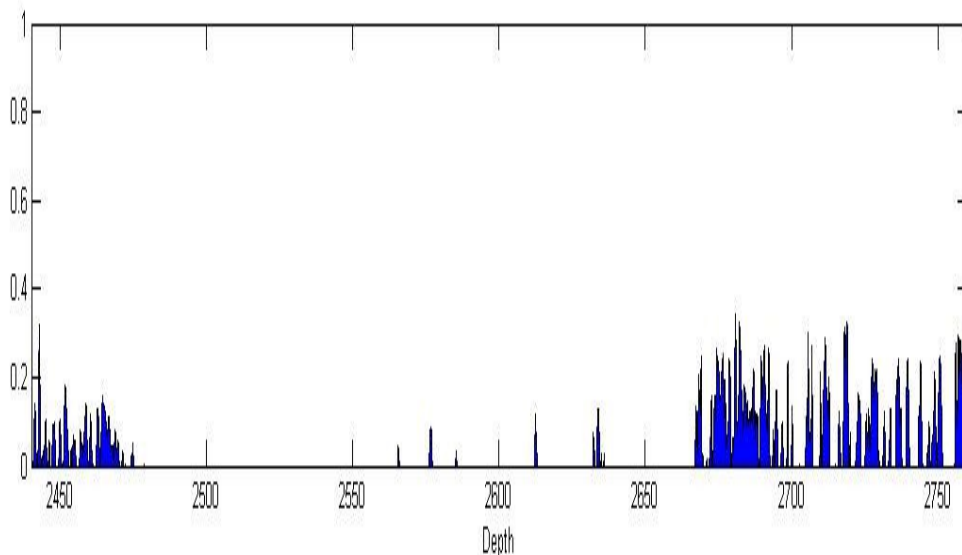
| Parameter | Minimum value |
|------------------|---------------|
| TOC | >2% |
| Ro | >1% |
| Porosity | >4% |
| Water saturation | <45% |
| Oil saturation | <5% |
| Permeability | >100ndarcies |

این مقادیر بعنوان کلی مطرح گردیده است و در همان مقاله توضیح داده شده است که این مقادیر باید در هر مورد مورد بررسی قرار گیرد. با توجه به مقادیر اندازه‌گیری شده و تخمینی TOC در لایه کوکاتیا شیل و همچنین جدول ۴-۱۰ آستانه TOC را ۰.۵-۱۰ مقدار حد-آستانه TOC را میدهیم.

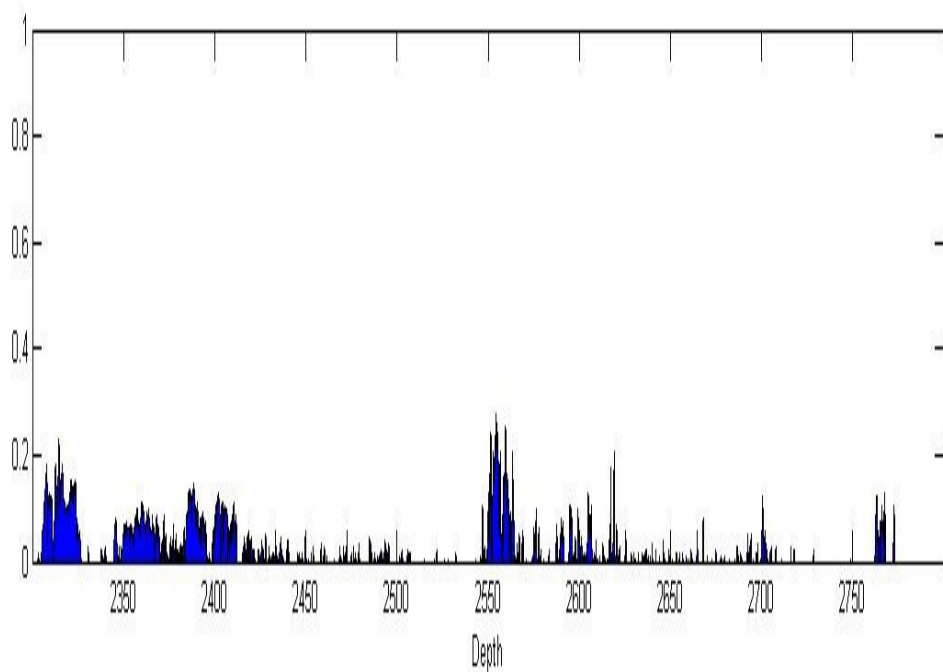
جدول ۱۰-۴ ارزیابی کیفیت مقادیر محتویات کل کربن آلی [۱]

| Quality | TOC% |
|-----------|----------|
| poor | <0.5 |
| fair | 0.5 to 1 |
| good | 1 to 2 |
| Very good | 2 to 4 |
| Excellent | >4 |

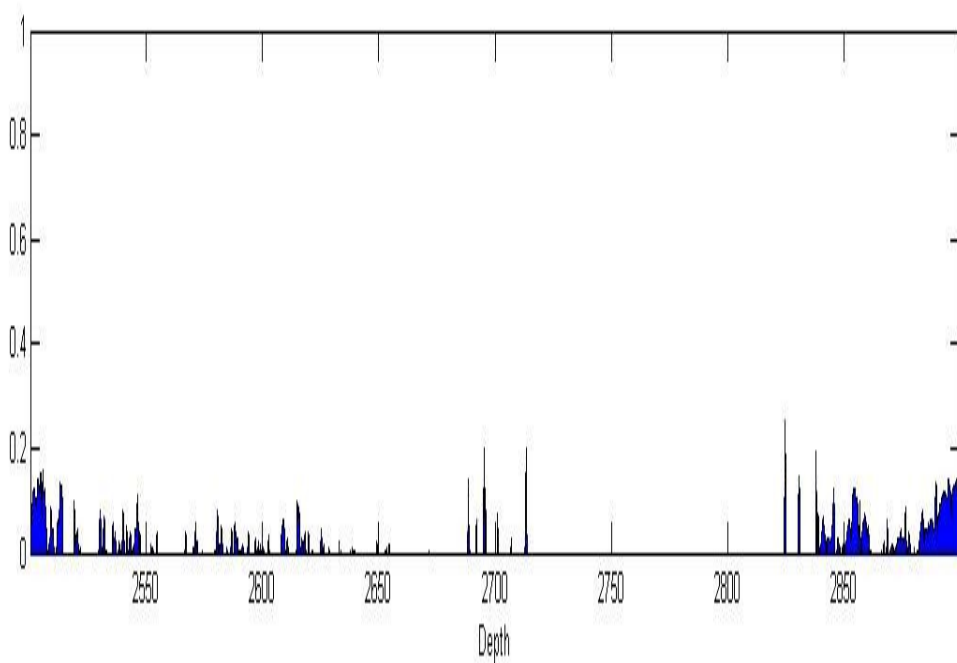
در شکلهای ۴-۴۵ تا ۴-۵۰ بخش‌هایی از کوکاتیا شیل که پتانسیل تولید بالاتر و مستعدتر جهت عملیات شکاف هیدرولیکی است، با توجه به میزان TOC به صورت گرافیکی نشان داده شده است.



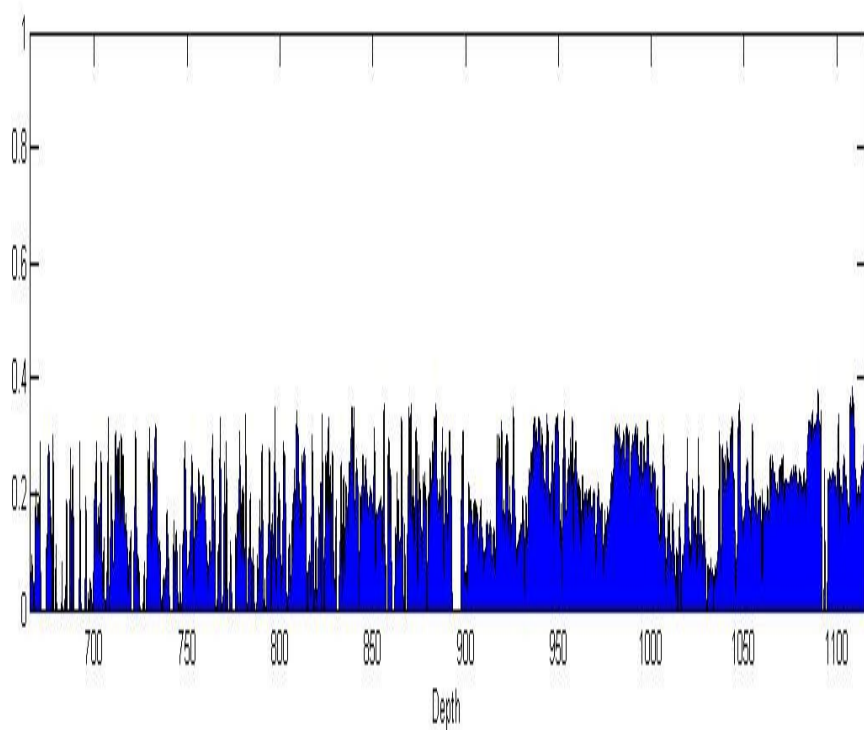
شکل ۴-۴۶ نواحی مستعد از نظر پتانسیل تولید جهت عملیات شکاف هیدرولیکی در چاه ویتکارا



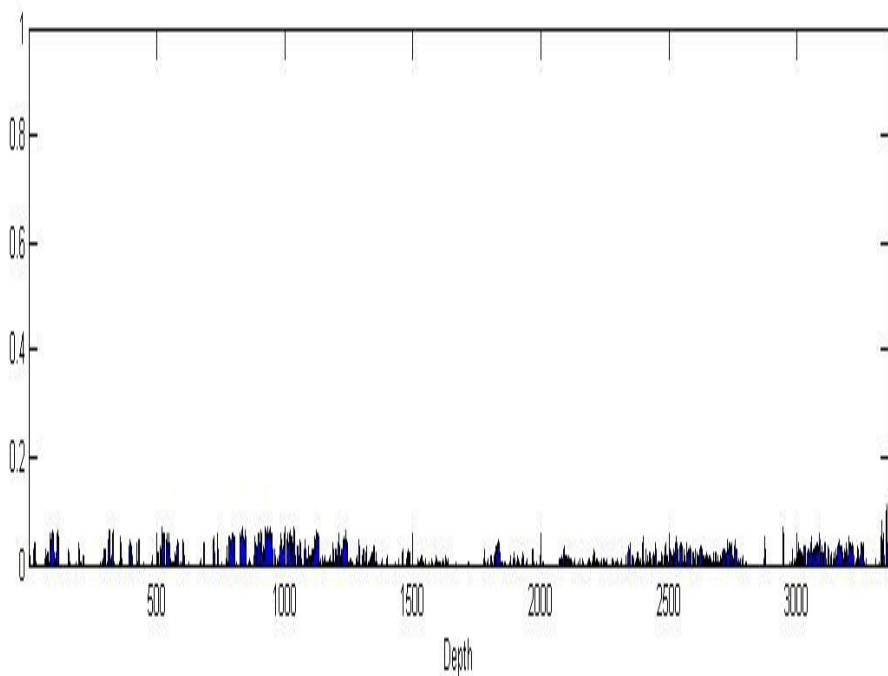
شکل ۴-۴۷ نواحی مستعد از نظر پتانسیل تولید جهت عملیات شکاف هیدرولیکی در چاه باتاویا



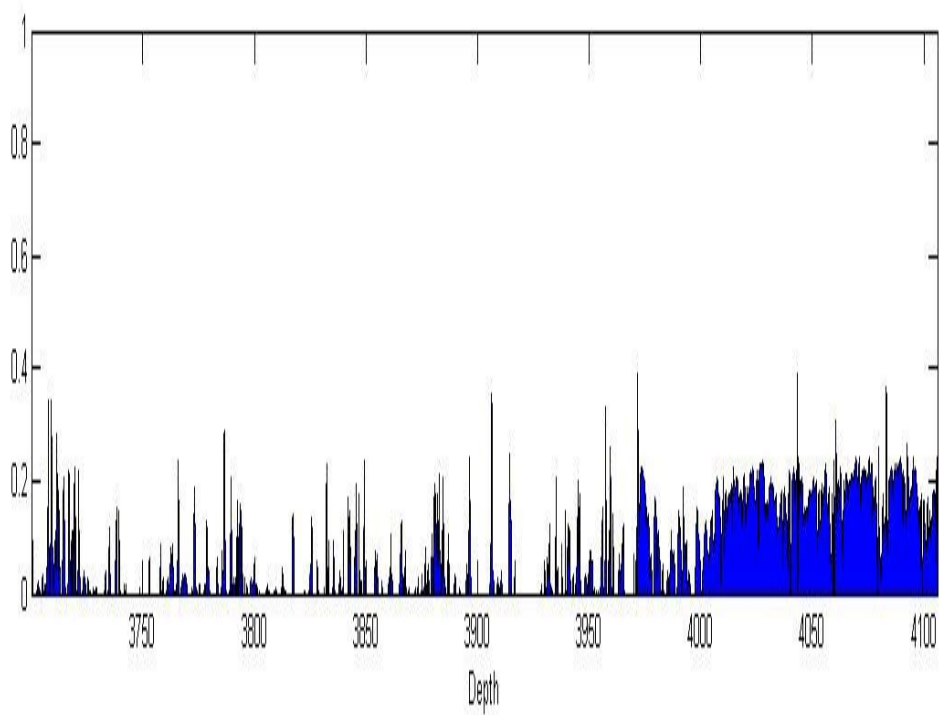
شکل ۴-۴۸ نواحی مستعد از نظر پتانسیل تولید جهت عملیات شکاف هیدرولیکی در چاه لیندر ریف



شکل ۴۹-۴ نواحی مستعد از نظر پتانسیل تولید جهت عملیات شکاف هیدرولیکی در چاه دایموند سک



شکل ۵۰-۴ نواحی مستعد از نظر پتانسیل تولید جهت عملیات شکاف هیدرولیکی در چاه راب



شکل ۴-۵۱ نواحی مستعد از نظر پتانسیل تولید جهت عملیات شکاف هیدرولیکی در چاه ونراپ

فصل پنجم:

نتیجہگیری و پیشنهادات

۱-۵ نتیجه‌گیری

- در این پایاننامه پارامتر TOC در سازند کوکاتیاشیل واقع در حوزه رسوی پرت استرالیای غربی مورد تخمین قرار گرفته است. بر اساس آنالیز آماری نگارهای پتروفیزیکی و داده‌های TOC مغزه، همبستگی نسبی میان TOC و نگارهای نوترون، صوتی و چگالی دیده می‌شود.
- نتایج حاصل از تخمین TOC توسط مدل شبکه عصبی مفهومی چندلایه نشان می‌دهد که این مدل برای مقادیر TOC بالای ۰/۴ به خوبی کارایی دارد و برای مقادیر زیر این آستانه مدل عموماً کمتر از مقادیر واقعی تخمین می‌زند. میزان ضریب رگرسیون و شیب خط در این مدل بهترتیب ۰/۸۰۳۵ و میزان خطای MSE برای کل داده‌ها ۰/۰۰۵۴ می‌باشد.
- نتایج تخمین TOC توسط مدل شبکه عصبی ویولت نشان میدهد که استفاده از ویولت گوسین به عنوان تابع انتقال، نتایج تخمین بهتری حاصل می‌گردد. میزان ضریب رگرسیون و شیب خط برای این مدل بهترتیب ۰/۸۷۶ و ۱/۰۲۳ و میزان خطای MSE برای کل داده‌ها ۰/۰۰۷۲ می‌باشد.
- مقایسه نتایج تخمین مدل شبکه عصبی ویولت و شبکه MLP نشان میدهد که ایراد مدل شبکه عصبی MLP برای تخمین مقادیر زیر ۰/۴ در مدل شبکه عصبی ویولت بر طرف گردیده است و این مدل قادر به تخمین تمامی مقادیر TOC با دقت قابل قبولی می‌باشد.

- بررسی کلی از لحاظ پتانسیل تولید در شش چاه مورد مطالعه نشان میدهد که نواحی انتهایی لایه کوکاتیا شیل و تا حدودی نواحی ابتدایی این لایه، نواحی مناسبتری از لحاظ بررسی دقیقتر جهت عمقهای هدف حفاری افقی و یا عملیات شکاف هیدرولیکی میباشد.

۲-۵ پیشنهادات

- در دو مدلی که ارائه گردید از نگارهای پتروفیزیکی شش چاه در حوزه رسوبی پرت استفاده گردیده است. متاسفانه به علت عدم وجود و دسترسی به اطلاعات نگارهای موردنظر در یک مخزن خاص و چاههای نزدیک به یکدیگر، مجبور به استفاده از اطلاعات این چاهها با وجود فاصله مکانی زیاد میان آنها گردیدیم. پیشنهاد میگردد از دو مدل ارائه شده جهت تخمین میزان TOC در لایه کوکاتیا شیل چاههای یک مخزن استفاده گردد.
- پیشنهاد میگردد از مدل تخمینگر TOC ارائه شده جهت محاسبه میزان گاز جذبی استفاده گردد.
- با وجود اینکه شبکه عصبی ویولت یک تخمینگر محلی است، استفاده از روشهای خوشبندی و ارائه دادههای همگن به شبکه باعث افزایش دقت شبکه در تخمین TOC خواهد گردید. متاسفانه در این پایاننامه بهعلت کم بودن دادههای TOC در کوکاتیا شیل، خوشبندی باعث کاهش تعداد دادههای آمورش شبکه میگردد که نتیجه آن شبکه بهخوبی آموزش داده نشده و میزان خطای تخمین افزایش میگردد.
- پیشنهاد میگردد در صورت در اختیار داشتن مجموعه دادههای مناسب TOC از روشهای خوشبندی جهت تعیین نواحی همگن و تخمین TOC در این نواحی همگن با استفاده از مدل ارائه شده، اقدام گردد.

- به علت استفاده از روش شکاف هیدرولیکی در تولید از شیلگازها در نظر گرفتن پارامترهای ژئومکانیکی مانند اندیس شکنندگی^۱ جهت تعیین حدود نواحی با پتانسیل تولید بالا ضروری میباشد. پیشنهاد میگردد جهت شناسایی زونهای مطلوب شکاف هیدرولیکی با توجه به مطلوب بودن نتایج تخمین توسط شبکه عصبی ویولت نسبت به تخمین اندیس شکنندگی اقدام گردد و با در نظر گرفتن نتایج تخمین TOC و اندیس شکنندگی و سایر حدود-آستانه نواحی مستعد شکاف هیدرولیکی تعیین گردد.

¹ Brittleness Index

مَنَابِعُ وَمَآخذٌ

- [1] Glorioso, C. J. and Rattia, A. (2012) “Unconventional Reservoirs; Basic Petrophysical concepts for shale Gas”, **SPE Journal of petroleum engineering**, no153003, European Unconventional Resource Conference and Exhibition, Vienna, Austria.
- [2] www.spec2000.net , Crain’s Petrophysical Handbook
- [3] Schmoker, J. W. (1981) “Determination of organic-matter content of Appalachian Devonian shales from gamma-ray logs” **American Association of Petroleum Geologists Bulletin**, 65, pp. 2165–2174.
- [4] Meyer, B. L. and Nederlof, M. H. (1984) “Identification of source rocks on wireline logs by density/resistivity and sonic transit time/resistivity cross plots” **American Association of Petroleum Geologists Bulletin**, 68, pp. 121–129.
- [5] Huang Z. and Williamson M. A. (1996) “Artificial neural network modelling as an aid to source rock characterization” **Marine and Petroleum Geology**, 13, pp. 227–29.
- [6] Passey, O. R., Moretti, F. U. and Stroud, J. D. (1990) “A practical modal for organic richness from porosity and resistivity logs” **American Association of Petroleum Geologists Bulletin**, 74, pp. 1777–1794.
- [7] Kamali, M. R., Mirshady, A. A. (2004) “Total organic carbon content determined from well logs using $\Delta \log R$ and neuro fuzzy techniques” **Journal of Petroleum Science and Engineering**, 45, pp. 141–148.
- [8] Ilkhchi, A. K, Bonab, H. R. and Rezaee, M. R. (2008) “A Committee Machine with Intelligent Systems for Estimation of Total Organic Carbon Content from Petrophysical Data: An Example from Kangan and Dalan Reservoirs in South Pars Gas Field, Iran” **Computers & Geosciences**, 35, pp. 459–474.

- [۹] نعمتی، م. و کرمانشاه، م. (۱۳۹۱) "اقدامات صورت گرفته جهت توسعه شیلهاي گازی در ایران و جهان ماهنامه اکتشاف و تولید، شماره ۹۵، صفحه ۱۹-۲۴.
- [۱۰] نامشخص، (۱۳۹۱) "ردپای شیلگازها در توازن منابع انرژی دنیا"، هفته‌نامه مشعل نشریه کارکنان صنعت نفت، شماره ۶۲۶، صفحه ۹.
- [۱۱] اصغری، خ. شکرانه، ف. و کلاهدوز، ع. (۱۳۹۱) "شیل گاز منبع انرژی آینده: اکتشاف و ارزیابی" ، ماهنامه اکتشاف و تولید، شماره ۸۹، صفحه ۲۰-۲۶.
- [12] www.eia.gov "Energy information administration"
- [13] Kuuskraa, V., Stevens, S., Van Leeuwen, T., Moodhe K. (2011) "World Shale Gas Resources: An Initial Assessment of 14 Region outside the United States" Department of Energy
- [۱۴] علی مرادی، د. (۱۳۹۲) "آثار سیاسی و زئوپلیتکی منابع نامتعارف گازی" ، سایت خبری تابناک.
- [15] Jones, D. O. and Ellis, G. (2000) "**Western Australia Atlas of petroleum Fields, onshore Perth Basin**"، Department of mineral and energy. Petroleum division, volume1, Australia
- [16] Borham, C., Hope, J., Hartung, B. and Aarsen, B. (2000) "More sources for gas and oil in Perth basin", **AGSO Research Newsletter**.
- [17] Mary, A. J. and Lasky, R. P. (1995) "Stratigraphy and structure of the onshore northern Perth basin, western Australia", **Geological survey of western Australia**.
- [18] Addison, P. (2002) "**The illustrated wavelet transform handbook**", Taylor & Francis Group, 1st edition, London.
- [19] Lokenath, D., (2002) "**Wavelet transform and their applications**", University of Texas, USA.
- [20] Odegard, E., (1988) "**Introduction to wavelet and wavelet transform**", Rice University, Australia.
- [21] [صبادی، الف. (1387) "آشنایی مقدماتی با تبدیل ویولت" ، دانشگاه صنعتی شریف، تهران.]
- [22] Stark, H. G. (2005) "**Wavelet and Signal Processing**", Springer, Berlin,

Heidelberg, pp. 10-15.

[23] Veitch, D., (2005), MSc. Thesis, "Wavelet Neural Networks Data Analysis,

Networks and Nonlinear Dynamics", University of York.

[24] Krose B. and Smagt (1996) "**An Inroduction to Neural Networks**", University of Amsterdam.

[25] منهاج، م. (1381)، "مبانی شبکه‌های عصبی هوش محاسباتی"، چاپ دوم، انتشارات دانشگاه صنعتی امیرکبیر، تهران.

[26] Hangman M. T. and Demuth, H. B. and Beale, M. H. (1996) "**Neural Network Design**" PWS Publishing, Boston, MA.

[27] Kohonen, T. (1977) "Associative Memory: A System-theoretical Approach" Springer.

[28] Grossberg, S. (1976) "Adaptive Pattern Classification and Universal Recording (I)" **Biol. Cybern.**, 23, pp. 187-202.

[29] Hopfield, J. J. (1982) "Neural Networks and Physical Systems with Emergent Collective Computational Abilities" **Proceedings of the National Academy of Sciences**, 79, pp. 2554-2558.

[30] FUKUSHIMA, K. (1988) "NEROCOGNITION: A HIERARCHICAL NEURAL NETWORK CAPABLE OF VISUAL PATTERN RECOGNITION" **NEURAL NETWORKS**, 1, pp. 119-130.

[31] Zainuddin,Z. and Ong, P., (2007) "Function approximation using artificial neural networks, International Journal of Systems Applications", **Engineering & Development**, 4, pp. 172–178.

[32] Zhang, Q. and Beveniste, A., (1992) "Wavelet networks", **IEEE Transactions on Neural Networks**, 3, pp. 889–898.

[33] Avci, E. (2007) "An expert system based on wavelet neural network-adaptive

- normentropy for scale invariant texture classification" **Expert Systems with Applications**, 32, pp. 919–926.
- [34] Bakshi, V., Stephanopoulos, R. and Bhavik, G., (1992) "Wavelets as basis functions for localized learning in multi-resolution hierarchy," **IEEE**, vol. 2, pp. 140-145.
- [35] Cheng, J. L., (2006) "Wavelet Neural networks with a hybrid learning approach" **Journal of information science and engineering**, 22, pp. 1367-1387.
- [36] Zhang, Z. (2007) "Learning algorithm of wavelet network based on sampling theory" **Neurocomputing**, 71, pp. 244–269.
- [37] Chen, Y., Yang, B. and Dong, J., (2006) "Time-series prediction using a local linear waveletneural network", **Neurocomputing**, 69, pp. 449–465.
- [38] نام بخش، م.، (1384) "شبکه های عصبی مصنوعی ویولت و کاربردهای آن"، انتشارات ناقوس، تهران.
- [39] حسنی پاک، ع. و شرف الدین، م.، (1384) "تحلیل داده های اکتشافی"، انتشارات دانشگاه تهران، تهران.
- [40] Tiab, D. J. and Donaldson E, (2004) "**Petrophysics**", 2nd edition, Elsevier, Sydney, p. 926.
- [41] Mendelson, J. D. and Toksoz, M. N., (1985) "Source rock characterization using multivariate analysis of log data". Trans. SPWLA Ann. Logging Symp. 26.
- [42] Avci, E. (2007) "An expert system based on wavelet neural network-adaptive normentropy for scale invariant texture classification", **Expert Systems with Applications**, 32, pp. 919–926.
- [43] Gaviphat, L., (1997) PhD. Thesis "Adaptive self-tuning neuro wavelet network controllers", Virginia polytechnic institute and state university.
- [44] Masoudi, P., Tokhmechi, B. and Zahedi, A. (2011) "Developing a method for identification of net zones using log data and diffusivity equation" **Journal of Mining and Environment**, 2, pp. 53-60.
- [45] Worthington, P. F., (2010) "Net pay-what is it? What does it do? How do we use it? How do we quantify? How do we use it?" **SPE Reservoir Evaluation and Engineering**, 13, pp. 812-822.
- [46] Luffel, D. L. and Guidry, F. K, (1992) "new core analysis methods for measuring

reservoir rock properties of Devonian shale” **Jour Petroleum Technology**, v. 44, p 1184-1190.

[47] Dolan, A., (1993) “Kockatea shale study, Perth Basin, Western Australia”.